

T.C.  
SAKARYA ÜNİVERSİTESİ  
FEN BİLİMLERİ ENSTİTÜSÜ

**ALÜMİNYUM MALZEMELERİN MIG  
KAYNAĞINDA KAYNAK PARAMETRELERİNİN DİKİŞ  
GEOMETRİSİNE ve MEKANİK ÖZELLİKLERE ETKİSİ**

**YÜKSEK LİSANS TEZİ**

**Teknik Öğrt. Selim KIRLI**

**Enstitü Anabilim Dalı : METAL EĞİTİMİ**  
**Tez Danışmanı : Doç. Dr. Salim ASLANLAR**

**Mayıs 2011**

T.C.  
SAKARYA ÜNİVERSİTESİ  
FEN BİLİMLERİ ENSTİTÜSÜ

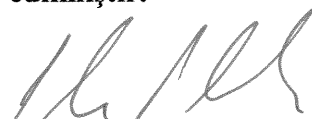
**ALÜMİNYUM MALZEMELERİN MIG  
KAYNAĞINDA KAYNAK PARAMETRELERİNİN DİKİŞ  
GEOMETRİSİNE ve MEKANİK ÖZELLİKLERE ETKİSİ**

**YÜKSEK LİSANS TEZİ**

**Teknik Öğrt. Selim KIRLI**

**Enstitü Anabilim Dalı : METAL EĞİTİMİ**

Bu tez 21 / 06 /2011 tarihinde aşağıdaki juri tarafından Oybirligi ile kabul edilmiştir.

  
Doç. Dr. Salim ASLANLAR  
Jüri Başkanı

  
Yrd. Doç. Dr. Erdinç İLHAN  
Üye

  
Yrd. Doç. Dr. Uğur ÖZSARAÇ  
Üye

## **TEŞEKKÜR**

Öncelikle yetiştirmem sırasında emeklerini esirgemeyen değerli anneme, babama ve yardımlarından dolayı ablama sonsuz teşekkürlerimi bir borç bilirim.

Bu çalışmalarımı tamamlamamda yardımlarından ötürü değerli danışmanım Sayın Doç. Dr. Salim ASLANLAR' a teşekkür ederim.

Malzeme temininde ve numune çıkarılmasında yardımcı olan DİRENÇ Mak. San. ve Tic. LTD. ŞTİ. ne, deneylerimi yapmamda bana yardımcı olan değerli arkadaşım Arif KARADAĞ' a teşekkür ederim. Sakarya Üniversitesi'nden, Yrd. Doç. Dr. Uğur ÖZSARAÇ' a, Arş. Gör. Nuri ERGİN' e, Arş. Gör. Murat ÇOLAK' a, arkadaşlarım Hakkı SÖNMEZ ve Elif ALTUNAY' a da teşekkür ederim.

## **İÇİNDEKİLER**

TEŞEKKÜR.....	ii
İÇİNDEKİLER.....	iii
SİMGELER VE KISALTMALAR LİSTESİ.....	vi
ŞEKİLLER LİSTESİ.....	vii
TABLOLAR LİSTESİ.....	xii
FORMÜLLER LİSTESİ.....	xiii
ÖZET.....	xv
SUMMARY.....	xvi

### BÖLÜM 1.

GİRİŞ.....	1
------------	---

### BÖLÜM 2.

ALÜMİNYUM MALZEMELER.....	3
2.1. Alüminyum Özellikleri.....	3
2.2. Alüminyum Alaşımları ve Özellikleri.....	4
2.3. Alüminyumun Genel Karakteristikleri.....	5
2.4. Birleştirme İle İlgili Karakteristikler.....	5
2.5. Alüminyumun Başlıca Özellikleri.....	6
2.5.1. Alüminyum saflık dereceleri.....	6
2.5.2. Alüminyumun fiziksel özelliklerı.....	7
2.5.3. Alüminyum mukavemet özellikleri.....	7
2.5.4. Korozyona karşı mukavemet.....	8

## BÖLÜM 3.

ALÜMİNYUM VE ALAŞIMLARININ MIG KAYNAĞI.....	9
3.1. Alüminyum Kaynak Metotları.....	10
3.2. Alüminyum ve Alaşımlarının MIG Kaynağı.....	11
3.3. Dikişlerde gözeneklilik.....	15
3.4. Gaz Sıkışması.....	17

## BÖLÜM 4.

DENEYSEL ÇALIŞMALAR.....	18
4.1. Deneylerde kullanılan malzemeler.....	18
4.2. Kaynak Parametreleri.....	18
4.3. Deney Numunelerinin Alınması.....	23
4.3.1. Çekme deneyi numunelerinin hazırlanması.....	23
4.3.2. Eğme deneyi numunelerinin hazırlanması.....	24
4.3.3. Makro yapı numunelerinin hazırlanması.....	26
4.3.4. Mikro yapı numunelerinin hazırlanması.....	27
4.3.5. Mikro sertlik deney numunelerinin hazırlanması.....	29

## BÖLÜM 5.

DENEYSEL SONUÇLAR.....	32
5.1. Çekme Deneyi Sonuçları.....	32
5.1.1. Elastik modül hesap sonuçları.....	48
5.1.2. Rezilyans modül hesap sonuçları.....	51
5.1.3. Tokluk hesabı sonuçları.....	54
5.2. Eğme Deneyi Sonuçları.....	56
5.3. Mikro Yapı İncelemeleri.....	59
5.4. Makro Yapı İncelemeleri ve Sonuçları.....	71
5.5. Numunelerin Damla Geometrileri ve Damla Alanları.....	77
5.6. Dikiş Formları (Nufüzyet) Hesaplamları.....	87
5.7. Numunelerin Isı Girdisi Hesaplamları.....	91
5.8. Mikro Sertlik Sonuçları ve Tartışma.....	93

**BÖLÜM 6.**

<b>SONUÇLAR VE ÖNERİLER.....</b>	<b>107</b>
6.1. Sonuçlar.....	107
6.2. Öneriler.....	108
<b>KAYNAKLAR.....</b>	<b>109</b>
<b>ÖZGEÇMİŞ.....</b>	<b>110</b>

## **SİMGELER VE KISALTMALAR**

A <sub>kep</sub>	: Kep Bölgesinin Damla Alanı
A <sub>kök</sub>	: Kök Bölgesinin Damla Alanı
A <sub>dikiş</sub>	: Dikiş Bölgesinin Alanı
h <sub>kep</sub>	: Kep Yüksekliği
b <sub>kep</sub>	: Kep Genişliği
h <sub>kök</sub>	: Kök Yüksekliği
b <sub>kök</sub>	: Kök Genişliği
ITAB	: Isının Tesiri Altında Kalan Bölge
MIG	: Metal Inert Gaz
PA	: Yatay Kaynak Pozisyonu
TIG	: Tungsten Inert Gaz
σ akma	: Akma Mukavemeti
σ çekme	: Çekme Mukavemeti

## **ŞEKİLLER LİSTESİ**

Şekil 3.1.	MIG yöntemindeki ark bölgesi.....	13
Şekil 4.1.	Kaynak makinası resimleri .....	20
Şekil 4.2.	Çekme deneyi makinesi ve çekilen numune.....	23
Şekil 4.3.	EN 895'e uygun olarak hazırlamış çekmeye deney parçası boyutları... <td>24</td>	24
Şekil 4.4.	EN 910'a uygun olarak hazırlamış eğme deney parçası boyutları.....	24
Şekil 4.5.	Eğme deney makinesi ve eğilen numune .....	25
Şekil 4.6.	Kaynak dikişleri eğme deneyi uygulama prensibi.....	25
Şekil 4.7.	Makro yapı numunelerinin alınmış yönü ve numune örneği.....	26
Şekil 4.8.	Makro görüntü alma cihazı.....	27
Şekil 4.9.	Mikro yapı numunelerinin alınmış yönü ve numune örneği .....	28
Şekil 4.10.	Mikro görüntü alma cihazı .....	29
Şekil 4.11.	Mikro sertlik numune örneği .....	30
Şekil 4.12.	HMV Shimadzu mikro sertlik cihazı .....	30
Şekil 4.13.	Sertlik alınan bölgelerin şematik gösterimi .....	31
Şekil 5.1.	MIG kaynak yöntemiyle 80 amperde argon koruyucu gaz altında kaynak yapılan referans numunenin gerilme uzama grafiği.....	33
Şekil 5.2.	MIG kaynak yöntemiyle 85 amperde argon koruyucu gaz altında kaynak yapılan 1 nolu numunenin gerilme uzama grafiği .....	34
Şekil 5.3.	MIG kaynak yöntemiyle 90 amperde argon koruyucu gaz altında kaynak yapılan 2 nolu numunenin gerilme uzama grafiği .....	35
Şekil 5.4.	MIG kaynak yöntemiyle 75 amperde argon koruyucu gaz altında kaynak yapılan 3 nolu numunenin gerilme uzama grafiği .....	36
Şekil 5.5.	MIG kaynak yöntemiyle 70 amperde argon koruyucu gaz altında kaynak yapılan 4 nolu numunenin gerilme uzama grafiği .....	37

Şekil 5.6.	MIG kaynak yöntemiyle 65 amperde argon koruyucu gaz altında kaynak yapılan 5 nolu numunenin gerilme uzama grafiği .....	38
Şekil 5.7.	MIG kaynak yöntemiyle 80 amperde argon koruyucu gaz altında kaynak yapılan 6 nolu numunenin gerilme uzama grafiği .....	39
Şekil 5.8.	MIG kaynak yöntemiyle 80 amperde argon koruyucu gaz altında kaynak yapılan 7 nolu numunenin gerilme uzama grafiği .....	40
Şekil 5.9.	MIG kaynak yöntemiyle 80 amperde argon koruyucu gaz altında kaynak yapılan 8 nolu numunenin gerilme uzama grafiği .....	41
Şekil 5.10.	MIG kaynak yöntemiyle 80 amperde argon koruyucu gaz altında kaynak yapılan 9 nolu numunenin gerilme uzama grafiği .....	42
Şekil 5.11.	MIG kaynak yöntemiyle 80 amperde argon koruyucu gaz altında kaynak yapılan 10 nolu numunenin gerilme uzama grafiği .....	43
Şekil 5.12.	Numunelerin akma dayanımları.....	44
Şekil 5.13.	Numunelerin çekme dayanımları.....	45
Şekil 5.14.	Numunelerin % uzamaları.....	45
Şekil 5.15.	Kopan numuneler 1 - 5.....	47
Şekil 5.16.	Kopan numuneler 6 – 10 .....	47
Şekil 5.17.	Elastik modül hesaplarının grafiği .....	50
Şekil 5.18.	Rezilyans modül hesapları grafiği.....	53
Şekil 5.19.	Tokluk hesapları grafiği .....	56
Şekil 5.20.	Eğme deneyi (Kep) sonuçları grafiği .....	57
Şekil 5.21.	Eğme deneyi (Kök) sonuçları grafiği.....	58
Şekil 5.22.	Eğme deneyine tabi tutulmuş numuneler .....	59
Şekil 5.23.	Referans numunenin mikro yapı inceleme fotoğrafları.....	60
Şekil 5.24.	1 numaralı numunenin mikro yapı inceleme fotoğrafları.....	61
Şekil 5.25.	2 numaralı numunenin mikro yapı inceleme fotoğrafları.....	62
Şekil 5.26.	3 numaralı numunenin mikro yapı inceleme fotoğrafları.....	63
Şekil 5.27.	4 numaralı numunenin mikro yapı inceleme fotoğrafları.....	64
Şekil 5.28.	5 numaralı numunenin mikro yapı inceleme fotoğrafları.....	65
Şekil 5.29.	6 numaralı numunenin mikro yapı inceleme fotoğrafları.....	66
Şekil 5.30.	7 numaralı numunenin mikro yapı inceleme fotoğrafları.....	67

Şekil 5.31.	8 numaralı numunenin mikro yapı inceleme fotoğrafları.....	68
Şekil 5.32.	9 numaralı numunenin mikro yapı inceleme fotoğrafları.....	69
Şekil 5.33.	10 numaralı numunenin mikro yapı inceleme fotoğrafları.....	70
Şekil 5.34.	Referans numunenin makro görüntüsü .....	71
Şekil 5.35.	1 numaralı numunenin makro görüntüsü.....	71
Şekil 5.36.	2 numaralı numunenin makro görüntüsü.....	72
Şekil 5.37.	3 numaralı numunenin makro görüntüsü.....	72
Şekil 5.38.	4 numaralı numunenin makro görüntüsü.....	73
Şekil 5.39.	5 numaralı numunenin makro görüntüsü.....	73
Şekil 5.40.	6 numaralı numunenin makro görüntüsü.....	74
Şekil 5.41.	7 numaralı numunenin makro görüntüsü.....	74
Şekil 5.42.	8 numaralı numunenin makro görüntüsü.....	75
Şekil 5.43.	9 numaralı numunenin makro görüntüsü.....	75
Şekil 5.44.	10 numaralı numunenin makro görüntüsü.....	76
Şekil 5.45.	Kaynak damla geometrisi .....	77
Şekil 5.46.	80A kaynak akımında kaynatılan numunelerin kök dikiş genişliği – kaynak gerilimi grafiği .....	78
Şekil 5.47.	80A kaynak akımında kaynatılan numunelerin kep dikiş genişliği – kaynak gerilimi grafiği .....	79
Şekil 5.48.	80A kaynak akımında kaynatılan numunelerin nüfüzyet – kaynak gerilimi grafiği .....	79
Şekil 5.49.	80A kaynak akımında kaynatılan numunelerin kep yüksekliği – kaynak gerilimi grafiği .....	80
Şekil 5.50.	80A kaynak akımında kaynatılan numunelerin kök yüksekliği – kaynak gerilimi grafiği .....	80
Şekil 5.51.	80A kaynak akımında kaynatılan numunelerin kep damla alanı – kaynak gerilimi grafiği .....	81
Şekil 5.52.	80A kaynak akımında kaynatılan numunelerin kök damla alanı – kaynak gerilimi grafiği .....	81
Şekil 5.53.	80A kaynak akımında kaynatılan numunelerin toplam damla alanı – kaynak gerilimi grafiği .....	82

Şekil 5.54.	15V kaynak geriliminde kaynatılan numunelerin kök dikiş genişliği – kaynak akım şiddeti grafiği .....	82
Şekil 5.55.	15V kaynak geriliminde kaynatılan numunelerin kep dikiş genişliği – kaynak akım şiddeti grafiği .....	83
Şekil 5.56.	15V kaynak geriliminde kaynatılan numunelerin nüfuziyet – kaynak akım şiddeti grafiği .....	83
Şekil 5.57.	15V kaynak geriliminde kaynatılan numunelerin kep yüksekliği – kaynak akım şiddeti grafiği .....	84
Şekil 5.58.	15V kaynak geriliminde kaynatılan numunelerin kök yüksekliği – kaynak akım şiddeti grafiği .....	84
Şekil 5.59.	15V kaynak geriliminde kaynatılan numunelerin kep damla alanı – kaynak akım şiddeti grafiği .....	85
Şekil 5.60.	15V kaynak geriliminde kaynatılan numunelerin kök damla alanı – kaynak akım şiddeti grafiği .....	85
Şekil 5.61.	15V kaynak geriliminde kaynatılan numunelerin toplam damla alanı kaynak akım şiddeti grafiği .....	86
Şekil 5.62.	80A kaynak akım şiddetinde kaynatılan numunelerin kök dikiş – kaynak gerilimi grafiği .....	88
Şekil 5.63.	80A kaynak akım şiddetinde kaynatılan numunelerin dış dikiş – kaynak gerilimi grafiği .....	88
Şekil 5.64.	80A kaynak akım şiddetinde kaynatılan numunelerin iç dikiş – kaynak gerilimi grafiği .....	89
Şekil 5.65.	15V kaynak geriliminde kaynatılan numunelerin kök dikiş – kaynak akım şiddeti grafiği .....	89
Şekil 5.66.	15V kaynak geriliminde kaynatılan numunelerin dış dikiş – kaynak akım şiddeti grafiği .....	90
Şekil 5.67.	15V kaynak geriliminde kaynatılan numunelerin iç dikiş – kaynak akım şiddeti grafiği .....	90
Şekil 5.68.	80A kaynak akım şiddetinde kaynatılan numunelerin ısı girdileri kaynak gerilimi grafiği .....	92

Şekil 5.69.	15V kaynak geriliminde kaynatılan numunelerin ısı girdileri – kaynak akım şiddeti grafiği .....	92
Şekil 5.70.	Mikro sertlik ölçülen yerler .....	93
Şekil 5.71.	Referans numunenin yatay eksen sertlik değeri grafiği .....	95
Şekil 5.72.	Referans numunenin dikey eksen sertlik değeri grafiği .....	95
Şekil 5.73.	1 numaralı numunenin yatay eksen sertlik değeri grafiği .....	96
Şekil 5.74.	1 numaralı numunenin dikey eksen sertlik değeri grafiği .....	96
Şekil 5.75.	2 numaralı numunenin yatay eksen sertlik değeri grafiği .....	97
Şekil 5.76.	2 numaralı numunenin dikey eksen sertlik değeri grafiği .....	97
Şekil 5.77.	3 numaralı numunenin yatay eksen sertlik değeri grafiği .....	98
Şekil 5.78.	3 numaralı numunenin dikey eksen sertlik değeri grafiği .....	98
Şekil 5.79.	4 numaralı numunenin yatay eksen sertlik değeri grafiği .....	99
Şekil 5.80.	4 numaralı numunenin dikey eksen sertlik değeri grafiği .....	99
Şekil 5.81.	5 numaralı numunenin yatay eksen sertlik değeri grafiği .....	100
Şekil 5.82.	5 numaralı numunenin dikey eksen sertlik değeri grafiği .....	100
Şekil 5.83.	6 numaralı numunenin yatay eksen sertlik değeri grafiği .....	101
Şekil 5.84.	6 numaralı numunenin dikey eksen sertlik değeri grafiği .....	101
Şekil 5.85.	7 numaralı numunenin yatay eksen sertlik değeri grafiği .....	102
Şekil 5.86.	7 numaralı numunenin dikey eksen sertlik değeri grafiği .....	102
Şekil 5.87.	8 numaralı numunenin yatay eksen sertlik değeri grafiği .....	103
Şekil 5.88.	8 numaralı numunenin dikey eksen sertlik değeri grafiği .....	103
Şekil 5.89.	9 numaralı numunenin yatay eksen sertlik değeri grafiği .....	104
Şekil 5.90.	9 numaralı numunenin dikey eksen sertlik değeri grafiği .....	104
Şekil 5.91.	10 numaralı numunenin yatay eksen sertlik değeri grafiği .....	105
Şekil 5.92.	10 numaralı numunenin dikey eksen sertlik değeri grafiği .....	105

## **TABLOLAR LİSTESİ**

Tablo 3.1.	Alüminyum ve alüminyum合金alarının MIG kaynağı için önerilen bazı parametreler.....	15
Tablo 4.1.	Ana malzemeye ait kimyasal özellikler .....	18
Tablo 4.2.	Ana malzemeye ait mekanik özellikler .....	18
Tablo 4.3.	Alüminyum合金lı tele ait kimyasal özellikler.....	19
Tablo 4.4.	Alüminyum合金lı tele ait mekanik özellikler.....	19
Tablo 4.5.	Numunelerin kaynak parametreleri .....	22
Tablo 4.6.	Keller bileşimi .....	27
Tablo 4.7.	Keller bileşimi .....	28
Tablo 5.1.	Numunelerin çekme deney sonuçları.....	32
Tablo 5.2.	Numunelerin eğme deneyi (Kep) sonucu eğme dayanımları .....	57
Tablo 5.3.	Numunelerin eğme deneyi (Kök) sonucu eğme dayanımları.....	58
Tablo 5.4.	Numunelerin kaynak geometrileri.....	78
Tablo 5.5.	Numunelerin damla alanları dikiş formları .....	87
Tablo 5.6.	Numunelerin Isı Girdileri.....	91
Tablo 5.7.	Numunelerin Yatay Eksen Sertlik Değerleri.....	94
Tablo 5.8.	Numunelerin Dikey Eksen Sertlik Değerleri.....	94

## **FORMÜLLER LİSTESİ**

Formül 5.1.	Referans numune için elastik modül formülü .....	48
Formül 5.2.	1. numune için elastik modül formülü .....	48
Formül 5.3.	2. numune için elastik modül formülü .....	48
Formül 5.4.	3. numune için elastik modül formülü .....	48
Formül 5.5.	4. numune için elastik modül formülü .....	48
Formül 5.6.	5. numune için elastik modül formülü .....	49
Formül 5.7.	6. numune için elastik modül formülü .....	49
Formül 5.8.	7. numune için elastik modül formülü .....	49
Formül 5.9.	8. numune için elastik modül formülü .....	49
Formül 5.10.	9. numune için elastik modül formülü .....	49
Formül 5.11.	10. numune için elastik modül formülü .....	50
Formül 5.12.	Referans numune için rezilyans modül formülü .....	51
Formül 5.13.	1. numune için rezilyans modül formülü .....	51
Formül 5.14.	2. numune için rezilyans modül formülü .....	51
Formül 5.15.	3. numune için rezilyans modül formülü .....	51
Formül 5.16.	4. numune için rezilyans modül formülü .....	51
Formül 5.17.	5. numune için rezilyans modül formülü .....	52
Formül 5.18.	6. numune için rezilyans modül formülü .....	52
Formül 5.19.	7. numune için rezilyans modül formülü .....	52
Formül 5.20.	8. numune için rezilyans modül formülü .....	52
Formül 5.21.	9. numune için rezilyans modül formülü .....	52
Formül 5.22.	10. numune için rezilyans modül formülü .....	52
Formül 5.23.	Referans numune için tokluk formülü .....	54
Formül 5.24.	1. numune için tokluk formülü .....	54
Formül 5.25.	2. numune için tokluk formülü .....	54

Formül 5.26.	3. numune için tokluk formülü .....	54
Formül 5.27.	4. numune için tokluk formülü .....	54
Formül 5.28.	5. numune için tokluk formülü .....	55
Formül 5.29.	6. numune için tokluk formülü .....	55
Formül 5.30.	7. numune için tokluk formülü .....	55
Formül 5.31.	8. numune için tokluk formülü .....	55
Formül 5.32.	9. numune için tokluk formülü .....	55
Formül 5.33.	10. numune için tokluk formülü .....	56
Formül 5.34.	Numunelerin ısı girdisi formülü .....	91

## **ÖZET**

Anahtar kelimeler: Alüminyum, MIG, Gaz altı

Bu çalışmanın amacı alüminyum合金larının MIG kaynak yöntemi ile birleştirilmesi esnasında değiştirilen kaynak parametrelerinin kaynak damla geometrisine, mekanik ve makro yapı özelliklerine etkisini araştırmaktır. Çalışmada AlMg合金ası 5754 serisi alüminyum malzeme yine AlMg5合金ası alüminyum telle alın alına  $45^\circ$  V kaynak ağzı açılarak değişik tel hızı, kaynak voltajı ve kaynak amperi ile argon koruyucu gaz altında kaynak yapılmıştır. Birleştirilen parçaların çekme, eğme ve mikro sertlik mekanik deneyleri yapılmıştır. Ayrıca mikro ve makro yapı fotoğrafları da çekilmiş olup en uygun kaynak parametreleri belirlenmiştir. Değiştirilen kaynak parametrelerinin mekanik özellikleri etkilediği belirtilmiştir.

# **THE EFFECTS OF WELDING PARAMETERS ON MECHANICAL FEATURES OF CONNECTIONS IN ALUMINIUM WELDINGS**

## **SUMMARY**

Keywords: Aluminyum, MIG, Under Gas

The purpose of this study is finding out of the effect on some welding parameters changing while (MIG) Metal Invert Gas welding process of the aluminum, on the weld bead geometry mechanical and micro structural properties 5754 series AlMg allow and AlMg5 allow aluminum were applied 45° and welded with shielding gas welding. Tensile test, bending test and micro hardness measurements were applied on the welded pieces.

In addition microstructure welding photos were taken and the most suitable welding parameters were determined.

Also changing of welding features effect mechanical properties.

## BÖLÜM 1. GİRİŞ

Dünyada en fazla mevcut metaller sıralamasında alüminyum ikinci sırayı alır. Alüminyum metalinden muhtelif alaşımlama ve farklı ısıl işlem şartı ile çok farklı amaç için dört yüze yakın sayıda alüminyum合金ası geliştirilmiştir [1].

Alüminyumun yoğunluğu yaklaşık  $2,7 \text{ g/cm}^3$  olup çelik ( $7,83 \text{ g/cm}^3$ ) ve bakır ( $8,93 \text{ g/cm}^3$ ) yoğunluğunun yaklaşık üçte biri kadardır. Mukavemeti çelikten düşük olsa da, kesit arttıralarak çeliğe eşdeğer mukavemet sağlanmaktadır. Birçok konstrüksiyonda alüminyum合金larının kullanılması ağırlıkta düşme yaptığı için avantaj sağlamaktadır [2].

Alüminyumun önemli diğer bir özelliği de mükemmel bir ısı ve ışık yansıtıcısı olmasıdır. Bu özelliği sayesinde aydınlatma aksamlarında ve ısı yataklarında yaygın olarak alüminyum kullanılmaktadır. Bu açıdan mühendislik malzemesi olarak yaygın kullanım alanına sahiptirler. Alüminyum, endüstriyel malzemeler içinde en son keşfedilen metallerden biridir ve bu合金larının kullanımının yaygınlaşmasında savunma, otomotiv ve havacılık endüstrisinin büyük bir katkısı olmuştur.

Diğer metallere göre neredeyse %100 geri dönüşümlü olan alüminyumun geleceğin metali olmasını sağlayacak en önemli ana unsurlardan birisi de ekolojik ozelliğidir. Dünyada, özellikle gelişmiş ülkelerde, kamuoylarının 1980'lerde doruğa ulaşan çevre korumacılığı baskısıyla ve 1973 ile 1979 yıllarındaki petrol krizleriyle hızlanan sınırlı kaynakların en ekonomik, çevreyi en az kirletecek ve daha az enerji tüketeceğ şekilde kullanımı gibi kriterler, alüminyum alternatif malzemelere göre avantajlı hale getirmektedir. Sahip olduğu birçok özellikler nedeniyle sanayideki bu gelişmelere uygun bir ortam sağlamaktadır [3].

Alüminyumun özgül ağırlığı; çeliğin yaklaşık 1/3'ü kadardır. Ayrıca alüminyum ve alaşımları; havada, su içinde, yağlarla temas halinde ve birçok kimyasal maddeye karşı oldukça iyi korozyon direncine sahiptir. Atmosfer ile temas sonucunda yüzeyde oluşan ince, ancak yoğun refrakter karakterli oksit tabakası korozif etkilere karşı direnç sağlar. Alüminyum ve alüminyum alaşımlarının kaynağıının çelikten farklı olmasını sağlayan bir dizi özellik vardır. Bunlar;

1. Yüzeyde bulunan alüminyum oksit tabakası,
2. Yüksek ıslı iletkenlik,
3. Yüksek ıslı genleşme katsayısı,
4. Ergime sıcaklığına yaklaştıkça renk değişimi göstermemesi olarak sıralanabilir.

Bu özellikler; alüminyumun kaynağı açısından dikkat edilmesi gereken ve kaynak kalitesini etkileyen en önemli faktörlerdir. Alüminyum ve alaşımının geliştirilmeye başlanıldığı yıllarda, bu alaşımın uçak endüstrisinde kullanılması ve kaynakla birleştirilmesi gereksinimi, günümüzde gaz altı kaynak yöntemleri olarak biline TIG ve MIG kaynak yöntemlerinin bulunmasını ve geliştirilmesini sağlamış; kalın kesitli alüminyum alaşımının kesilebilmesi için plazma arkı ile kesmenin geliştirilmesi gerekmış, uzay roketlerinin alüminyum parçalarının kaynağında, plazma ark kaynağı kullanılmış ve bu arayış diğer ileri kaynak yöntemlerinin de alüminyum ve alaşımının kaynağında kullanımını teşvik etmiştir [1].

Aslında alüminyum ve alüminyum alaşımı, ergitme kaynak yöntemlerinden olan gaz ergitme kaynağı ve örtülü elektrot ile ark kaynağı yöntemleri kullanıldığında sınırlı olarak kaynak edilebilirken, gaz altı kaynak yöntemlerinin ortaya çıkması daha kaliteli bağlantıları oluşturulmasına imkân tanımıştır [4].

## **BÖLÜM 2. ALÜMİNYUM MALZEMELER**

### **2.1. Alüminyum Özellikleri**

Saf alüminyum, hafif mavimsi beyaz bir metaldir ve Al ile sembolize edilir. Atomik ağırlık 26,97'dir ve genellikle boksitten elde edilir [5].

Alüminyum hafif metaller gurubuna giren ve teknik alanda çok kullanılan bir metaldir. Özgül ağırlığı  $3,8 \text{ gr/cm}^3$ 'den küçük olan elemanlar hafif metaller grubuna girer. Hafif metaller sınıfında alüminyum, magnezyum, potasyum, lityum ve berilyum bulunur. Bunlardan özellikle alüminyum ve magnezyum en önemlileridir. Alüminyumun önemli olmasının sebebi hafif olmasıdır. Ayrıca yüksek elektrik ve ıslı iletkenliği atmosferik dayanıklılığı, imal kolaylığı ve diğer metaller ile yüksek çekme mukavemetine sahip alışmalar oluşturabilmesi diğer önemli hususlardır [6].

Alüminyum doğada bol bulunduğu için kullanılma sahaları çoktur. Bütün metallerde yaygın olana yer kabuğunun %15'ini ( $\text{Al}_2\text{O}_3$ ) olarak oluşturmaktadır.

Alüminyum kaynak, sıcak ve soğuk lehim ve ya mekanik bağlanma usulleri ile kolayca birleştirilebilmektedir. Alüminyum diğer metallerde kullanılan cihazlar ve teknikle birleştirme yöntemini belirleyen faktördür. Tablo 2.1'de saf alüminyum metalinin özellikleri verilmiştir.

Tablo 2.1. Saf alüminyum metalinin özellikleri

Kristal Yapısı	YMK
Yoğunluk	2,7 gr/cm <sup>3</sup>
Yeniden Kristalleşme Sıcaklığı	150 °C - 300 °C
Isı İletkenliği(25o)	645-660 Kcal/Sa/c
İşlem Sıcaklığı	300 °C - 500 °C
Ergime Sıcaklığı	660 °C

## 2.2. Alüminyum Alaşımları ve Özellikleri

Yapısal ürünler için kullanılan alüminyumun çoğu, alüminyum合金ası şeklindedir. Yüksek mukavemet ve düşük yoğunluk özelliklerinden dolayı alüminyum üretiminin büyük bir kısmı nakil araç gereçleri ve hareketli makine parçalarında kullanılır [5].

Alüminyum katılan合金 elemanları, mukavemet özelliklerini yükseltir. Özellikle mukavemet artar. Başlıca合金 elemanları: magnezyum, manganez, silisyum, bakır, çinko ve bazen de kurşun, nikel ve titandan ibarettir.

Alaşım elemanları合金 için üç farklı halde bulunur:

- 1) Alüminyum içinde katı halde eriyebilirler (katı eriyik)
- 2) Katı halde alüminyumda erimeyip veya sınırlı eriyip mekanik bir karışım teşkil ederler.
- 3) Alüminumla veya birbirleriyle metaller arası veya kimyasal bileşik teşkil ederler.

Alüminyum ve合金ları genel olarak üç gruba ayrılır:

- a) saf alüminyum
- b) ısıl işlem yapılamayan合金lar
- c) ısıl işlem yapılabilir合金lar

Alüminyum çeşitli saflık derecelerinde görülür. Daha çok ticari olarak kullanılan alüminyum %99.7, 99.5 veya %99 saflığındadır. Isıl işlem yapılamayan合金alar az miktarda mangan (Mn) veya magnezyum (Mg) içerirler. Al-Mn合金alar çoğu zaman % 1.0 – 1.2 Mn, Al-Mg合金alar ise % 5'in üzerinde Mg içerirler. Isıl işlem yapılabılır合金alar bakır (Cu), magnezyum ve silisyum (Mg+Si) veya çinko ve magnezyum (Zn+Mg) içerirler. Alüminyum ve birçok isıl işlem yapılamayan ve isıl işlem yapılabılır合金alar iyi kaynak yapılabılır. Isıl işlem yapılabılır合金alar bakır ve kurşun eklendiğinde sıcak çatlama riski oluşmakta ve dolayısıyla onların kaynatılmasında zorluk ortaya çıkmaktadır. Birçok alüminyum döküm合金ası da (yüksek miktarda bakır ve magnezyum içerenler hariç) kaynak için uygundur [7].

### **2.3. Alüminyumun Genel Karakteristikleri**

Alüminyum ağırlık olarak hafiftir. Bazı合金alar yumuşak çelikle mukayese edilecek derecede sağlamdır. Sıfır derecenin altında şekil değiştirme kabiliyetine sahiptir. Korozyona direnci fazladır. Zehirleyici değildir. Elektrik ve ısı iletkenliği iyidir. Isı ve ışığa çok iyi yansıtır. Manyetik değildir. Alüminyum imali kolaydır. Bükülebilir, haddelenebilir, preslenebilir, çekilebilir, bükülüp uzatılabilir ve rulo haline getirilebilir. Metal ayrıca çekiçle dövülüp, kızdırılıp işlenebilir veya kalıptan çekilerek çok büyük şekiller verilebilir [6].

### **2.4. Birleştirme İle İlgili Karakteristikler**

Saf alüminyum 1220 F'den ergir. Alloyalar ise合金 muhteviyatına göre 900-1220 F'de ergir. Kaynak ya da lehimleme sırasında alüminyum ısınsa da rengi değişmez. Bu yüzden metalin ergime noktasına gelip gelmediği kolay gözlenemez.

Çeliğe nazaran yüksek ısı iletkenliği, ergitme kaynağı için fazla ısı verilmesi gereklidir. Büyük parçalarda ön ısıtma gereklidir.

Yüksek elektrik iletkenliğinden dolayı ise çelikle mukayese edilirse yüksek akımlar gerekecek ve direnç kaynağında kaynak süresi kısa tutulacaktır. Kaynak değişkenlerinin de daha keskin kontrolleri gerekecektir.

Alüminyum alaşımaları havayla temas edince hemen yapışkan ve kolay giderilemez bir oksit filmi oluşturur. Ergitme kaynağında alüminyum parça ve ilave metalin uygun birleşmesi ve lehimlemenin veya yapıştırmanın iyi olması için bu oksit film takip edilmelidir. Temizleyici maddelerde, soygaz atmosferlerindeki koruyucu gaz arkıyla veya mekanik ya da kimyasal yöntemlerle oksit filmi giderilmeye çalışılır [6].

## **2.5. Alüminyumun Başlıca Özellikleri**

Alüminyum ve alaşımaların kaynağında müspet neticeler almak için alüminyum ve alaşımalarının özelliklerini iyi bilmek gerekir.

### **2.5.1. Alüminyum saflık dereceleri**

Gıda ve elektrik endüstrisinde kullanılan alüminyum %99,99 saflık derecesindedir. Alüminyum borular ve saçlar %99,5 ile %99,8 bazen %98-99 derecesinde saftırlar. Geri kalan kısımlar genellikle silisyum ve demirden ibarettir. Demir ( $Al_3Fe$ ) alüminyum 250 - 350 °C'da tavlanırsa, katı eriyik halinde bulunan silisyum, alüminyundan ayrılır. 350 °C üzerinde tekrar katı eriyik haline geçer. Silisyumun ayrılmasıyla alüminyum mukavemeti düşer. Bu nedenle soğurken bu bölgeyi hızlı geçmek gerekir. Kaynaktan sonra dikiş 400 °C'den itibaren birdenbire suya daldırılarak çabuk soğutulmalıdır [6].

Alüminyum 99,0 - 99,5 - 99,7 - 99,8 - 99,9 - 99,99 saflıkta üretilir. %99,99 saflıktaki alüminyum yüksek nitelikte alüminyum olarak bilinir. Burada fiziksel ve mekanik özellikler belirli şekilde kendini gösterir.

Yüksek nitelikteki alüminyum yumuşak, kolay işlenebilir, ısı ve ışığı verimi bir şekilde yansıtır; ısı ve elektriği iyi iletir, korozyona karşı çok dayanıklıdır.

### **2.5.2. Alüminyumun fiziksel özelliklerı**

Tablo 2.2. Alüminyumun fiziksel özellikleri

Atom ağırlığı	: 26,97
Dökme Al	: 2,65 - 2,69(gr/cm <sup>3</sup> )
Hadde Al	: 2,7 (gr/cm <sup>3</sup> )
Ergime noktası	: 658 °C
Kayama noktası	: 1800 °C
Isı geçirgenlik katsayısı	: 173

Sıcaklık tesiri ile uzama:

0.50 °C      1,17 (mm/m)

100 °C      2,38 (mm/m)

200 °C      4,94 (mm/m)

400 °C      10,60 (mm/m)

500 °C      13,70 (mm/m)

Kendini çekme miktarı:      %1,7 - %1,8

Katı halden sıvı hale geçerken meydana gelen hacim büyümesi:      % 6,5

### **2.5.3. Alüminyum mukavemet özellikleri**

Mukavemet özellikleri, malzemenin safliğına ve imal şekline bağlıdır.

Tablo 2.3. Alüminyumun mukavemet özellikleri

	Döküm Al.	Hadde Al.	Is. İsl.Tb. Tut. Al.
Çekme muk. ( $\text{kg/mm}^2$ )	9 - 12	18 - 28	7 - 11
Akma muk ( $\text{kg/mm}^2$ )	3 - 4	16 - 24	5 - 11
Uzama (%)	18 - 25	3 - 5	30 - 40
Büzülme (%)	40 - 55	60 - 85	80 - 95
Sertlik (Brinell)	24 - 32	45 - 60	80 - 95

Saf alüminyum dinamik dayanıklılığı, statik dayanıklılığının 0,4 - 0,5 katıdır.

Soğuk şekil değiştirmiş alüminyuma kaynak yapıldığında ısından etkilenen bölgenin mukavemeti düşer. Kaynak esnasında parça tavlandığı için mukavemeti azalmaktadır. Kaynaktan sonra parça soğuk olarak çekiçlenirse dayanıklılık kazanır.

#### 2.5.4. Korozyona karşı mukavemet

Alüminyum oksijene karşı ilgisi çok fazladır. Hava ile temas neticesinde, kısa zaman oksijen ile birleşerek alüminyum oksit ( $\text{Al}_2\text{O}_3$ ) oluşturur. Bunun sonucu bütün yüzeyi çok renkli alüminyum oksit tabakası ile örtülü. Alüminyum bu özellikleri korozyona karşı mukavemetini yükseltmektedir. Oluşan bu oksit tabakası su ile yıkamak suretiyle çıkartılmaz. Alüminyum bu özelliği kullanma sahasını genişletmiştir. Soğuk şekil değiştirme korozyon mukavemetini düşürür. Alüminyum saflık derecesi azaldığı takdirde de korozyon mukavemeti düşer. Yabancı elemanlar, korozyon mukavemetini azaltmaktadır [6].

### **BÖLÜM 3. ALÜMİNYUM VE ALAŞIMLARININ MIG KAYNAĞI**

Alüminyum günümüzde demir ve çelikten sonra en çok kullanılan genç bir metaldir. Son yıllarda alüminyumun imalatta kullanımı daha yaygın hale gelmiş ve çeliğe bir alternatif malzeme olarak görülmeye başlanmıştır. Çelikten sonra günümüz endüstrisinde en fazla kullanılan malzeme olan alüminyum ve alüminyum合金aları, endüstriyel malzemeler içinde son keşfedilen melallerden biridir ve bu合金aların kullanım alanının yaygınlaşmasında savunma, otomotiv ve havacılık endüstrisinin büyük bir katkısı olmuştur [8]. Endüstri ve teknoloji gelişikçe, alüminyum kullanımı artmaktadır. Daha hafif, daha sağlam, daha verimli, daha uzun ömürlü ve sonuçta daha ekonomik ürünler için, alüminyum tercih edilmektedir. Uzay araçları dahil olmak üzere hava taşıtları, daha sağlam binalar ve köprüler, elektrik nakil hatları, diğer mühendislik uygulamaları için alüminyum vazgeçilmez bir malzemedir. Alüminyum endüstrisi; yeni合金alar, teknolojik gelişmeler, üretim metodları, ürün tasarıımı ve kalite kontrol için araştırma-geliştirme çalışmalarına devam etmektedir [7].

Alüminyum endüstrisinde en çok kullanılan birleştirme yöntemlerinden biriside kaynak yöntemidir. Kaynak yöntemi, endüstrinin birçok sektöründe alüminyumun birleştirilmesinde başarılı bir şekilde ve artarak kullanılmaktadır. Yapılan araştırmalara göre, sadece alüminyumun otomotiv sektöründeki kullanımını esas alındığında, alüminyum kaynak pazarının yıllık artışının % 5,5 oranında artarak devam edeceği tahmin edilmektedir [7].

MIG kaynağı birçok metalin kaynağında kullanılıldığı gibi alüminyumun kaynağında da başarılı bir şekilde kullanılmaktadır. Fakat alüminyumun kaynağı, çeliğin kaynağuna göre farklılıklar ve zorluklar gösterir. Çünkü çeliğe göre daha yüksek ısıl iletkenliğe ve daha düşük erime sıcaklığına sahip olması kaynak sırasında bazı zorluklar göstermektedir. Bu zorluklara rağmen alüminyumun MIG kaynağı, tel

besleme hızı, ark voltajı, ark uzunluğu, gaz tüketimi, kullanılan telin çapı gibi kaynak parametrelerinin kaynaktan önce makine-kontrollü olarak ayarlanabilmesi sayesinde daha kolay bir şekilde gerçekleştirilebilmektedir [7].

### **3.1. Alüminyum Kaynak Metotları**

Alüminyum; kaynak metodu, birleştirme şekli ve dolgu metali belirlendikten sonra kolay kaynak edilebilen bir metaldır. Alüminyumun kaynağında daha yoğun olarak kullanılan MIG ve TIG metodunun dışında gaz kaynağı, örtülü elektrot kaynağı, plazma kaynağı ve direnç kaynağı metotları kullanılmaktadır. Basit ekipmana ve düşük maliyete sahip olması nedeniyle, bazen saf alüminyumu ve bazı alüminyum alaşımalarını kaynak yapmak için gaz (oksi-asetilen) kaynağı kullanılmaktadır. Kaynak gazları (yanıcı gaz-oksijen) olarak genellikle asetilen ve oksijen gazları kullanılmaktadır. Alüminyumu örtülü elektrotlar ile elle kaynak yaparak daha yüksek kaynak hızları elde edilir. 8 mm'den kalın malzemeleri kaynak yaparken, gözeneksiz ve iyi bir birleştirme sağlayabilmek için en az 200°C'ye öntav yapılması tavsiye edilir. Kaynak dikişinin korozyon direncini korumak için, tüm curuf kalıntılarının temizlenmesi gereklidir. Alüminyumun kaynağında kullanılan bir diğer önemli kaynak metodu ise gaz altı kaynağıdır. Bu kaynak metodu TIG ve MIG yöntemlerini içermektedir. Bu metodların havayı kaynak banyosundan uzak tutmanın yanında, koruyucu gazın, arkın kararlığı ve sonuçtaki kaynak kalitesi üzerinde çok büyük etkisi vardır. Şu ana kadar Argon ve Helyum asal gazları ayrı, ayrı veya karışımı alüminyumun kaynağında çok iyi sonuçlar vermiştir. Fakat saf Argonun, Ar + He karışımına göre daha sessiz ve kararlı bir arkı vardır. Diğer taraftan Ar + He karışımı kullanımını, aynı kaynak parametrelerinde daha yüksek performanslı kaynak arkı sağlarlar. Ancak MIG veya TIG kaynak yöntemlerinin kullanımı parça kalınlığı, akım şekli gibi çeşitli faktörlere bağlıdır. Ayrıca alüminyumun kaynağında plazma ve direnç kaynağı yöntemleri de kullanılmaktadır [7].

### **3.2. Alüminyum ve Alaşımlarının MIG Kaynağı**

Günümüzde alüminyum konstrüksiyonunda en çok kullanılan kaynak metodu, eriyen elektrotla bir koruyucu gaz veya gaz karışımı atmosferi altında yapılan MIG kaynak tekniğidir [8]. Eriyen elektrot ile yapılan MIG gaz altı kaynağı çok geniş bir uygulama alanına sahiptir. MIG-yönteminden genellikle aşınma ve korozyon dayanıklı yüzeyler elde edilmesinde yararlanılmaktadır [5].

MIG kaynak yönteminin diğer kaynak yöntemlerine göre, mekanize edilebilme, daha hızlı çalışma, robot kullanma imkânı, çok karmaşık kaynak konstrüksiyonlarında kolay bir şekilde uygulanabilme, her pozisyonda kullanılabilme ve karbonlu çelik, paslanmaz çelik, alüminyum, bakır gibi bütün ticari metallerin kaynak edilebilmesi açısından birçok avantajlar sağlamaktadır. Ayrıca her geçen gün bu metodun pazar payı yüzdesi artmaktadır. Bu teknik her kalınlıktaki alüminyum ve alaşımları için uygulanabilir olmasına rağmen genellikle 3 mm'den daha kalın alüminyum ve alaşımlarının kaynağında tercih edilen bir kaynak yöntemidir. Çünkü MIG kaynağında kaynak hızı ve ergime gücü diğer gazaltı kaynak yöntemi olan TIG kaynağına göre daha yüksek olduğu için çok ince levhalar ancak darbeli akım yöntemi uygulanarak kaynak yapılır.

Alüminyum ve alaşımları 550-660 °C arasındaki sıcaklık aralığında ergimelerine rağmen ıslık iletkenliklerinin çok yüksek olması nedeni ile kaynak için gerekli ısı girdisi eş kalınlıktaki çeliğin kaynağından daha fazla olmak zorundadır. Alüminyum ve alaşımlarının ıslık genleşme katsayılarının büyük olması, kaynak bölgesinde ısınma ve soğuma sonucu oluşan sıcaklık farkları şiddetli gerilmeler ve büyük çaplı çarpılmaların olmasına neden olur. Alüminyum üzerinde hava ile teması sonucunda oluşan refrakter alüminyum oksit tabakası, alüminyum ve alaşımlarının kaynağını büyük çapta güçleştirir. Doğru akım, ters kutuplama (elektrot pozitif kutupta) ile yapılan kaynakta, banyo üzerinde yüzen oksit tabakası parçalanır ve ancak bu kutuplama ile kaynak gerçekleştirilebilir. Alüminyum ve alaşımlarının MIG kaynağında, malzemenin kalınlığı göz önüne alınmaksızın sprey ark ile kaynak yapmak daima tercih edilir. Sprey arkın yüksek ısı girdisine karşın alüminyumun

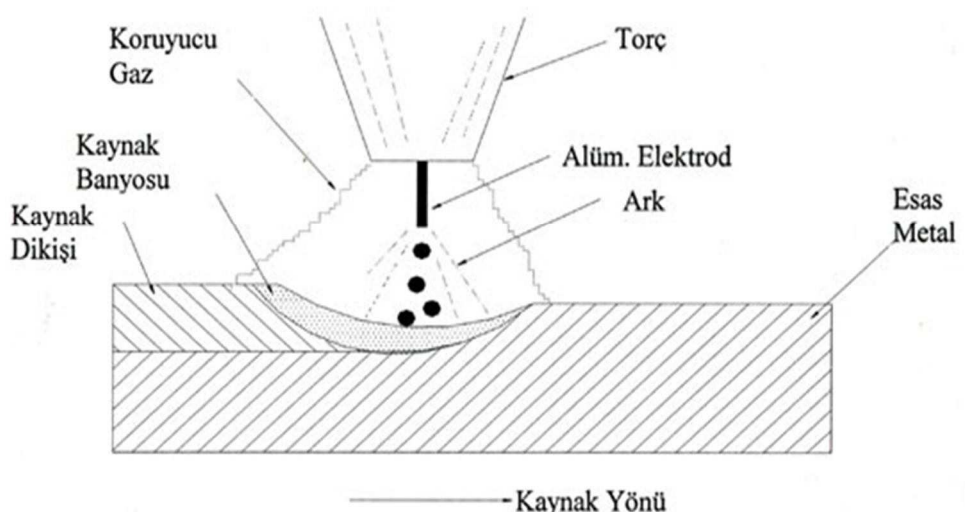
yüksek ıslık iletkenliği dolayısı ile kaynak banyosu oldukça çabuk katıldılarından her pozisyonda kaynak yapmak mümkün hale gelmektedir. Yalnız burada oksit tabakasının giderilebilmesi için sola kaynak yöntemi seçilmeli ve dikey pozisyonundaki kaynaklar aşağıdan yukarıya doğru yapılmalıdır. Böylece hem kaynak edilecek bölgelerdeki oksit tabakaları temizlenmiş olur hem de kaynak ağızları iyi bir şekilde ergiyerek uygun bir şekilde kaynak yapılmış olur. Sağa kaynak yöntemi uygulandığında ve dik kaynaklarda yukarıdan aşağıya doğru kaynak yapıldığında gözenekli, kötü görünüşlü ve yetersiz erimeden dolayı tam kaynamamış bölgeler meydana gelir. Kaynak dikişi düz veya dar zikzaklarla çekilmelidir. Geniş zikzaklar kaynak dikişinin aşırı oksitlenmesine neden olduğundan kullanılmamalıdır. İnce alüminyum levhaların gerek yarı otomatik gerekse de mekanize edilmiş MIG kaynağında genellikle Argon gazı kullanılır. Kalın alüminyum levhaların otomatik kaynağında ise daha sıcak bir kaynak banyosu ve daha iyi nüfuziyet elde etmek için Helyum gazı veya Helyum+Argon gaz karışımı kullanılır. Alüminyum alaşımlarının ıslık iletkenliğinin yüksek olması özellikle kalın parçalarda kaynak bölgesinin şiddetli soğumasına neden olur. Bu bakımından kalın ve bilhassa döküm alüminyum parçala kaynak öncesi öntav uygulamak gereklidir. Genellikle 15 mm'den daha kalın parçalara uygulanan öntav sıcaklığı  $200^{\circ}\text{C}$ 'yi geçmemelidir. Dövme alüminyum alaşımlarında genel olarak öntav yerine daha yüksek akım şiddeti ve ark gerilimi ile daha yüksek ısı girdisi sağlanır. Soğuk şekil değiştirme veya ıslık işlem ile sertleştirilmiş alüminyum parçaların kaynak bölgesinde, sonradan kazanılmış olan bu sertlikte bir azalma görülür, bu bakımından ıslık işlem ile sertleştirilmiş alüminyum alaşımına kaynak öncesi, bir çözeltiye alma tayı uygulanır ve kaynak sonrası tekrar ıslık işlem uygulanarak sertleştirilir [7].

DATK (elektrot +) kullanılır. Argon korumasıyla bu akım ve bağlantı, kaynak banyosunun önünde ana metalin üstündeki oksit yüzeyini parçalar. Bu temizleme etkisinin, ana metal levhasını terk eden elektronlar ya da levhaya çarpan asal gaz iyonları veya bu iki olayın birlikte vaki olmasına bağlılığı sanılır.

DATK'in etkisi, elektrotun yönü ne olursa olsun, ilâve metali arkın içinden elektrotun ekseni çizgisinde sevkeder. Bu nedenle ve alüminyumun özgül ağırlığı, yüzey gerilimi ve soğuma tempusu dolayısıyla, yatay, dik ve tavan kaynakları

nispeten kolay gerçekleşir. Yüksek terk etme oranları mutat olup sair ergitme yöntemlerine göre daha az distorsiyon, daha yüksek kaynak mukavemeti ve daha düşük maliyet elde edilir. MIG yönteminin bir karakteristiği olan enerjinin verimli kullanılışı, çoğu kez ön ısıtmayı gereksiz kılar. Dolayısıyla süreç kalın Al kesitlerinin kaynağında geniş ölçüde uygulanır. Sıradan imalatta 1,6 mm'ye kadar incelikte alüminyum, MIG kaynağıyla birleştirilir [9].

MIG kaynak yönteminin uygulanması çok basittir. Toprak kablosunu iş parçasına veya kaynak masasına bağlayarak ve torç ucundaki tel elektrotu kaynak ağızına degidirerek ark oluşturular. Makine telin ilerlemesini ve uygun ark boyunu otomatik olarak sağlar. MIG kaynağı, uygulama kolaylığı nedeniyle bütün demir dışı metal ve alaşımaların kaynağında çok popüler ve aranılan kaynak yöntemi haline gelmiştir. MIG yöntemindeki ark bölgesi şematik olarak Şekil 3.1'de gösterilmiştir



Şekil 3.1. MIG yöntemindeki ark bölgesi

Bu yöntemde kaynak arkı Şekil 3.1'de de görüldüğü gibi iş parçası ile aynı zamanda ilave metal olan, tükenen tel elektrot arasında oluşur. Alüminyumun MIG kaynağı doğru akım, elektrot pozitif kutupta yapılır. Bu kutuplama sprey damla geçisi olarak adlandırılır ve asal gaz atmosferi (Ar veya He veya Ar/He karışımı) altında korunur.

MIG kaynak yöntemi kalın çaplı tel elektrot kullanarak daha kararlı hale getirilebilir. Tel elektrotun düzgün olarak kaynak bölgесine iletilebilmesi için teflon spiral kullanılmalı, kılavuzlar ve tel sürme makaralarının yuvaları U biçimli olmalıdır, kontakt meme daha uzun olmalıdır ve iç çap toleransının daha fazla olması gereklidir [7].

Çeliklere nazaran alüminyum malzemeleri kaynak yaparken, bu malzemeye özgü bazı özellikler dikkate alınmalıdır. Alüminyum malzemeler, çeliklere göre daha yüksek ısı iletkenliğine sahip olduğundan, kaynak nüfuziyeti daha düşük ve kaynak banyosunun gazlardan arınması daha geç olur. Alüminyum ve合金larının ısıl genleşme katsayılarının büyük olması kaynak bölgesinde ısınma ve soğuma dolayısıyla oluşan sıcaklık farkları şiddetli iç gerilmeler ve büyük çaplı çarpılmalar ortaya çıkar [7].

Sonuç olarak, kaynak dikişinde yetersiz ergime ve gözenekler oluşabilir. İş parçasını ön tav yaparak ve kalın kesitli malzemeleri kaynak esnasında da tavlayarak, bu tür kaynak hataları önlenebilir.

Kaynağa başlamadan önce, yüzeydeki alüminyum-oksit tabakası kaynak bölgesinden frezeleme yoluyla veya paslanmaz çelik fırça ile fırçalayarak tamamen temizlenmelidir.

Kaynak ağızı yüzeyleri ve kaynağa yakın bölgeler (kaynak ağızının en az 50 mm yakını) temiz, yağısız ve kuru olmalıdır. İyi bir depolama ve mekanik işlemler sonrası kaynak yüzeylerinin özel bir yağ çözücü ile temizlenmesi, bu tür hazırlık işlerini kolaylaştırır. Bunların yanında, alüminyum malzemelerin kaynağında kullanılan el aletleri yalnız bu malzemeler için kullanılmalıdır

MIG yöntemi ile 4 mm'den büyük kesit kalınlığına sahip malzemeleri alın kaynağını veya köşe kaynağını tek pasoda yapmak mümkündür. Yüksek kaynak akımı ve güçlü bir nüfuziyet nedeniyle 6 mm'ye kadar kalınlığa sahip malzemelerde kaynak banyosunu desteklemek için kaynak altlığı kullanılır

Ayrıca alüminyum ve alüminyum alaşımlarının MIG kaynağı için önerilen bazı parametreler Tablo 3.1'de görülmektedir.

Tablo 3.1. Alüminyum ve alüminyum alaşımlarının MIG kaynağı için önerilen bazı parametreler

Malzeme Kalınlığı (mm)	Ağız Türü	Ağız Aralığı (mm)	Kök Alın Yüksekliği (mm)	Paso sayısı	Kaynak Gerilimi (V)	Kaynak Akımı (A)	Tel İlerleme Hızı (m/dak)	Tel Çapı (mm)	Koruyucu Gaz (lt/dak)
4	I-Alın	0	-	1	23	180	3.2	1.2	12
5	I-Alın	0	-	1	25	200	4.3	1.6	18
5	V-Alın ( $70^{\circ}$ )	0	1.5	1	22	160	5.6	1.6	18
6	I-Alın	0	-	1	26	230	7.1	1.6	18
6	V-Alın ( $70^{\circ}$ )	0	1.5	1	22	170	6.0	1.6	18
8	V-Alın ( $70^{\circ}$ )	0	1.5	2	26	220	6.8	1.6	18
10	V-Alın ( $60^{\circ}$ )	0	2	3	26 24 26	220 200 230	6.2 6.0 7.2	1.6 1.6 1.6	20 20 20
12	V-Alın ( $60^{\circ}$ )	0	1.5	3	26 26 28	240 220 250	13.7 12.2 15.6	1.2 1.2 1.2	23 23 23
12	V-Alın ( $60^{\circ}$ )	0	1.5	2	27 27	260 280	3.6 3.9	2.4 2.4	25 25

Kaynak bağlantısının kalitesini belirleyen seçilen kaynak parametreleridir. Bu nedenle uygun kaynak parametreler seçildiği taktirde alüminyum ve alaşımının kaynağında, MIG kaynak yöntemi başarılı ve geniş kapsamlı olarak birçok sektörde uygulanabilmekte ve uygulanabilirliği de gün geçtikçe artacak gibi görülmektedir.

### 3.3. Dikişlerde gözeneklilik

Bazı kaynaklı birleşmelerde sınırlı miktarda gözeneğe müsaade edilirse de bu kusur süneklik, yorulma ve çekme mukavemeti üzerinde ters etki yapar. Al kaynaklarında gözenekliliğin baslıca nedeni, kaynak banyosunda sıkışık kalan gazlardır. Gaz kaçmaya vakit bulamadan metal donunca, gözenek hasıl olur. Gazlar, koruyucu gazda bulunabilen bulaşıcı maddelerden, hava ve sudan, kirli ana ve ilâve metalden bulaşmalar, fazla uzun ark ya da şiddetli ark etkisinden ileri gelebilirler. Kaynak banyosunda kalan gaz miktarı banyonun soğuma temposuna bağlıdır. Çeşitli gözeneklilik nedenleri ve önleyici tedbirler aşağıda gösterilmiştir [9].

Gaz sıkışmasını teşvik edici etkenler: Kaynak banyosu türbülansı (girdap-çevirisi), aşırı akım gaz sıkışmasına etki eder.

Önlemler: Damlacık intikalini stabilize etmek için uygun akım şiddeti seçimi yapılmalıdır. Kaynak hızının azaltılması gereklidir.

Hidrojeni teşvik edici etkenler: Elektrot üzerinde yağ veya başka bulaşıcı maddeler temizlenmelidir. Elektrot üzerinde hidrate oksit filmi bulunmamalıdır. Koruyucu gazın ıslak olması, MIG tabancasında su kaçağı olması ve yağlı iş parçası hidrojene etki eder.

Önlemler: Temiz, yüksek kaliteli elektrota kullanmalıdır. Elektrot stokunu örtü altında tutmak gereklidir. Uzun süre açık kalmış ambalajdan elektrot kullanılmamalıdır. Makaraları solventlerle temizlemek; layneri değiştirmek gereklidir.  $40^{\circ}\text{C}$ 'ın üstünde çiğ noktalı şişeleri kullanılmamak gereklidir. Su kaçağı dolayısıyla fazla ısınmış bulunan tabancanın tamir edilmesi gereklidir. Püskürmeyi asgariye indirecek kaynak koşullarına ayarlamak gereklidir.

Kaynak banyosunun hızlı soğuma temposu: Kaynağa alçak ısı girdi oranı, kaynaktan fazla hızlı ısı çekme temposu, eğer kullanılmışsa destek çubuğuunun alçak sıcaklığı destek çubuğuunun oluk şecli kaynak banyosunun hızlı soğuma tempesuna etki eder.

Önlemler: Daha yüksek akım şiddeti veya daha yavaş kaynak hızı kullanmak gereklidir. Sıcak destek çubukları kök gözenekliliğini azaltır. Destek çubuklarında sıç, geniş oluklar, dar derin oluklardan daha iyidir.

Hatalı tel sürme: Sürme makarası kaydırıyorsa, temas borusunda bere varsa, yanlış layner ölçüsü kullanılmışsa veya elektronik kusur hatalı tel surmeye neden olur.

Önlemler: Makaralarda basıncı arttırmak, tırtıklı makara kullanmak, bunun U oluklu yerine V oluklu olması gereklidir. Tabancaya giden kablonun eğim gereğini azaltmak için MIG makinasının yerini değiştirmek gereklidir.

### **3.4. Gaz Sıkışması**

Koruma gazı, hava veya gazlı bulaşıcılar, şiddetli ark etkisinin sonucu olarak kaynak banyosunda sıkışır kalabilirler. Kaynak gözenekliği, hızlı donmuş buz kübü içinde kalmış hava kabarcıklarına benzer.

Kaynak banyosunda türbülans, damlacıkların intikaline bağlanır. Çok alçak bir akım şiddeti kullanıldığında arkın içinden iri metal tanecik geçisi vaki olup ince püskürme şeklinde iyi olmuş küçük damlacıklar haline göre daha burgaçlı banyo reaksiyonu hasil olur.

Aşırı yüksek akım şiddetleri, kaynak banyosunda bir gaz kabarcığı üzerine metal yığarak gaz sürükleyebilir. Tüm kabarcık kaçmaya vakit bulamadan bu metal donar [9].

## BÖLÜM 4. DENEYSEL ÇALIŞMALAR

### 4.1. Deneylerde kullanılan malzemeler

Çalışmalarda alüminyum levha olarak 3 mm kalınlığında 5xxxx serisi olan 5754合金 kullanılmıştır. İlave tel de malzemeye uygun olan Al Mg 5 bileşimine sahip alüminyum tel kullanılmıştır. 4.1, 4.2, 4.3 ve 4.4 nolu tablolarda malzeme ve alüminyum tele ait kimyasal bileşimler ve mekanik özellikler verilmiştir.

### 4.2. Kaynak Parametreleri

Tablo 4.1. Ana malzemeye ait kimyasal özellikler

Kimyasal Bileşim							
%							
Si	Fe	Cu	Mn	Ti	Zn	Mg	Al
0,26	0,34	0,08	0,4	0,02	0,02	2,69	96,1

Tablo 4.2. Ana malzemeye ait mekanik özellikler

Mekanik özellikler		
Çekme Dayanımı Mpa	Akma Dayanımı Mpa	% Uzama
225.0	132.0	18.90

1,2 mm kalınlığa sahip alüminyum合金 aşımlı tele ait kimyasal bileşim ve mekanik özellikler:

Tablo 4.3. Alüminyum alaşımı tele ait kimyasal özellikler

<b>Kimyasal Bileşim</b>			
<b>Mg</b>	<b>Mn</b>	<b>Si</b>	<b>Fe</b>
5	0,3	0,25	0,4

Tablo 4.4. Alüminyum alaşımı tele ait mekanik özellikler

<b>Mekanik Özellikler</b>			
<b>Çekme Dayanımı Mpa</b>	<b>Akma Dayanımı Mpa</b>	<b>% Uzama</b>	<b>Erime Aralığı</b>
260 N/mm <sup>2</sup>	180 N/mm <sup>2</sup>	%20	575-633

Kaynak makinası ve diğer kaynak özellikleri

1. EWM Hightec Welding Evolution Mig kaynak makinası ile çalışılmıştır.
2. 1.2 mm kalınlığında AlMg5 alaşımı alüminyum tel kullanılmıştır.
3. %100 Argon gazı kullanılmıştır.
4. Kaynak işlemi 10 °C sıcaklıkta yapılmıştır.
5. İşlem tek pasoda sola kaynak yöntemi ile yapılmıştır.
6. Kaynak esnasında altlık kullanılmamıştır.



Şekil 4.1. Kaynak makinası resimleri

Malzeme ve tel özellikleri seçilerek kaynak parametreleri de ayarlanarak orijinal parça da dâhil olmak üzere toplam 11 tane farklı kaynak yapıldı.

Özet olarak 1. 2. 3. 4. 5. numunelerde kaynak akımı, tel hızı ve kaynak gerilimi değiştirilerek işlem yapıldı. Kaynak metodu, koruyucu gaz ve parçalar arası mesafe sabit tutuldu. Her numune için kaynak hızı tespit edildi.

6. 7. 8. 9. ve 10. numuneler için ise kaynak akımı ve tel hızı sabit tutuldu kaynak gerilimi değiştirildi. Kaynak metodu, koruyucu gaz ve parçalar arası mesafe sabit tutuldu. Her numune için kaynak hızı tespit edildi.

Kaynatılacak malzemelerin her birinin boyutu 160 mm x 180 mm olacak şekilde kesildi. Malzemeler kaynak yapılmadan önce kir, nem ve yağıdan temizlendi. Kaynak işlemi girilen değerlerde kaynak hızı kaydedilmek suretiyle argon koruyucu gazi altında gerçekleştirildi. Kaynak sonrası malzeme havada soğutularak temizlenme işlemi yapıldı.

Kaynak malzemesi	: 5754 alaşımı (Al Mg alaşımı)
Kaynak teli	: AlMg5 kaynak teli(5356 alaşımı)
Kaynak işlemi	: DC MIG
Birleştirme tipi	: PA (Küt Alın Birleştirme)
Tel kalınlığı	: 1,2 mm
Gaz basıncı	: 18 bar
Tüp basıncı	: 110 bar
Temas ucu / iş mesafesi	: 2 mm

Kaynak parametreleri ise Tablo 4.5'de verilmiştir.

Tablo 4.5. Numunelerin kaynak parametreleri

Numuneler	Amper (A)	Volt (V)	Tel Hizi (dak/m)	Koruyucu Gaz	Kaynak Hizi (sn)	Akım Tipi	Parçalar Arası Mesafe
<b>Referans numune</b>	80	15,0	5,2	Ar	22	DC	2 mm
<b>1</b>	85	15,6	5,5	Ar	21	DC	2 mm
<b>2</b>	90	15,8	5,7	Ar	19	DC	2 mm
<b>3</b>	75	15,2	5,0	Ar	27	DC	2 mm
<b>4</b>	70	14,0	4,5	Ar	30	DC	2 mm
<b>5</b>	65	14,4	4,0	Ar	28	DC	2 mm
<b>6</b>	80	16,4	5,2	Ar	23	DC	2 mm
<b>7</b>	80	15,5	5,2	Ar	21	DC	2 mm
<b>8</b>	80	14,0	5,2	Ar	20	DC	2 mm
<b>9</b>	80	14,5	5,2	Ar	21,5	DC	2 mm
<b>10</b>	80	15,8	5,2	Ar	17	DC	2 mm

### 4.3. Deney Numunelerinin Alınması

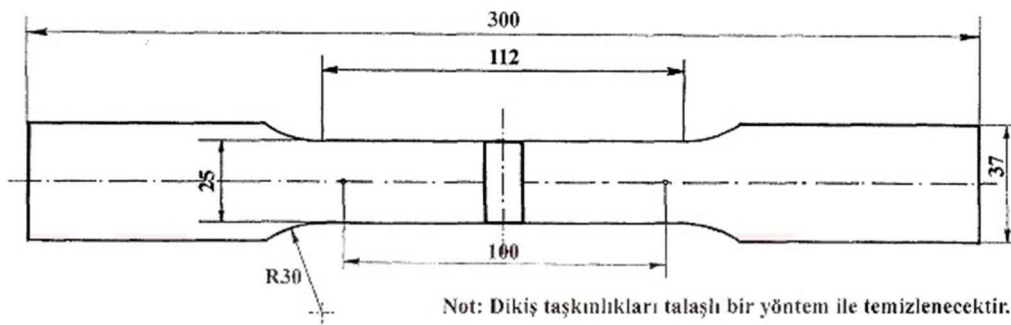
Yapılan çalışmada çekme dayanımı, eğme dayanımı, mikro sertlik, mikro ve makro yapı olmak üzere 5 farklı özellik araştırılmıştır. Deney numuneleri standartlara ve literatüre uygun ölçülerde çekme deneyi, eğme deneyi, mikro sertlik, mikro ve makro yapı için 2 şer tane ana malzemeden numune çıkarılmıştır.

#### 4.3.1. Çekme deneyi numunelerinin hazırlanması

Kaynaklı numuneler çekme deneyi için, Şekil 4.3' de verilen ölçülere uygun olarak her kaynaklı parçadan 2 şer tane kesildi. Deney için ALŞA marka deney cihazı kullanılmış olup çekme hızı 0,5 mm/s seçilmiştir.



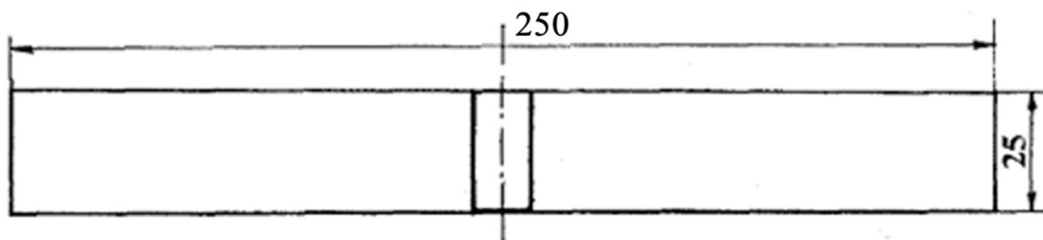
Şekil 4.2. Çekme deneyi makinesi ve çekilen numune



Şekil 4.3. EN 895'e uygun olarak hazırlamış çekmeye deney parçası boyutları

#### 4.3.2. Eğme deneyi numunelerinin hazırlanması

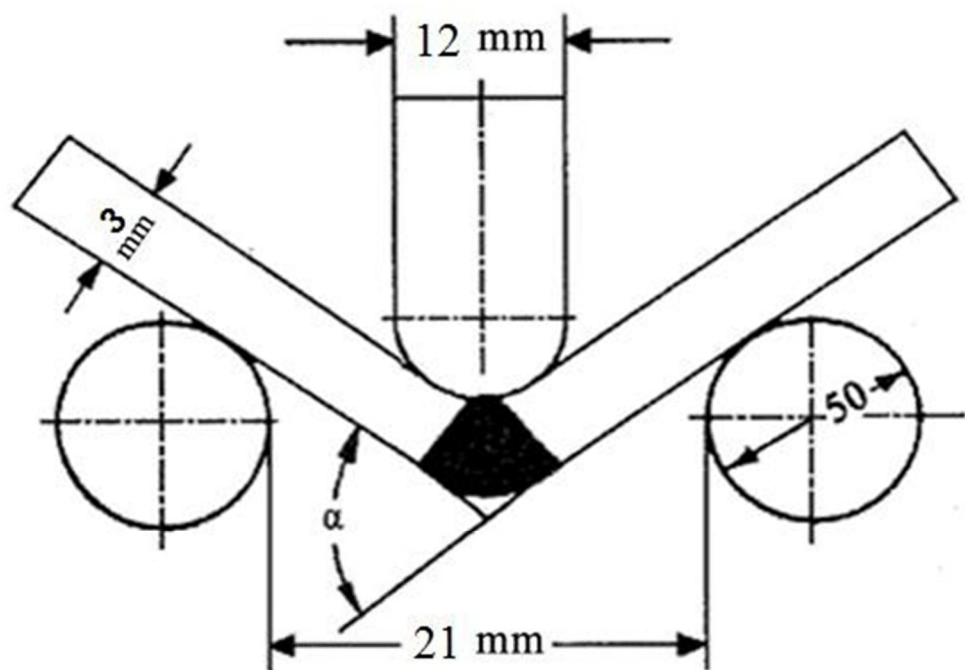
Kaynaklı numuneler eğme deneyi için, Şekil 4.4' de verilen ölçülere uygun olarak her kaynaklı parçadan 2 şer tane kesildi. Deney için ALŞA marka deney cihazı kullanılmış olup basma hızı 0,5 mm/s seçilmiştir.



Şekil 4.4. EN 910'a uygun olarak hazırlamış eğme deney parçası boyutları



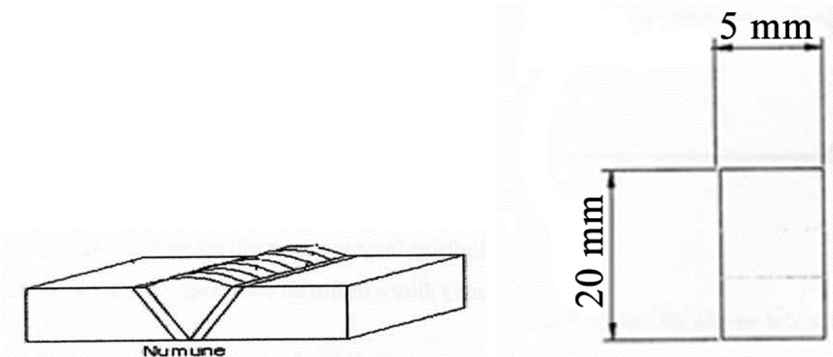
Şekil 4.5. Eğme deney makinesi ve eğilen numune



Şekil 4.6. Kaynak dikişleri eğme deneyi uygulama prensibi

#### 4.3.3. Makro yapı numunelerinin hazırlanması

Makro yapı incelemeleri için her numuneden 2 şer tane olmak üzere kaynak yüzeyinin görülebildiği yerlerden numuneler alınmıştır. Numune ölçüleri şekil 4.7'de gösterilmektedir.



Şekil 4.7. Makro yapı numunelerinin alınmış yönü ve numune örneği

Makro yapı görüntüsü almak sırasıyla zımparalama, parlatma ve dağlama işlemleri gerçekleştirildi. Zımparalama işlemi 60, 80, 120, 180, 320, 400, 500, 800, 1000 ve 1200 numaralı zımpara kağıtları makinenin disklerine takılarak otomatik olarak bol su ile yapıldı. Ardından parlatma işlemine geçildi. Parlatma işlemi için cuha adı verilen bez kumaş makinenin disklerine takıldı. Kumaş diske takıldıktan sonra bez nemlenecek kadar ıslatıldı ardından  $1 \mu$ 'luk alümina pasta ile sırayla tek tek yüzeyde zımpara partikülü çizik vb kalmayınca kadar parlatıldı. Parlatılmış numunelerin mikroskopta makro görüntülerinin alınabilmesi için alüminyum malzemeye özel olan keller dağlayıcı ile malzeme yüzeyleri dağlandı. Kelleri bileşimi aşağıdaki tablo 4.6' da gösterilmiştir.

Tablo 4.6. Keller bileşimi

Yüzde	Bileşim
%3	HNO <sub>3</sub>
%2	HCL
%1	HF
%94	H <sub>2</sub> O

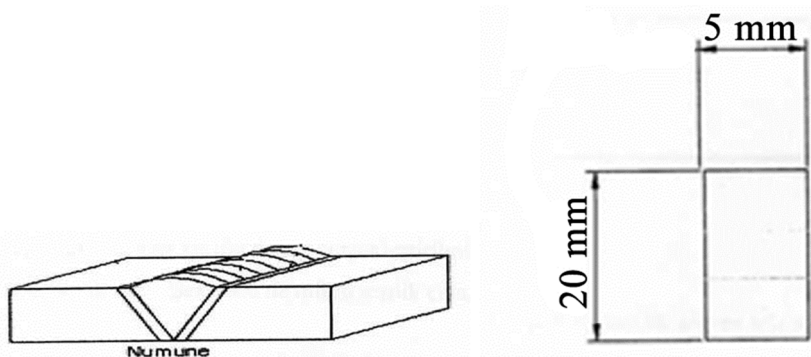
Dağlanan malzemelerin makro yapı fotoğrafları NIKON SMZ800 marka cihazla çekilmiştir.



Şekil 4.8. Makro görüntü alma cihazı

#### 4.3.4. Mikro yapı numunelerinin hazırlanması

Mikro yapı incelemeleri için her numuneden 2 şer tane olmak üzere kaynak yüzeyinin görülebildiği yerlerden numuneler alınmıştır. Numune ölçüleri Şekil 4.9'da gösterilmektedir.



Şekil 4.9. Mikro yapı numunelerinin alınmış yönü ve numune örneği

Makro yapı görüntüsü almak sırasıyla zımparalama, parlatma ve dağlama işlemleri gerçekleştirildi. Zımparalama işlemi 60, 80, 120, 180, 320, 400, 500, 800, 1000 ve 1200 numaralı zımpara kağıtları makinenin disklerine takılarak otomatik olarak bol su ile yapıldı. Ardından parlatma işlemine geçildi. Parlatma işlemi için cuha adı verilen bez kumaş makinenin disklerine takıldı. Kumaş diske takıldıktan sonra bez nemlenecek kadar ıslatıldı ardından 0,3  $\mu$ 'luk alümina pasta ile sırayla tek tek yüzeyde zımpara partikülü çizik vb kalmayıncaya kadar parlatıldı. Parlatılmış numunelerin mikroskopta makro görüntülerinin alınabilmesi için alüminyum malzemeye özel olan keller dağlayıcı ile malzeme yüzeyleri dağılandı. Kelleri bileşimi aşağıdaki Tablo 4.7' de gösterilmiştir.

Tablo 4.7. Keller bileşimi

Yüzde	Bileşim
%25	HNO <sub>3</sub>
%15	HCL
%10	HF
%50	H <sub>2</sub> O

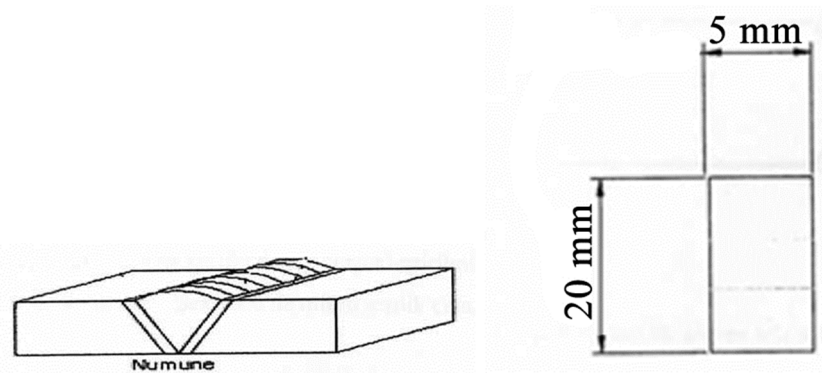
Dağlanan malzemelerin mikro yapı fotoğrafları NIKON SMZ800 marka cihazla çekilmiştir.



Şekil 4.10. Mikro görüntü alma cihazı

#### 4.3.5. Mikro sertlik deney numunelerinin hazırlanması

Mikro sertlik deneyi için her numuneden 2 şer tane olmak üzere numune alınmıştır. Numune ölçüleri Şekil 4.11' de gösterilmektedir

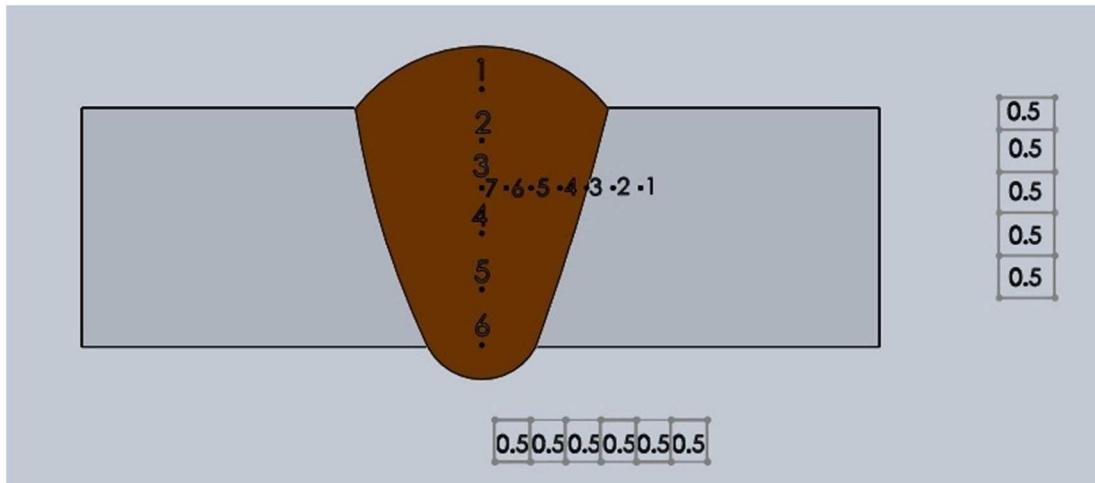


Şekil 4.11. Mikro sertlik numune örneği

Deney numunelerine kaynak yapıldıktan sonra 100 gr ön yük kullanılarak HMV Shimadzu marka mikro sertlik cihazıyla Şekil 4.13'de gösterilen yerlerden sertlik deneyi yapılarak malzemelerin sertlikleri alınmıştır. Şekil 4.12'de mikro sertlik cihazının resimleri görülmektedir.



Şekil 4.12. HMV Shimadzu mikro sertlik cihazı



Şekil 4.13. Sertlik alınan bölgelerin şematik gösterimi

## BÖLÜM 5. DENEYSEL SONUÇLAR

### 5.1. Çekme Deneyi Sonuçları

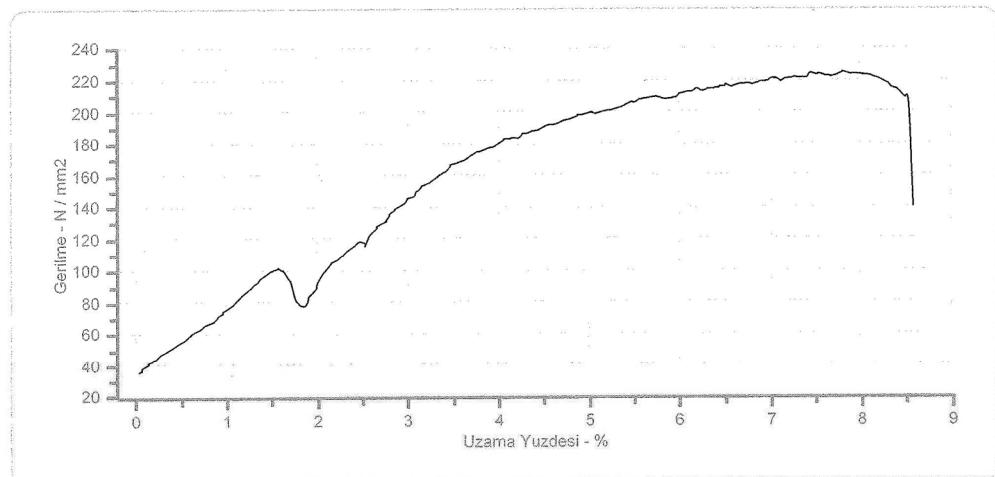
Çekme deneyi tek eksende belirli bir hızda ve sabit sıcaklıkta malzemenin kopuncaya kadar çekilmesidir [10]. Mekanik özelliklerin belirlenmesinde kullanılan test yöntemlerinden biridir. Çekme kuvveti uygulandığında aynı zamanda numunenin uzaması da kaydedilir.

Kaynaklı bağlantılarından çıkarılan çekme numunelerine uygulanan çekme deneyi sonucu elde edilen akma mukavemeti, çekme mukavemeti, uzama miktarı ve kopmanın olduğu yeri belirten sonuçlar Tablo 5.1'de özetlenmiştir.

Tablo 5.1. Numunelerin çekme deney sonuçları

Numune	Akma Mukavemeti	Çekme Mukavemeti	Uzama	Kopmanın Yeri
Referans numune	102	225	8,6	ITAB
1	90	230	7,1	ITAB
2	103	229	8,6	ITAB
3	105	233	8,6	ITAB
4	102	227	5,7	KAYNAK
5	101	226	5,7	KAYNAK
6	87	226	7,1	ITAB
7	104	231	5,6	ITAB
8	102	232	7,1	ITAB
9	96	231	7,1	ITAB
10	101	227	5,7	KAYNAK

## Referans Numunenin Çekme Deney Grafiği



### SONUCLAR

Numune No	Kesit Alanı - mm <sup>2</sup>	L <sub>0</sub> Boyu - mm	L <sub>1</sub> Boyu - mm	ReH N/mm <sup>2</sup>	Rm / Rp02	Rm N/mm <sup>2</sup>
	74.4	70	76	102	1.08	225
Rp0.1 N/mm <sup>2</sup>	Rp0.2 N/mm <sup>2</sup>	Rp0.3 N/mm <sup>2</sup>	Rp0.4 N/mm <sup>2</sup>	Rp0.5 N/mm <sup>2</sup>	Fm KN	Uzama %
208.1	208.46	211.28	212.2	212.84	16.74	8.6

Şekil 5.1. MIG kaynak yöntemiyle 80 amperde argon koruyucu gaz altında kaynak yapılan referans numunenin gerilme uzama grafiği

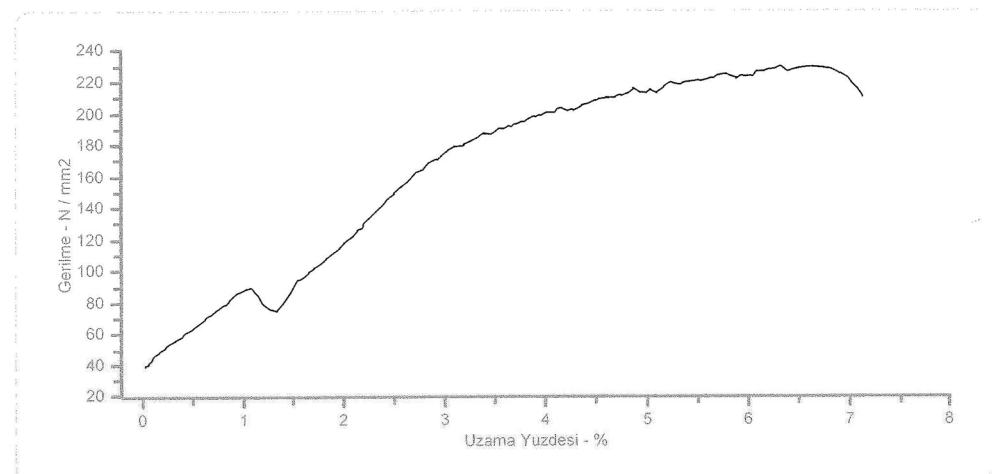
ReH N/mm<sup>2</sup> = Akma Dayanımı

Rm N/mm<sup>2</sup> = Çekme Dayanımı

L<sub>0</sub> = İlk Boy

L<sub>1</sub> = Son Boy

## 1 Numaralı Numunenin Çekme Deney Grafiği



### SONUCLAR

Numune No	Kesit Alanı - mm <sup>2</sup>	L <sub>0</sub> Boyu - mm	L <sub>1</sub> Boyu - mm	ReH N/mm <sup>2</sup>	Rm / Rp02	Rm N/mm <sup>2</sup>
74.1	70	75		90	1.12	230
Rp0.1 N/mm <sup>2</sup>	Rp0.2 N/mm <sup>2</sup>	Rp0.3 N/mm <sup>2</sup>	Rp0.4 N/mm <sup>2</sup>	Rp0.5 N/mm <sup>2</sup>	Fm KN	Uzama %
201.75	204.62	206.03	208.05	207.85	17.02	7.1

Şekil 5.2. MIG kaynak yöntemiyle 85 amperde argon koruyucu gaz altında kaynak yapılan 1 nolu numunenin gerilme uzama grafiği

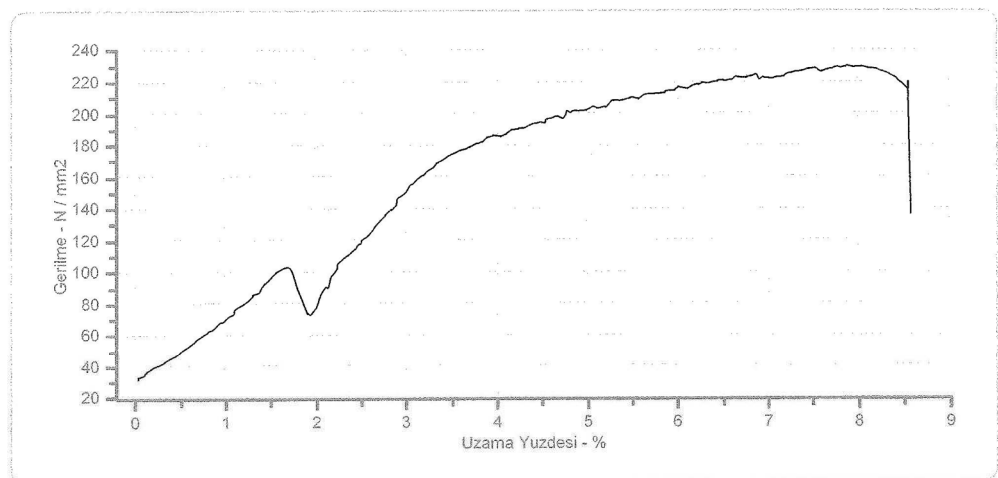
$ReH \text{ N/mm}^2$  = Akma Dayanımı

$Rm \text{ N/mm}^2$  = Çekme Dayanımı

$L_0$  = İlk Boy

$L_1$  = Son Boy

## 2 Numaralı Numunenin Çekme Deney Grafiği



### SONUÇLAR

Numune No	Kesit Alanı - mm <sup>2</sup>	L <sub>0</sub> Boyu - mm	L <sub>1</sub> Boyu - mm	ReH N/mm <sup>2</sup>	Rm / Rp02	Rm N/mm <sup>2</sup>
	75	70	76	103	1.13	229
Rp0.1 N/mm <sup>2</sup>	Rp0.2 N/mm <sup>2</sup>	Rp0.3 N/mm <sup>2</sup>	Rp0.4 N/mm <sup>2</sup>	Rp0.5 N/mm <sup>2</sup>	Fm KN	Uzama %
203.68	203.28	204.28	207.79	208.11	17.25	8.6

Şekil 5.3. MIG kaynak yöntemiyle 90 amperde argon koruyucu gaz altında kaynak yapılan 2 nolu numunenin gerilme uzama grafiği

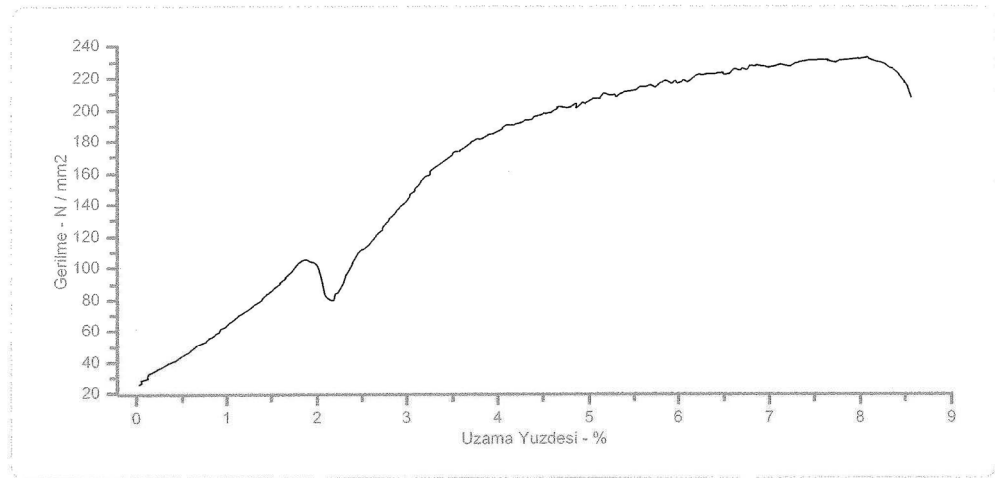
ReH N/mm<sup>2</sup> = Akma Dayanımı

Rm N/mm<sup>2</sup> = Çekme Dayanımı

L<sub>0</sub> = İlk Boy

L<sub>1</sub> = Son Boy

### 3 Numaralı Numunenin Çekme Deney Grafiği



#### SONUCLAR

Numune No	Kesit Alanı - mm <sup>2</sup>	L <sub>0</sub> Boyu - mm	L <sub>1</sub> Boyu - mm	ReH N/mm <sup>2</sup>	Rm / Rp02	Rm N/mm <sup>2</sup>
	75.6	70	76	105	1.13	233
Rp0.1 N/mm <sup>2</sup>	Rp0.2 N/mm <sup>2</sup>	Rp0.3 N/mm <sup>2</sup>	Rp0.4 N/mm <sup>2</sup>	Rp0.5 N/mm <sup>2</sup>	Fm KN	Uzama %
203.76	206.77	206.77	206.89	209.94	17.62	8.6

Şekil 5.4. MIG kaynak yöntemiyle 75 amperde argon koruyucu gaz altında kaynak yapılan 3 nolu numunenin gerilme uzama grafiği

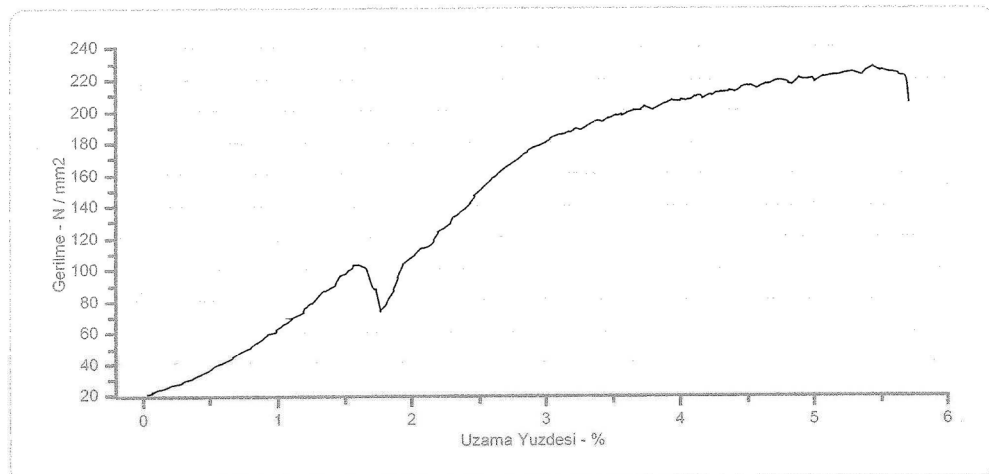
ReH N/mm<sup>2</sup> = Akma Dayanımı

Rm N/mm<sup>2</sup> = Çekme Dayanımı

L<sub>0</sub> = İlk Boy

L<sub>1</sub> = Son Boy

#### 4 Numaralı Numunenin Çekme Deney Grafiği



#### SONUÇLAR

Numune No	Kesit Alanı - mm <sup>2</sup>	L <sub>0</sub> Boyu - mm	L <sub>1</sub> Boyu - mm	ReH N/mm <sup>2</sup>	Rm / Rp02	Rm N/mm <sup>2</sup>
	75	70	74	102	1.11	227
Rp0.1 N/mm <sup>2</sup>	Rp0.2 N/mm <sup>2</sup>	Rp0.3 N/mm <sup>2</sup>	Rp0.4 N/mm <sup>2</sup>	Rp0.5 N/mm <sup>2</sup>	Fm KN	Uzama %
202.68	204.92	206.71	206.19	206.19	17.07	5.7

Şekil 5.5. MIG kaynak yöntemiyle 70 amperde argon koruyucu gaz altında kaynak yapılan 4 nolu numunenin gerilme uzama grafiği

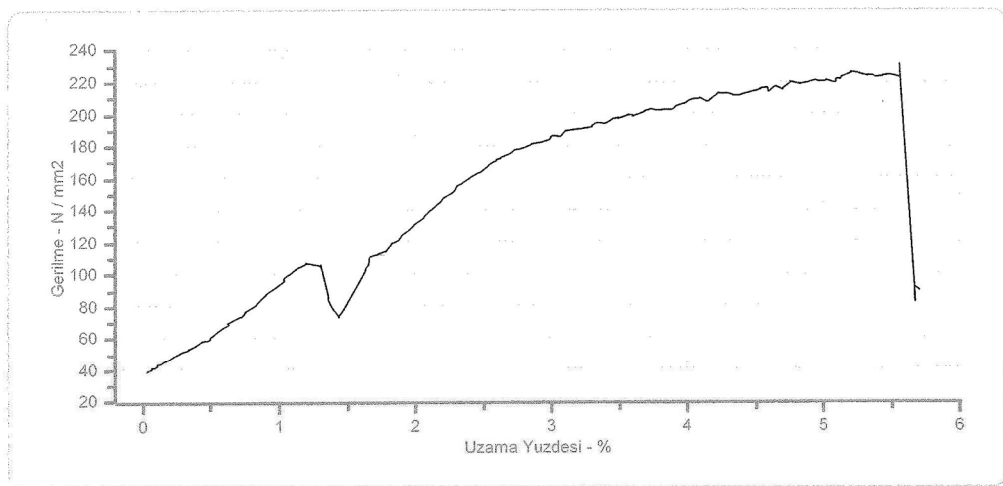
ReH N/mm<sup>2</sup> = Akma Dayanımı

Rm N/mm<sup>2</sup> = Çekme Dayanımı

L<sub>0</sub> = İlk Boy

L<sub>1</sub> = Son Boy

## 5 Numaralı Numunenin Çekme Deney Grafiği



### SONUCLAR

Numune No	Kesit Alanı - mm <sup>2</sup>	L <sub>0</sub> Boyu - mm	L <sub>1</sub> Boyu - mm	ReH N/mm <sup>2</sup>	Rm / Rp02	Rm N/mm <sup>2</sup>
74.4	70	74		101	2.04	226
Rp0.1 N/mm <sup>2</sup>	Rp0.2 N/mm <sup>2</sup>	Rp0.3 N/mm <sup>2</sup>	Rp0.4 N/mm <sup>2</sup>	Rp0.5 N/mm <sup>2</sup>	Fm KN	Uzama %
101.29	110.71	112.28	114.57	118.79	16.8	5.7

Şekil 5.6. MIG kaynak yöntemiyle 65 amperde argon koruyucu gaz altında kaynak yapılan 5 nolu numunenin gerilme uzama grafiği

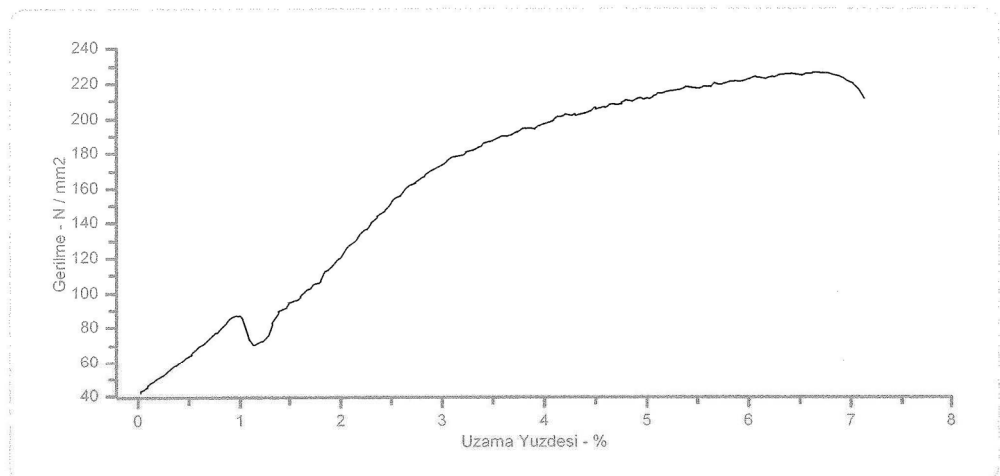
ReH N/mm<sup>2</sup> = Akma Dayanımı

Rm N/mm<sup>2</sup> = Çekme Dayanımı

L<sub>0</sub> = İlk Boy

L<sub>1</sub> = Son Boy

## 6 Numaralı Numunenin Çekme Deney Grafiği



### SONUCLAR

Numune No	Kesit Alanı - mm <sup>2</sup>	L <sub>0</sub> Boyu - mm	L <sub>1</sub> Boyu - mm	ReH N/mm <sup>2</sup>	Rm / Rp02	Rm N/mm <sup>2</sup>
74.1	70	75		87	1.15	226
Rp0.1 N/mm <sup>2</sup>	Rp0.2 N/mm <sup>2</sup>	Rp0.3 N/mm <sup>2</sup>	Rp0.4 N/mm <sup>2</sup>	Rp0.5 N/mm <sup>2</sup>	Fm KN	Uzama %
195.69	197.23	198.44	200.82	200.94	16.75	7.1

Şekil 5.7. MIG kaynak yöntemiyle 80 amperde argon koruyucu gaz altında kaynak yapılan 6 nolu numunenin gerilme uzama grafiği

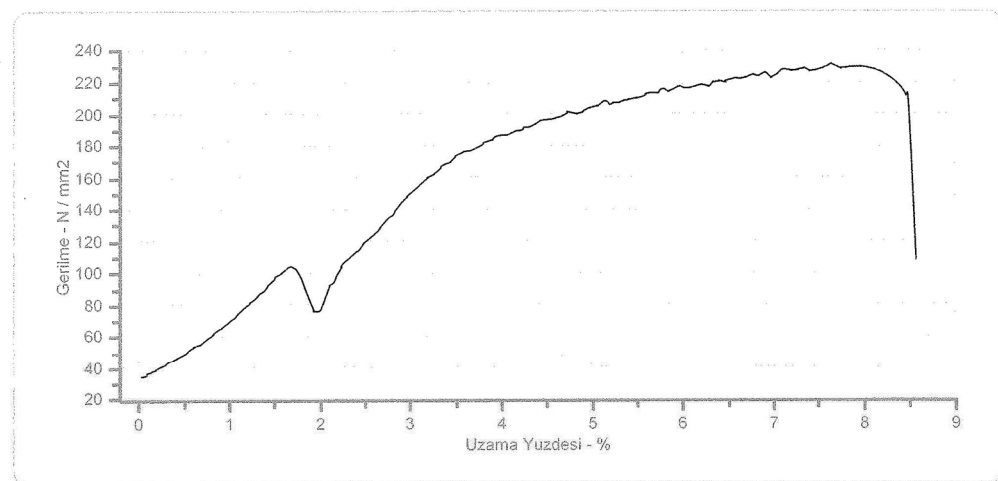
ReH N/mm<sup>2</sup> = Akma Dayanımı

Rm N/mm<sup>2</sup> = Çekme Dayanımı

L<sub>0</sub> = İlk Boy

L<sub>1</sub> = Son Boy

## 7 Numaralı Numunenin Çekme Deney Grafiği



### SONUCLAR

Numune No	Kesit Alanı - mm <sup>2</sup>	L <sub>0</sub> Boyu - mm	L <sub>1</sub> Boyu - mm	ReH N/mm <sup>2</sup>	Rm / Rp02	Rm N/mm <sup>2</sup>
	74.4	70	76	104	2.18	231
Rp0.1 N/mm <sup>2</sup>	Rp0.2 N/mm <sup>2</sup>	Rp0.3 N/mm <sup>2</sup>	Rp0.4 N/mm <sup>2</sup>	Rp0.5 N/mm <sup>2</sup>	Fm KN	Uzama %
98.56	106.32	111.03	113.68	114.17	17.24	8.6

Şekil 5.8. MIG kaynak yöntemiyle 80 amperde argon koruyucu gaz altında kaynak yapılan 7 nolu numunenin gerilme uzama grafiği

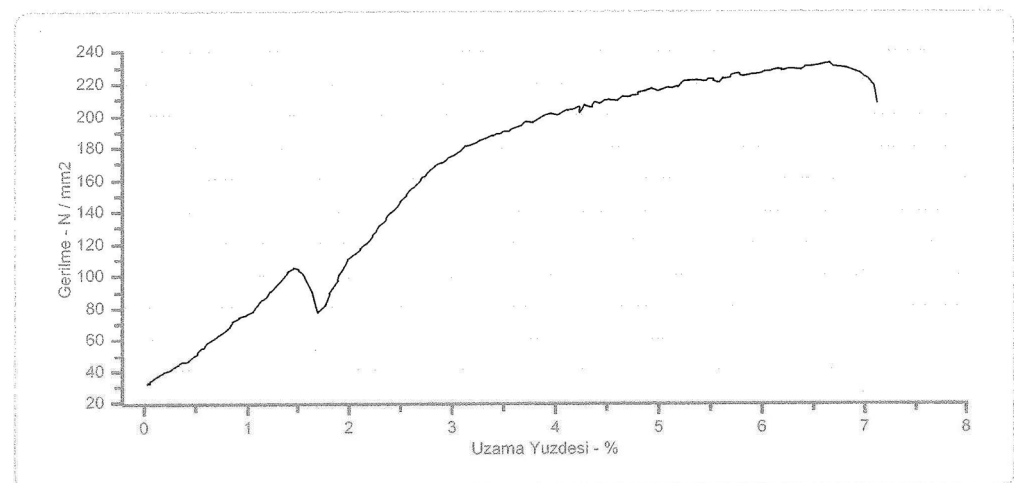
$\text{ReH N/mm}^2$  = Akma Dayanımı

$\text{Rm N/mm}^2$  = Çekme Dayanımı

$L_0$  = İlk Boy

$L_1$  = Son Boy

## 8 Numaralı Numunenin Çekme Deney Grafiği



### SONUCLAR

Numune No	Kesit Alanı - mm <sup>2</sup>	L <sub>0</sub> Boyu - mm	L <sub>1</sub> Boyu - mm	ReH N/mm <sup>2</sup>	Rm / Rp02	Rm N/mm <sup>2</sup>
74.4	70	75		102	1.14	232
Rp0.1 N/mm <sup>2</sup>	Rp0.2 N/mm <sup>2</sup>	Rp0.3 N/mm <sup>2</sup>	Rp0.4 N/mm <sup>2</sup>	Rp0.5 N/mm <sup>2</sup>	Fm KN	Uzama %
206.29	205.04	208.14	209.59	209.46	17.32	7.1

Şekil 5.9. MIG kaynak yöntemiyle 80 amperde argon koruyucu gaz altında kaynak yapılan 8 nolu numunenin gerilme uzama grafiği

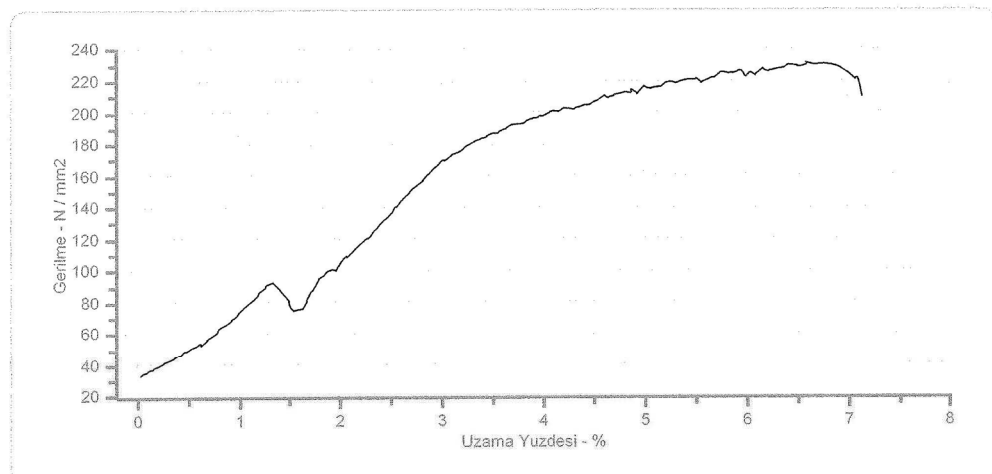
$\text{ReH N/mm}^2$  = Akma Dayanımı

$\text{Rm N/mm}^2$  = Çekme Dayanımı

$L_0$  = İlk Boy

$L_1$  = Son Boy

### 9 Numaralı Numunenin Çekme Deney Grafiği



#### SONUCLAR

Numune No	Kesit Alanı - mm <sup>2</sup>	L <sub>0</sub> Boyu - mm	L <sub>1</sub> Boyu - mm	ReH N/mm <sup>2</sup>	Rm / Rp02	Rm N/mm <sup>2</sup>
	71.4	70	75	96	1.13	231
Rp0.1 N/mm <sup>2</sup>	Rp0.2 N/mm <sup>2</sup>	Rp0.3 N/mm <sup>2</sup>	Rp0.4 N/mm <sup>2</sup>	Rp0.5 N/mm <sup>2</sup>	Fm KN	Uzama %
204.64	204.73	206.57	207.54	210.26	16.51	7.1

Şekil 5.10. MIG kaynak yöntemiyle 80 amperde argon koruyucu gaz altında kaynak yapılan 9 nolu numunenin gerilme uzama grafiği

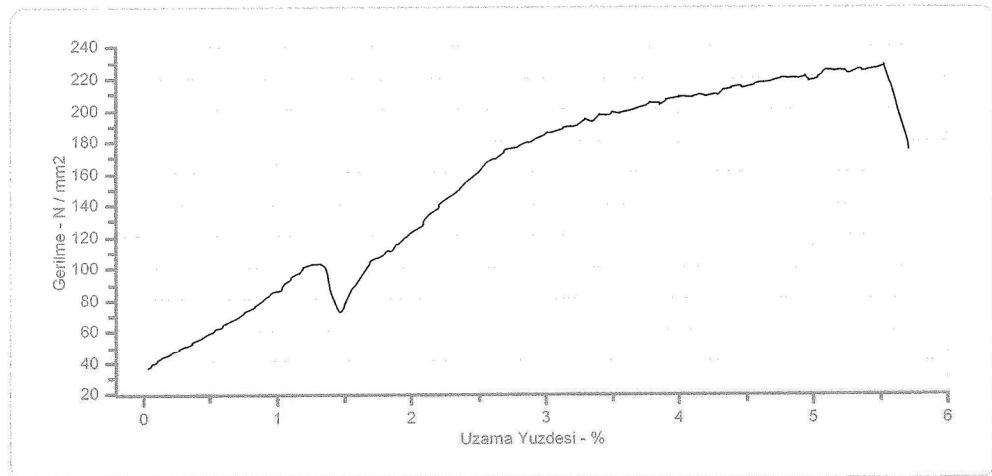
ReH N/mm<sup>2</sup> = Akma Dayanımı

Rm N/mm<sup>2</sup> = Çekme Dayanımı

L<sub>0</sub> = İlk Boy

L<sub>1</sub> = Son Boy

## 10 Numaralı Numunenin Çekme Deney Grafiği



### SONUCLAR

Numune No	Kesit Alanı - mm <sup>2</sup>	L <sub>0</sub> Boyu - mm	L <sub>1</sub> Boyu - mm	ReH N/mm <sup>2</sup>	Rm / Rp02	Rm N/mm <sup>2</sup>
	72.9	70	74	101	1.1	227
Rp0.1 N/mm <sup>2</sup>	Rp0.2 N/mm <sup>2</sup>	Rp0.3 N/mm <sup>2</sup>	Rp0.4 N/mm <sup>2</sup>	Rp0.5 N/mm <sup>2</sup>	Fm KN	Uzama %
205.07	207.41	208.03	207.95	207.95	16.6	5.7

Şekil 5.11. MIG kaynak yöntemiyle 80 amperde argon koruyucu gaz altında kaynak yapılan 10 nolu numunenin gerilme uzama grafiği

ReH N/mm<sup>2</sup> = Akma Dayanımı

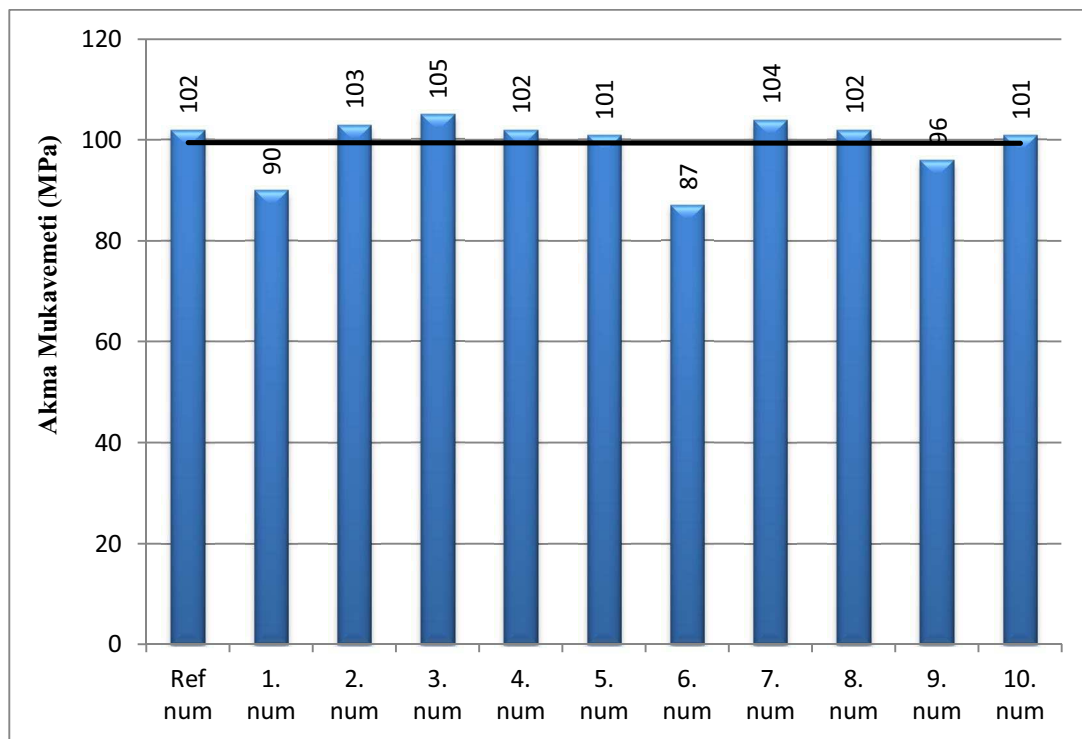
Rm N/mm<sup>2</sup> = Çekme Dayanımı

L<sub>0</sub> = İlk Boy

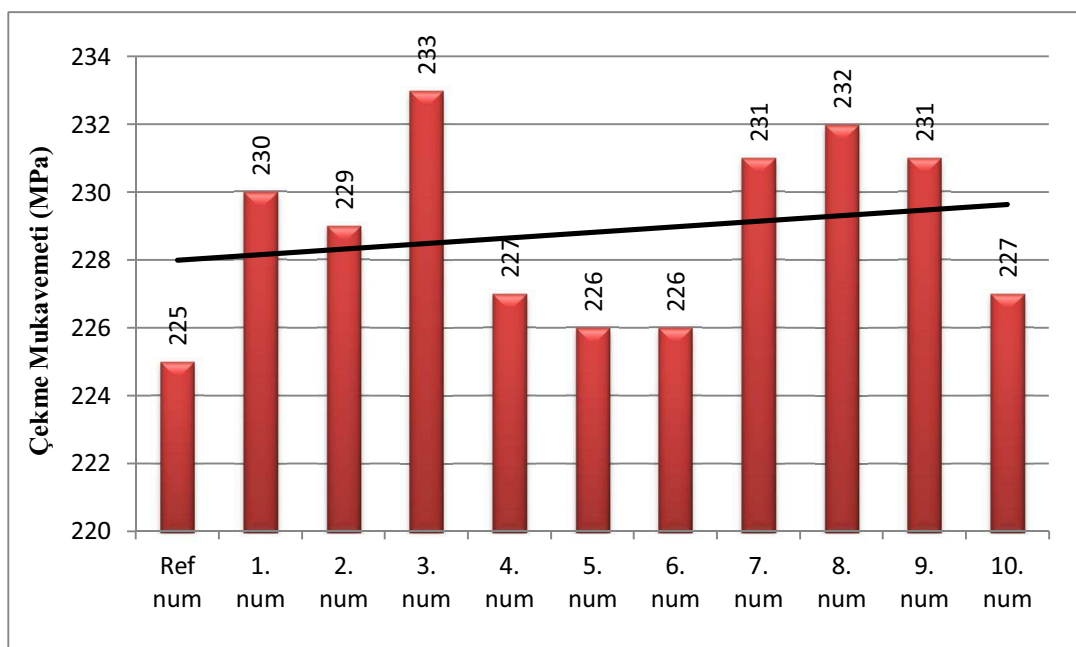
L<sub>1</sub> = Son Boy

Akma mukavemetindeki sonuçlara bakıldığından optimum akma değerine göre değerlerde fazla bir değişme söz konusu değildir. Bunun sebebi olarak tel hızının yakın değerlerde seçilmiş olabileceği muhtemeldir. Yapılan literatür taramalarına göre tel hızını bariz azaltmak veya artırmak malzemenin akma mukavemetini düşürmektedir. [11]

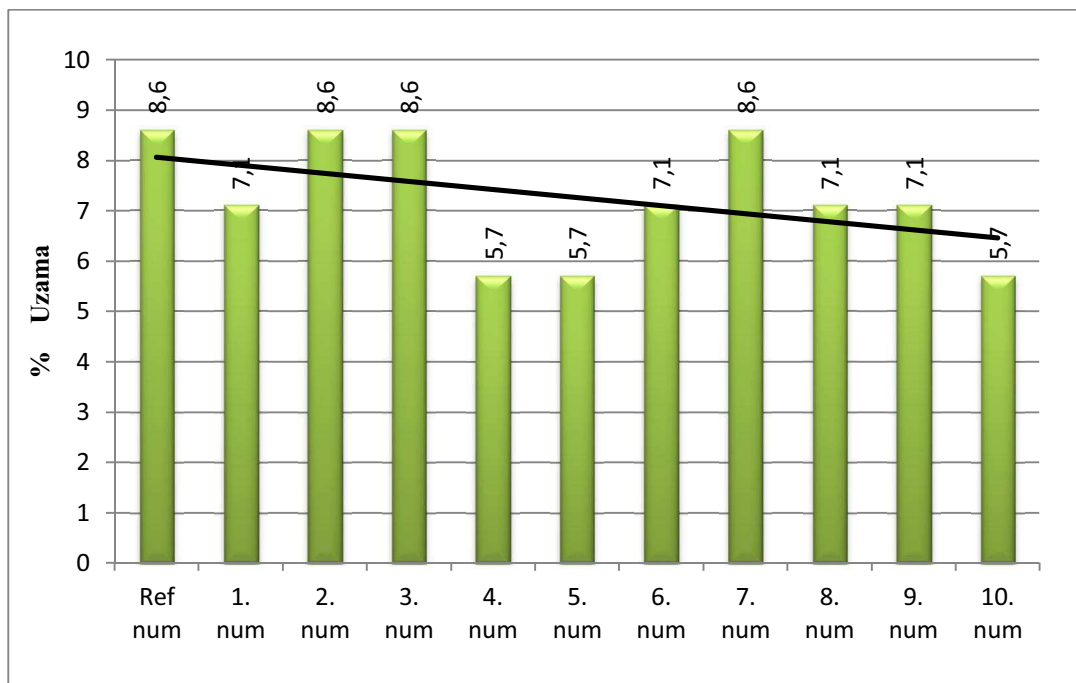
Çekme mukavemeti sonuçlarına bakıldığından kaynak gerilimini belirli bir değerde azalttığımızda veya artırdığımızda mukavemetin artması yönünde bir sonuç elde edilmesiyle beraber kaynak gerilimi parametresi de uygun değerlerde seçildiği için numunelerin çekme mukavemetlerinde sürekli bir artış tespit edilmiştir. Bununla beraber tel hızının da çekme mukavemetine etkisi göz ardı edilmemelidir. Şöyle ki tel hızı artışından dolayı kaynak dikişinde biriken ilave metalin çekme mukavemetine olumlu etkisi vardır.



Şekil 5.12. Numunelerin akma dayanımları



Şekil 5.13. Numunelerin çekme dayanımları



Şekil 5.14. Numunelerin % uzamaları

Yüzde uzama sonuçlarına baktığımızda kaynak gerilimini 0,5 V gibi kısa bir aralıkta değiştirdiğimizde yüzde uzamada pozitif yönde etki yaptığı görülmüştür. Fakat değerleri biraz daha azalttığımızda veya artttırdığımızda uzama değerleri tersine dönmüş azalmaya başlamıştır. Tel hızında ise azalmayla birlikte yüzde uzama artmış tel hızını artttırdığımızda uzamada azalma görülmüştür. Bunun sebebi tel hızı arttıkça daha fazla kaynak metali girdisinden dolayı kaynak bölgesinde bir yığılma meydana gelmiş bu ise bu bölgede malzeme bir sertlik meydana getirmiştir. Kaynak akımının azaltılması veya arttırılması sonucunda yüzde uzamada azalma meydana gelmiştir.



Şekil 5.15. Kopan numuneler 1 - 5



Şekil 5.16. Kopan numuneler 6 – 10

### 5.1.1. Elastik modül hesap sonuçları

Referans Numune İçin

$$E = \frac{\sqrt{A}}{e} \quad E = \frac{102}{\frac{76 - 70}{70}} = 1190 \text{ N/mm}^2 \quad (5.1)$$

1.Numune İçin

$$E = \frac{\sqrt{A}}{e} \quad E = \frac{90}{\frac{75 - 70}{70}} = 1260 \text{ N/mm}^2 \quad (5.2)$$

2.Numune İçin

$$E = \frac{\sqrt{A}}{e} \quad E = \frac{103}{\frac{76 - 70}{70}} = 1201 \text{ N/mm}^2 \quad (5.3)$$

3.Numune İçin

$$E = \frac{\sqrt{A}}{e} \quad E = \frac{105}{\frac{76 - 70}{70}} = 1225 \text{ N/mm}^2 \quad (5.4)$$

4.Numune İçin

$$E = \frac{\sqrt{A}}{e} \quad E = \frac{102}{\frac{74 - 70}{70}} = 1785 \text{ N/mm}^2 \quad (5.5)$$

5.Numune İçin

$$E = \frac{\sqrt{A}}{e} \quad E = \frac{101}{\frac{74 - 70}{70}} = 1767 \text{ N/mm}^2 \quad (5.6)$$

6.Numune İçin

$$E = \frac{\sqrt{A}}{e} \quad E = \frac{87}{\frac{75 - 70}{70}} = 1218 \text{ N/mm}^2 \quad (5.7)$$

7.Numune İçin

$$E = \frac{\sqrt{A}}{e} \quad E = \frac{104}{\frac{76 - 70}{70}} = 1213 \text{ N/mm}^2 \quad (5.8)$$

8.Numune İçin

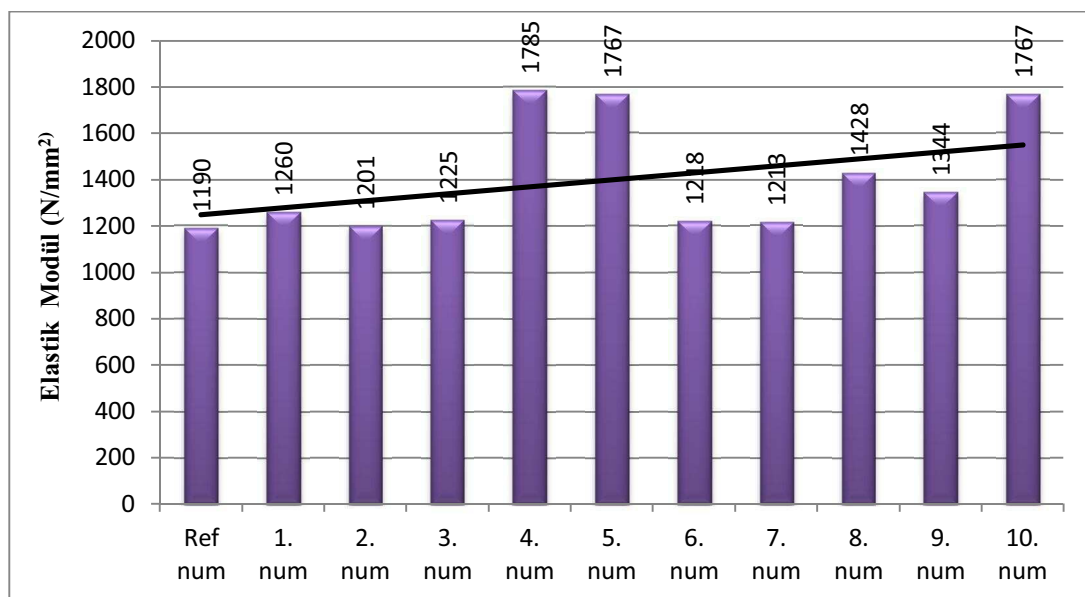
$$E = \frac{\sqrt{A}}{e} \quad E = \frac{102}{\frac{75 - 70}{70}} = 1428 \text{ N/mm}^2 \quad (5.9)$$

9.Numune İçin

$$E = \frac{\sqrt{A}}{e} \quad E = \frac{96}{\frac{75 - 70}{70}} = 1344 \text{ N/mm}^2 \quad (5.10)$$

## 10.Numune İçin

$$E = \frac{\sqrt{A}}{e} \quad E = \frac{101}{\frac{74 - 70}{70}} = 1767 \text{ N/mm}^2 \quad (5.11)$$



Şekil 5.17. Elastik modül hesaplarının grafiği

### 5.1.2. Rezilyans modül hesap sonuçları

Referans Numune İçin

$$U_R = \frac{\sigma_A^2}{2E} \quad U_R = \frac{(102)^2}{2 \times 1190} = 6,190 \text{ N/mm}^2 \quad (5.12)$$

1.Numune İçin

$$U_R = \frac{\sigma_A^2}{2E} \quad U_R = \frac{(90)^2}{2 \times 1260} = 5,103 \text{ N/mm}^2 \quad (5.13)$$

2.Numune İçin

$$U_R = \frac{\sigma_A^2}{2E} \quad U_R = \frac{(103)^2}{2 \times 1201} = 6,370 \text{ N/mm}^2 \quad (5.14)$$

3.Numune İçin

$$U_R = \frac{\sigma_A^2}{2E} \quad U_R = \frac{(105)^2}{2 \times 1225} = 6,752 \text{ N/mm}^2 \quad (5.15)$$

4.Numune İçin

$$U_R = \frac{\sigma_A^2}{2E} \quad U_R = \frac{(102)^2}{2 \times 1785} = 9,285 \text{ N/mm}^2 \quad (5.16)$$

5.Numune İçin

$$U_R = \frac{\sigma_A^2}{2E} \quad U_R = \frac{(101)^2}{2 \times 1767} = 9,012 \text{ N/mm}^2 \quad (5.17)$$

6.Numune İçin

$$U_R = \frac{\sigma_A^2}{2E} \quad U_R = \frac{(87)^2}{2 \times 1218} = 4,609 \text{ N/mm}^2 \quad (5.18)$$

7.Numune İçin

$$U_R = \frac{\sigma_A^2}{2E} \quad U_R = \frac{(104)^2}{2 \times 1213} = 6,559 \text{ N/mm}^2 \quad (5.19)$$

8.Numune İçin

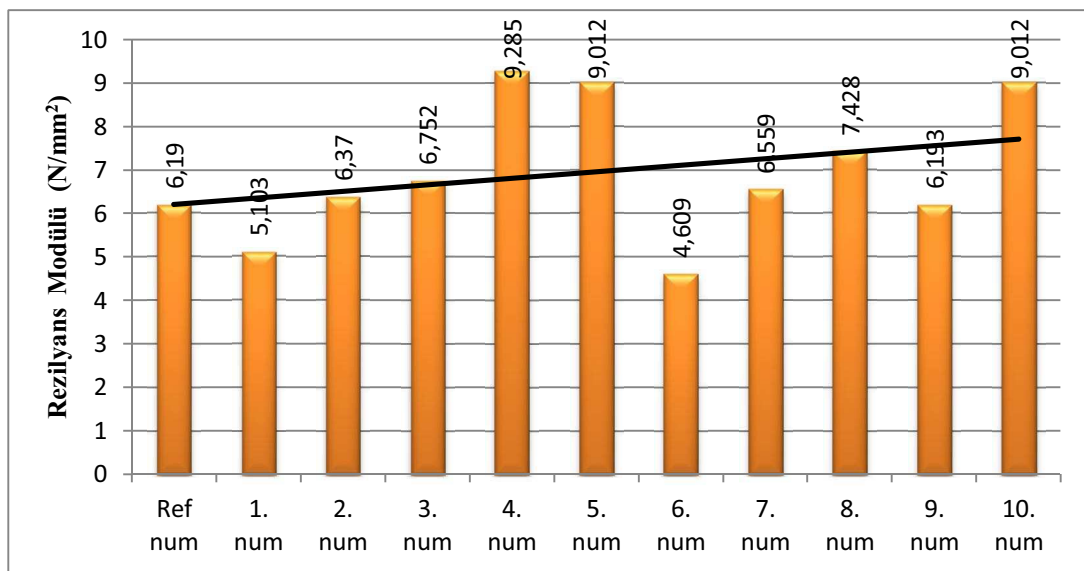
$$U_R = \frac{\sigma_A^2}{2E} \quad U_R = \frac{(102)^2}{2 \times 1428} = 7,428 \text{ N/mm}^2 \quad (5.20)$$

9.Numune İçin

$$U_R = \frac{\sigma_A^2}{2E} \quad U_R = \frac{(96)^2}{2 \times 1344} = 6,193 \text{ N/mm}^2 \quad (5.21)$$

10.Numune İçin

$$U_R = \frac{\sigma_A^2}{2E} \quad U_R = \frac{(101)^2}{2 \times 1767} = 9,012 \text{ N/mm}^2 \quad (5.22)$$



Şekil 5.18. Rezilyans modül hesapları grafiği

### 5.1.3. Tokluk hesabı sonuçları

Referans Numune İçin

$$\text{Tokluk} = \int_0^{\text{ek}} \sigma_m \cdot de \quad \text{Tokluk} = \int_0^{0,08} 213 \cdot de = 17,04 \text{ N/mm}^2 \quad (5.23)$$

1.Numune İçin

$$\text{Tokluk} = \int_0^{\text{ek}} \sigma_m \cdot de \quad \text{Tokluk} = \int_0^{0,07} 210 \cdot de = 14,7 \text{ N/mm}^2 \quad (5.24)$$

2.Numune İçin

$$\text{Tokluk} = \int_0^{\text{ek}} \sigma_m \cdot de \quad \text{Tokluk} = \int_0^{0,08} 217 \cdot de = 17,36 \text{ N/mm}^2 \quad (5.25)$$

3.Numune İçin

$$\text{Tokluk} = \int_0^{\text{ek}} \sigma_m \cdot de \quad \text{Tokluk} = \int_0^{0,08} 205 \cdot de = 16,4 \text{ N/mm}^2 \quad (5.26)$$

4.Numune İçin

$$\text{Tokluk} = \int_0^{\text{ek}} \sigma_m \cdot de \quad \text{Tokluk} = \int_0^{0,05} 220 \cdot de = 11,0 \text{ N/mm}^2 \quad (5.27)$$

5.Numune İçin

$$\text{Tokluk} = \int_0^{\text{ek}} \sigma_m \cdot de \quad \text{Tokluk} = \int_0^{0,05} 222 \cdot de = 11,1 \text{ N/mm}^2 \quad (5.28)$$

6.Numune İçin

$$\text{Tokluk} = \int_0^{\text{ek}} \sigma_m \cdot de \quad \text{Tokluk} = \int_0^{0,07} 212 \cdot de = 14,84 \text{ N/mm}^2 \quad (5.29)$$

7.Numune İçin

$$\text{Tokluk} = \int_0^{\text{ek}} \sigma_m \cdot de \quad \text{Tokluk} = \int_0^{0,08} 210 \cdot de = 16,8 \text{ N/mm}^2 \quad (5.30)$$

8.Numune İçin

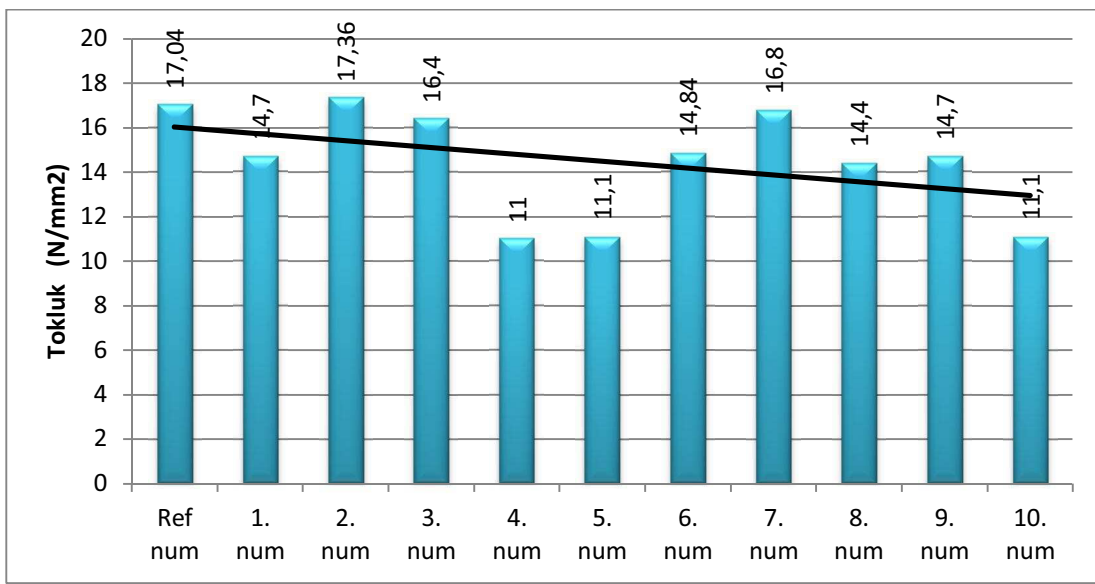
$$\text{Tokluk} = \int_0^{\text{ek}} \sigma_m \cdot de \quad \text{Tokluk} = \int_0^{0,07} 206 \cdot de = 14,4 \text{ N/mm}^2 \quad (5.31)$$

9.Numune İçin

$$\text{Tokluk} = \int_0^{\text{ek}} \sigma_m \cdot de \quad \text{Tokluk} = \int_0^{0,07} 210 \cdot de = 14,7 \text{ N/mm}^2 \quad (5.32)$$

## 10.Numune İçin

$$\text{Tokluk} = \int_0^{\text{ek}} \sigma_m \cdot de \quad \text{Tokluk} = \int_0^{0,05} 223 \cdot de = 11,1 \text{ N/mm}^2 \quad (5.33)$$



Şekil 5.19. Tokluk hesapları grafiği

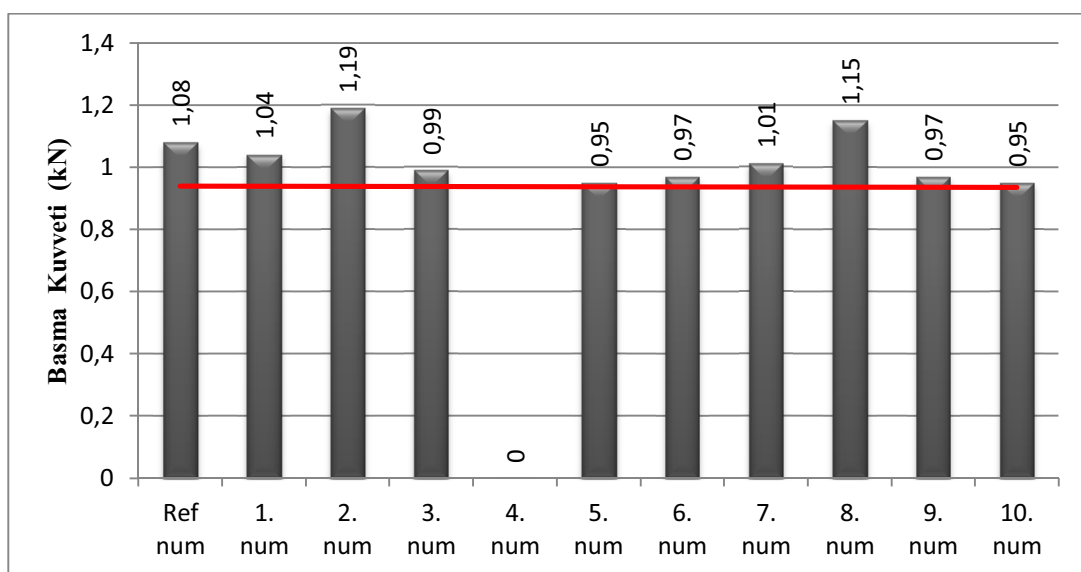
**5.2. Eğme Deneyi Sonuçları**

Eğme deneyi üç noktadan yükün binmesiyle belirli bir hızla ve sabit sıcaklıkta tek noktadan basılmasıdır [10]. Mekanik özelliklerin belirlenmesinde kullanılan test yöntemlerinden biridir. Bu deney bize malzemenin eğmeye karşı gösterdiği davranış dayanımını verecektir.

Yapılan deneylerin hiçbirinde çatlama görülmemiştir. Tablo 5.5 ve Tablo 5.7'de eğme deneyi sonucunda numunelerin eğme dayanımları verilmiştir.

Tablo 5.2. Numunelerin eğme deneyi (Kep) sonucu eğme dayanımları

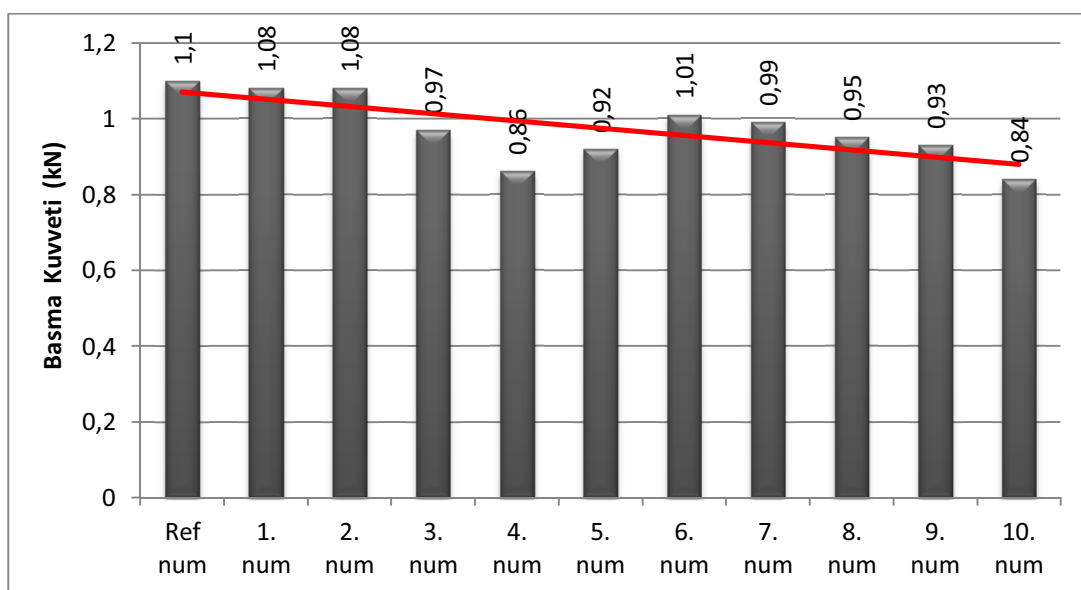
	Kep Eğme (Yüzey)		
	Basma Kuvveti (kN)	Max. Gerilme	Uzama
Referans N.	1,08	1,62	4,50
1	1,04	1,58	4,95
2	1,19	1,73	5,10
3	0,99	1,55	5,56
4	-	-	
5	0,95	1,49	5,00
6	0,97	1,52	4,10
7	1,01	1,58	4,25
8	1,15	1,80	4,25
9	0,97	1,52	4,81
10	0,95	1,49	5,00



Şekil 5.20. Eğme deneyi (Kep) sonuçları grafiği

Tablo 5.3. Numunelerin eğme deneyi (Kök) sonucu eğme dayanımları

	Kök Eğme (Sakal)		
	Basma Kuvveti (kN)	Max. Gerilme	Uzama
Referans N.	1,10	1,75	4,40
1	1,08	1,69	4,35
2	1,08	1,69	4,31
3	0,97	1,52	5,69
4	0,86	1,35	5,00
5	0,92	1,44	5,68
6	1,01	1,58	4,15
7	0,99	1,55	4,21
8	0,95	1,49	4,17
9	0,93	1,47	4,91
10	0,84	1,32	4,82



Şekil 5.21. Eğme deneyi (Kök) sonuçları grafiği

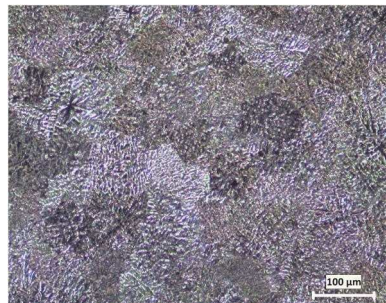


Şekil 5.22. Eğme deneyine tabi tutulmuş numuneler

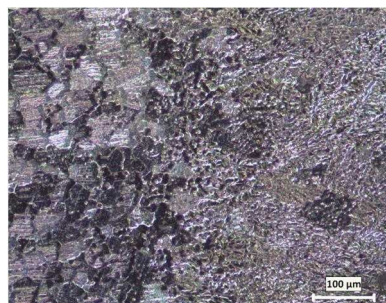
Eğme sonuçlarına bakıldığından toplam 11 numune incelendiğinde amper değerindeki değişimler eğme sonuçların da olumlu bir etki yaptığı açık bir şekilde fark edilmiştir. Diğer kaynak parametrelerinde ise kaynak gerilimi de genelde pozitif etki yapıp basma kuvvetini arttırmış fakat tel hızı değişimi basma kuvvetinde olumsuz bir etki yapmıştır. Yapılan eğme deneyi sonucunda kep ve kök eğmelerinde tüm numunelerin yüzeyinde çatlamaya rastlanılmamıştır. Yalnız 4 numaralı numunenin kep eğmesinde deney parçası kaynaklı bölgeden kırılmıştır. Bunun nedeni ise alınan numunenin kaynak bölgesinde gözenekli yapı oluşmuş olması muhtemeldir.

### 5.3. Mikro Yapı İncelemeleri

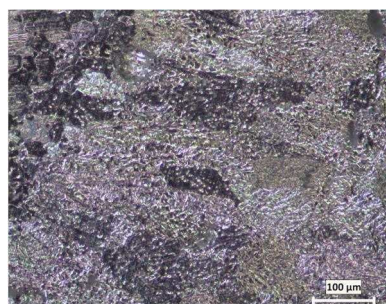
Numunelerin mikro yapı görüntüleri 100X büyütme ile yapılmış olup aşağıdaki şekillerde gösterilmiştir.



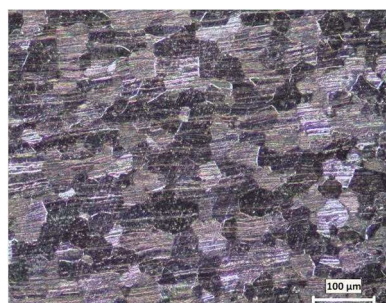
Kaynak Metali (100X)



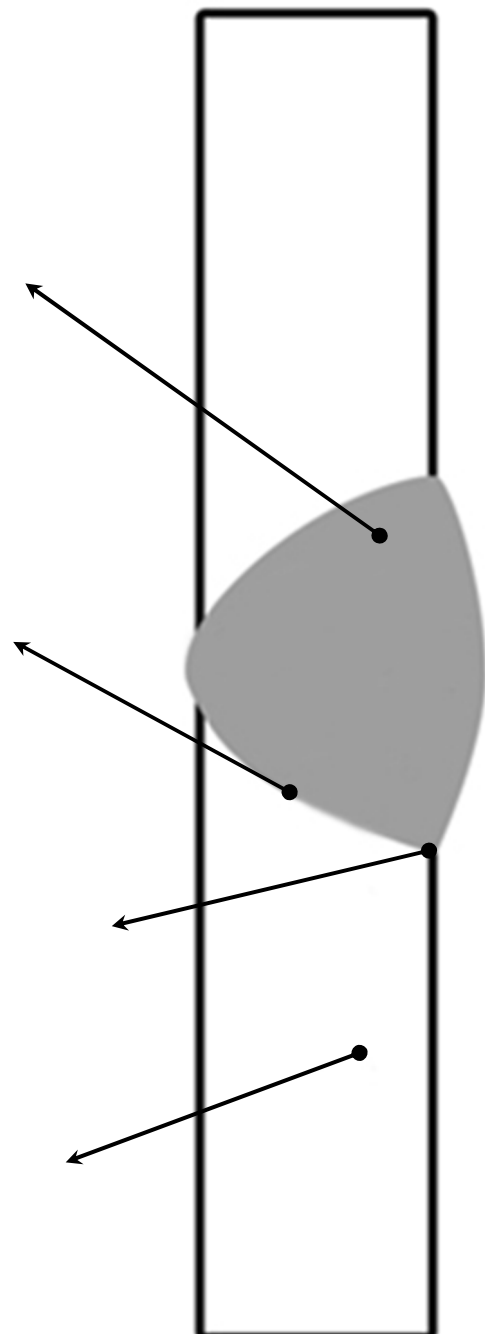
Geçiş Bölgesi (100X)



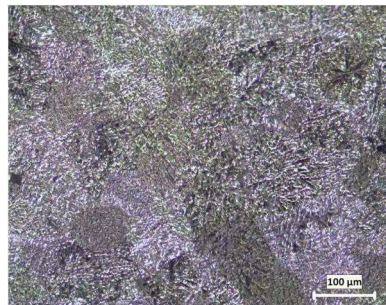
ITAB da Tane İrileşmesi (100X)



Ana Malzeme (100X)



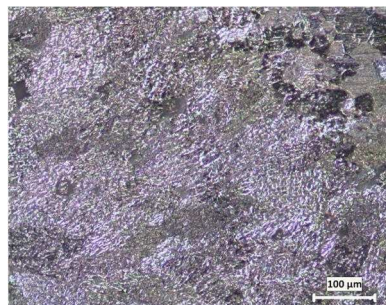
Şekil 5.23. Referans numunenin mikro yapı inceleme fotoğrafları



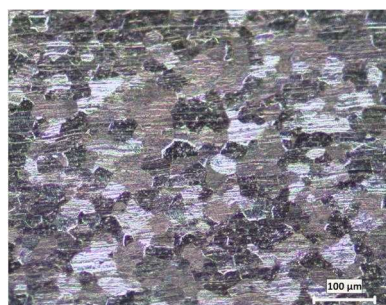
Kaynak Metali (100X)



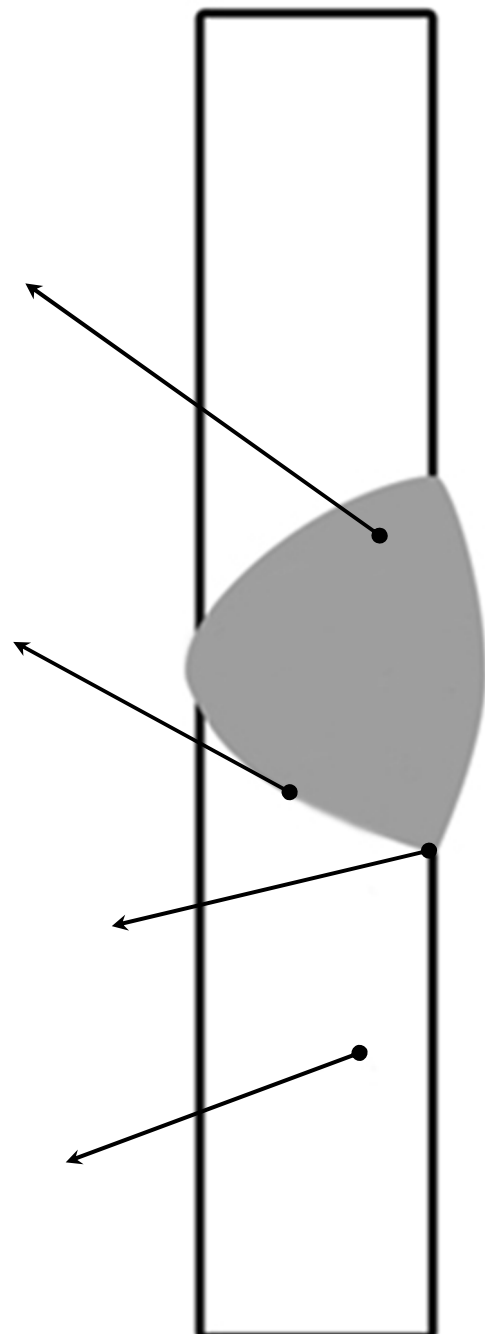
Geçiş Bölgesi (100X)



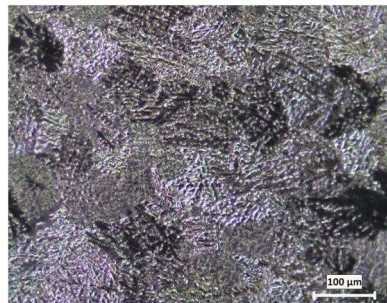
ITAB da Tane İrileşmesi (100X)



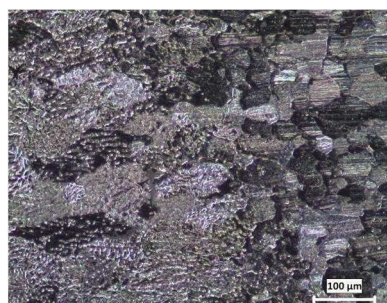
Ana Malzeme (100X)



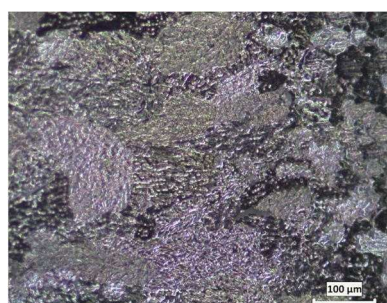
Şekil 5. 24. 1 numaralı numunenin mikro yapı inceleme fotoğrafları



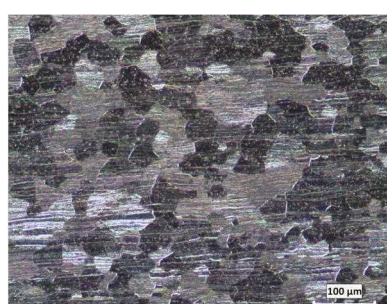
Kaynak Metali (100X)



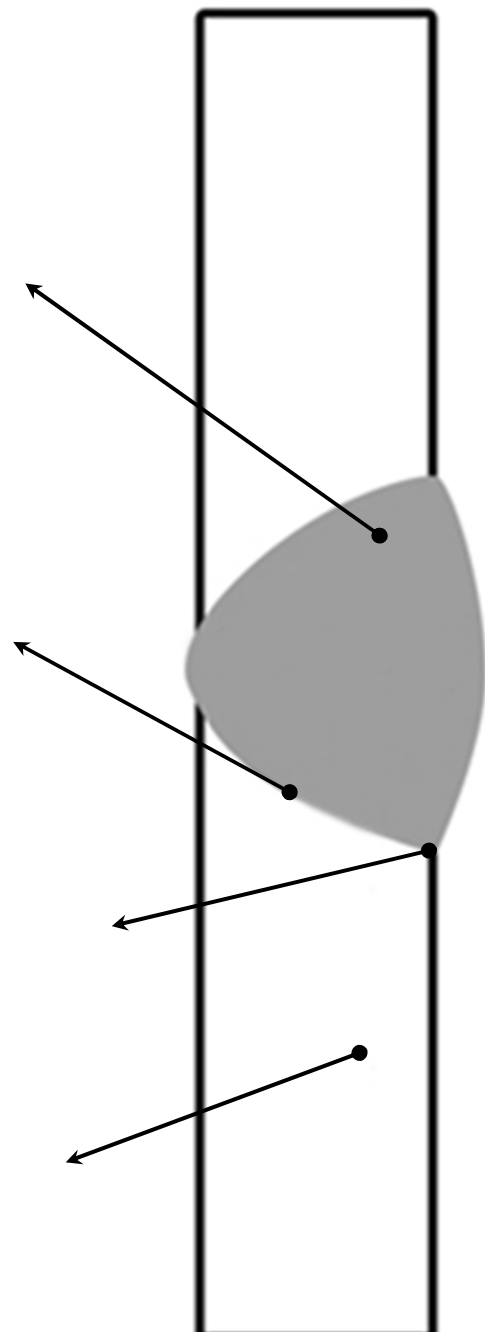
Geçiş Bölgesi (100X)



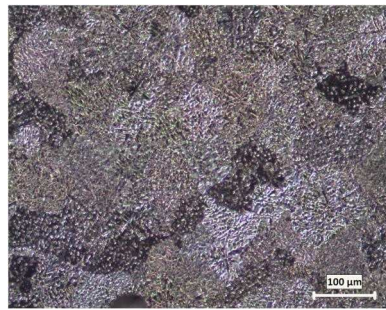
ITAB da Tane İrileşmesi (100X)



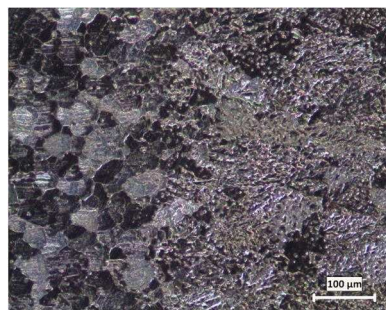
Ana Malzeme (100X)



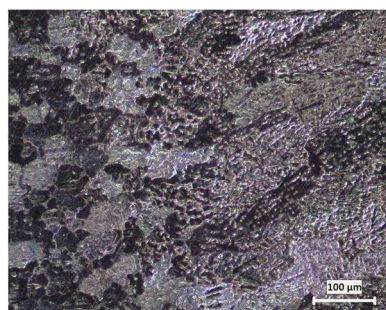
Şekil 5.25. 2 numaralı numunenin mikro yapı inceleme fotoğrafları



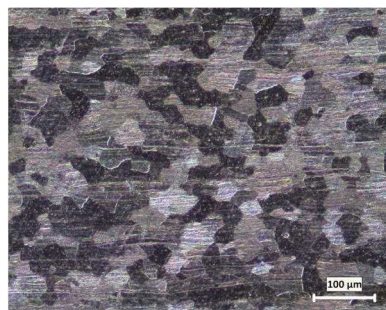
Kaynak Metali (100X)



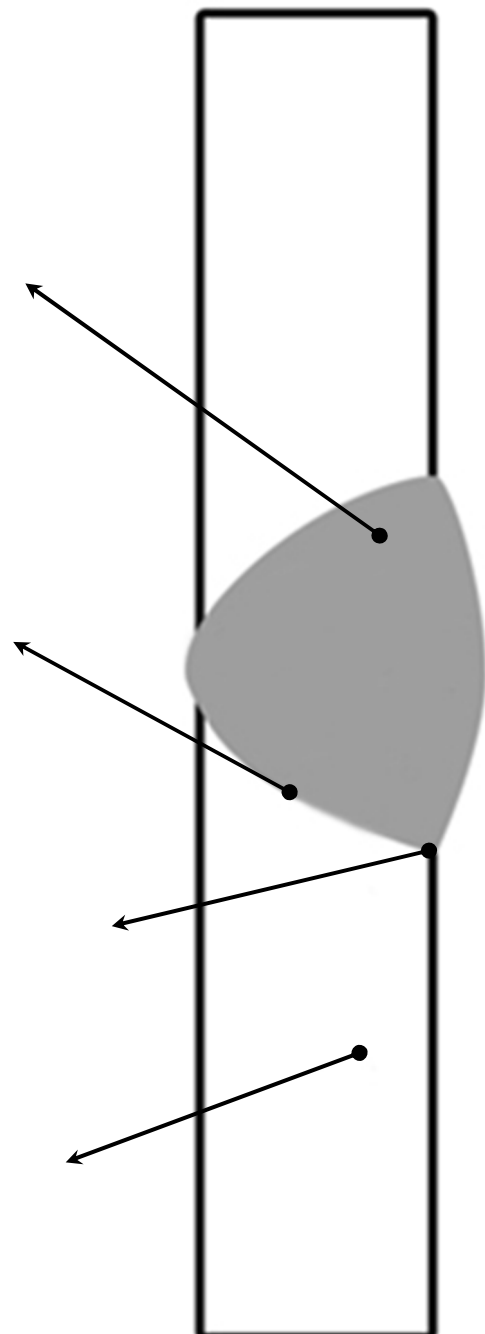
Geçiş Bölgesi (100X)



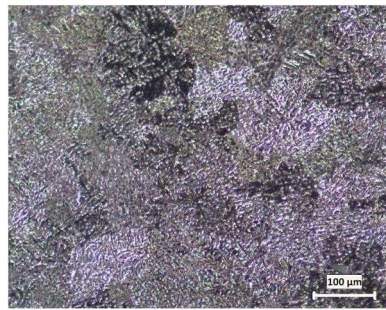
ITAB da Tane İrileşmesi (100X)



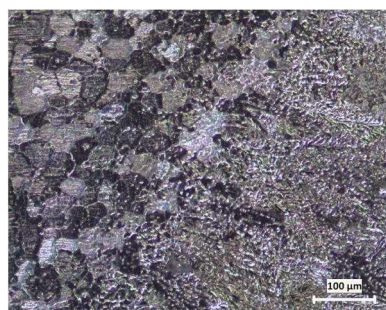
Ana Malzeme (100X)



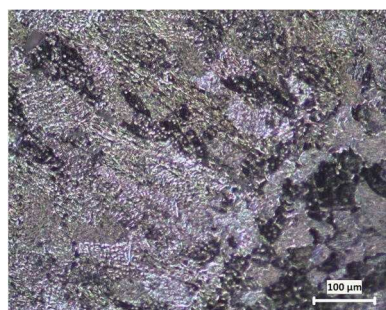
Şekil 5.26. 3 numaralı numunenin mikro yapı inceleme fotoğrafları



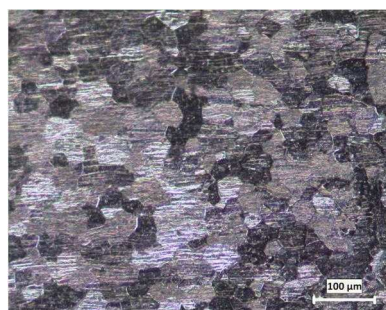
Kaynak Metali (100X)



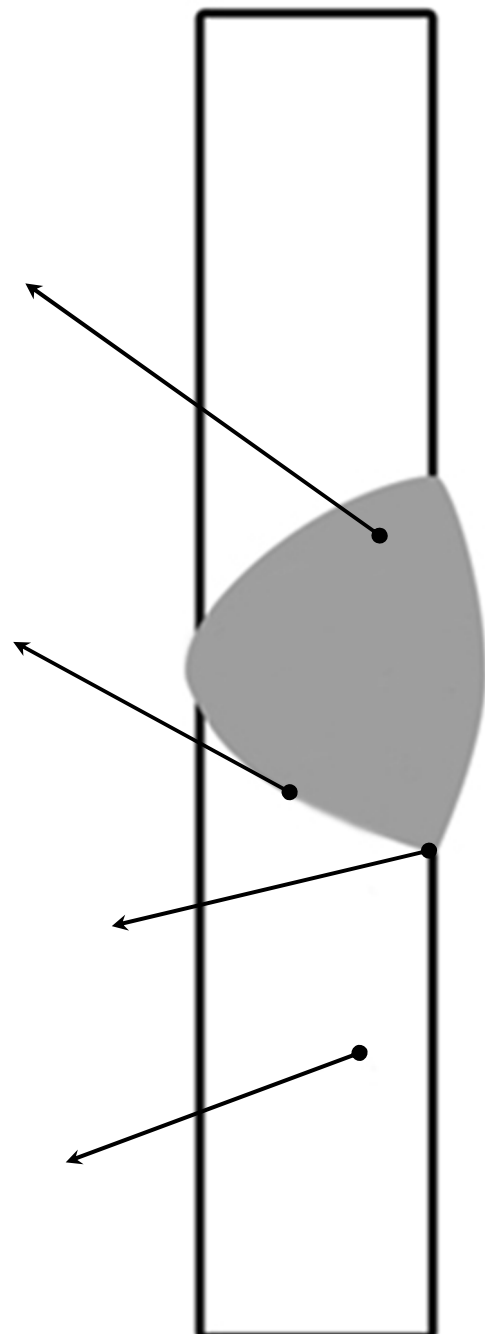
Geçiş Bölgesi (100X)



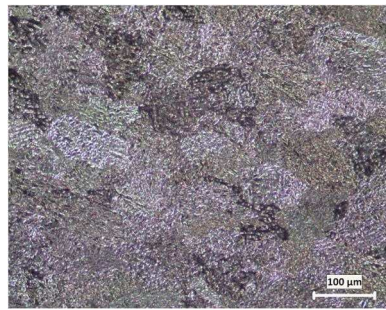
ITAB da Tane İrileşmesi (100X)



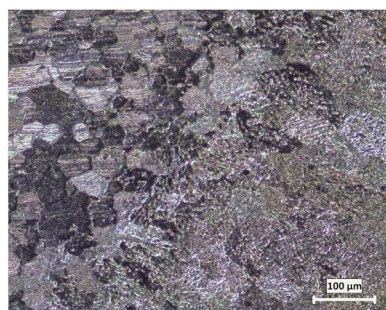
Ana Malzeme (100X)



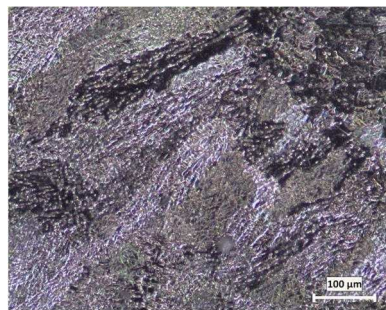
Şekil 5.27. 4 numaralı numunenin mikro yapı inceleme fotoğrafları



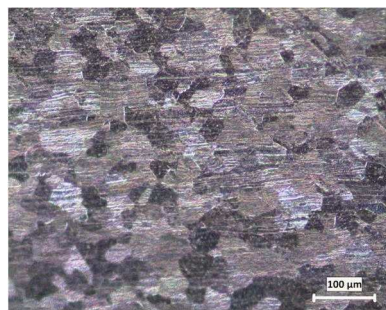
Kaynak Metali (100X)



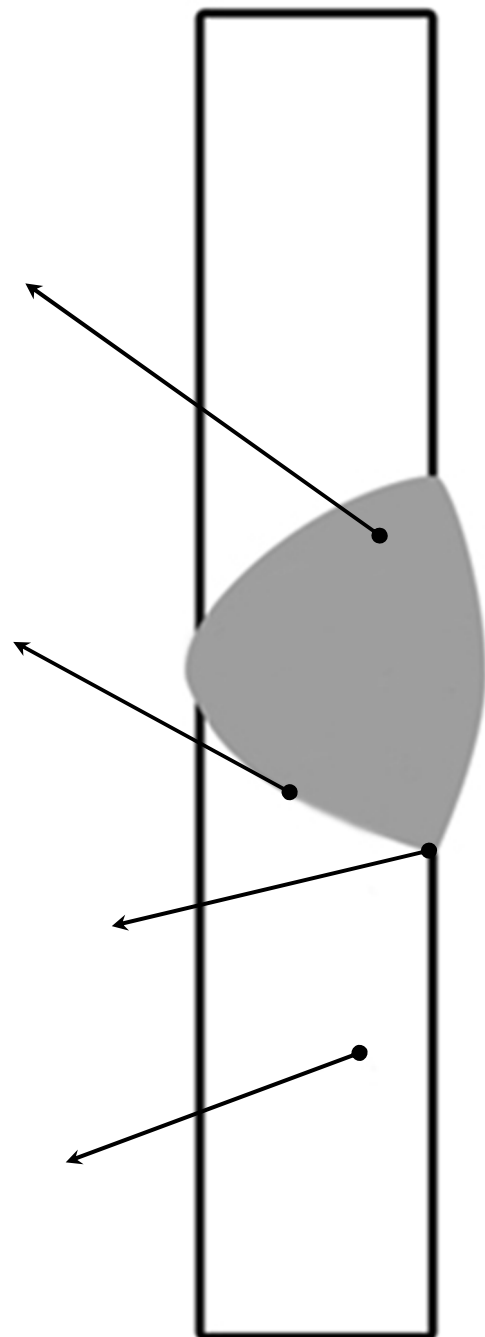
Geçiş Bölgesi (100X)



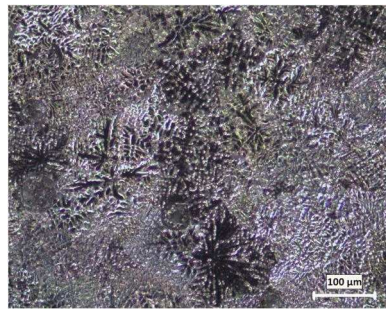
ITAB da Tane İrileşmesi (100X)



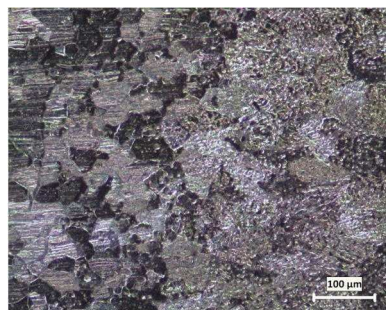
Ana Malzeme (100X)



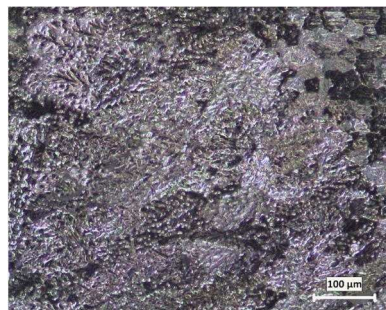
Şekil 5.28. 5 numaralı numunenin mikro yapı inceleme fotoğrafları



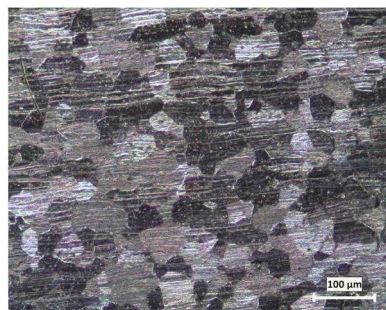
Kaynak Metali (100X)



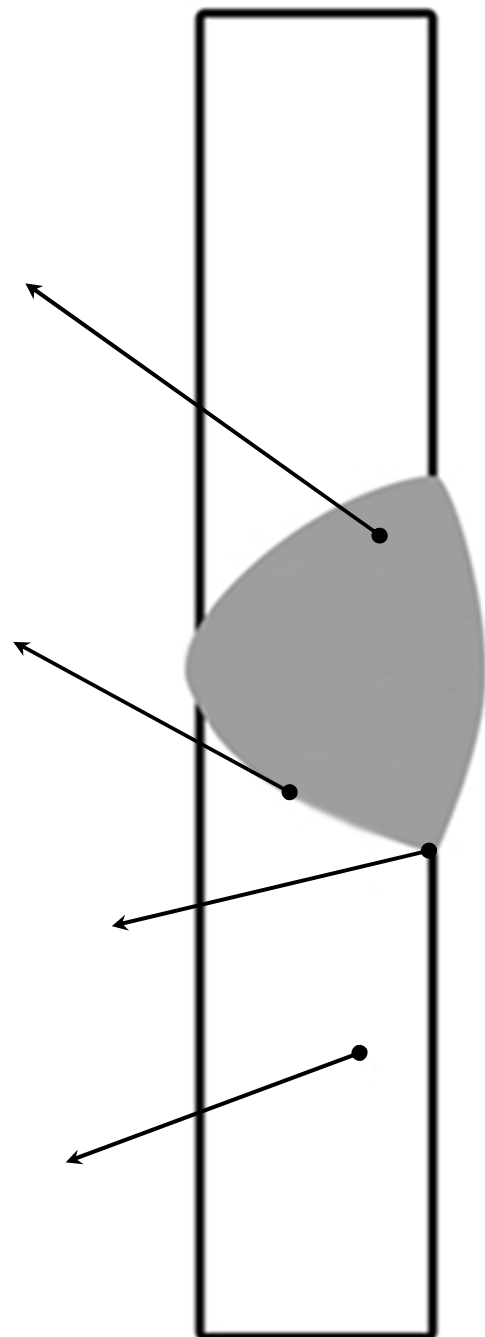
Geçiş Bölgesi (100X)



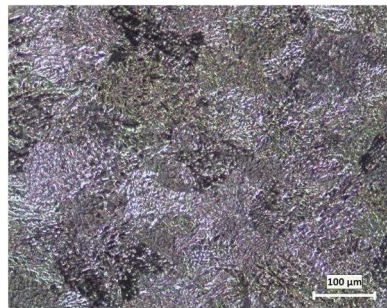
ITAB da Tane İrileşmesi (100X)



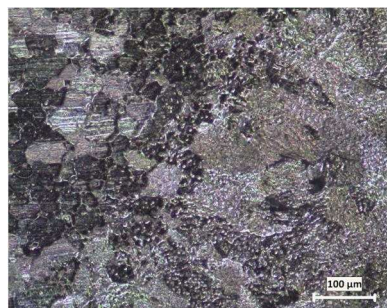
Ana Malzeme (100X)



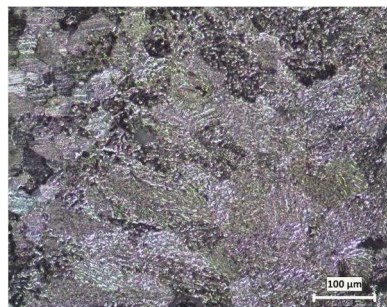
Şekil 5.29. 6 numaralı numunenin mikro yapı inceleme fotoğrafları



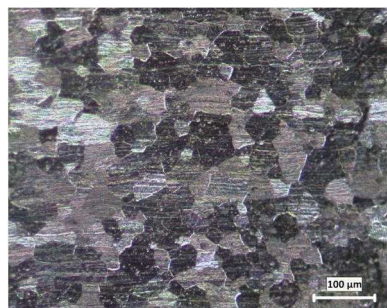
Kaynak Metali (100X)



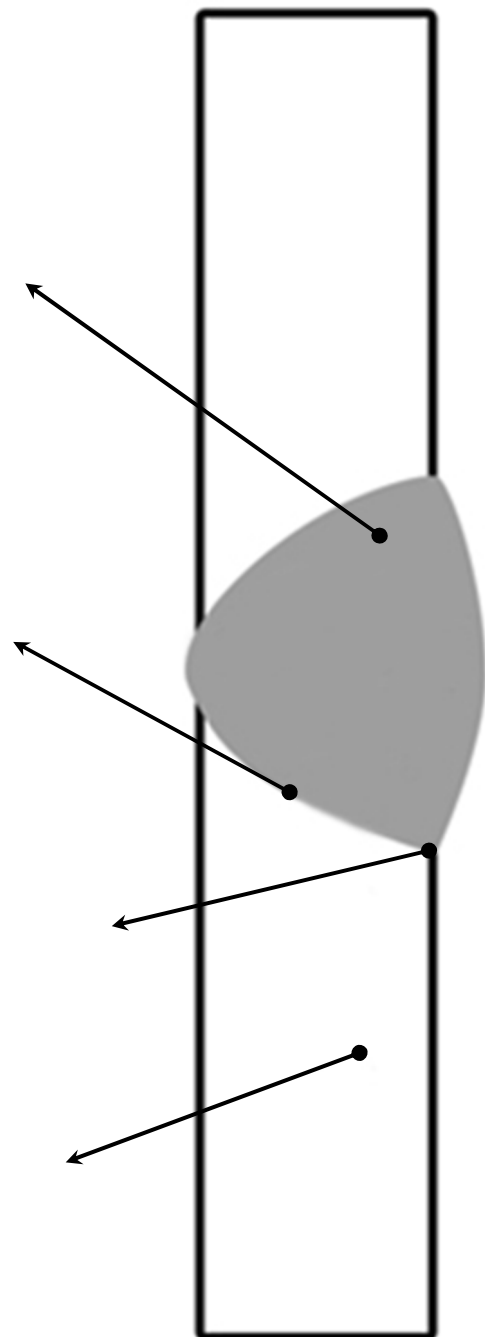
Geçiş Bölgesi (100X)



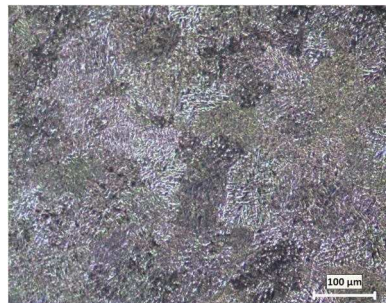
ITAB da Tane İrileşmesi (100X)



Ana Malzeme (100X)



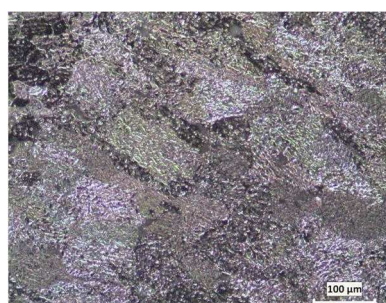
Şekil 5.30. 7 numaralı numunenin mikro yapı inceleme fotoğrafları



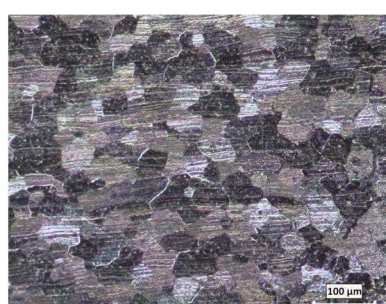
Kaynak Metali (100X)



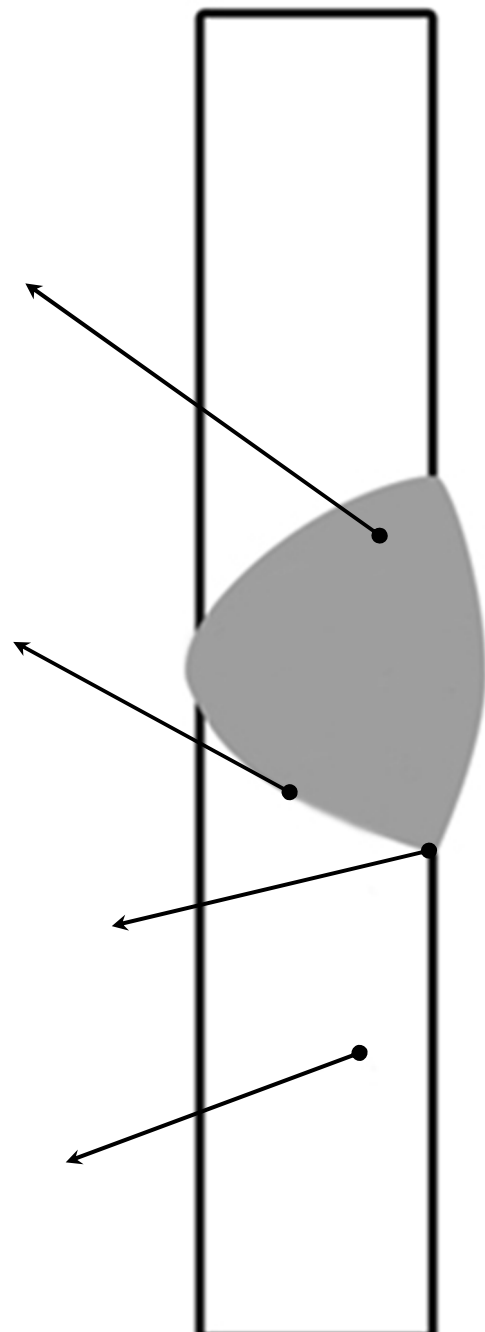
Geçiş Bölgesi (100X)



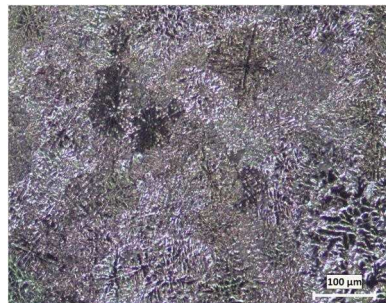
ITAB da Tane İrileşmesi (100X)



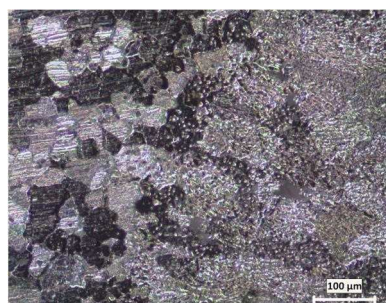
Ana Malzeme (100X)



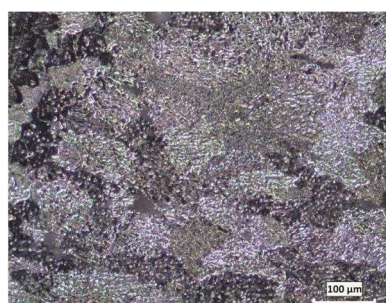
Şekil 5.31. 8 numaralı numunenin mikro yapı inceleme fotoğrafları



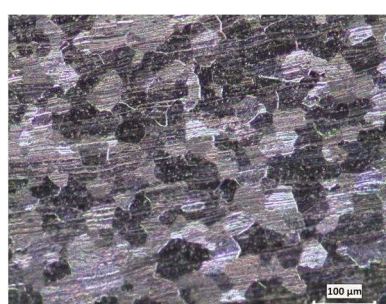
Kaynak Metali (100X)



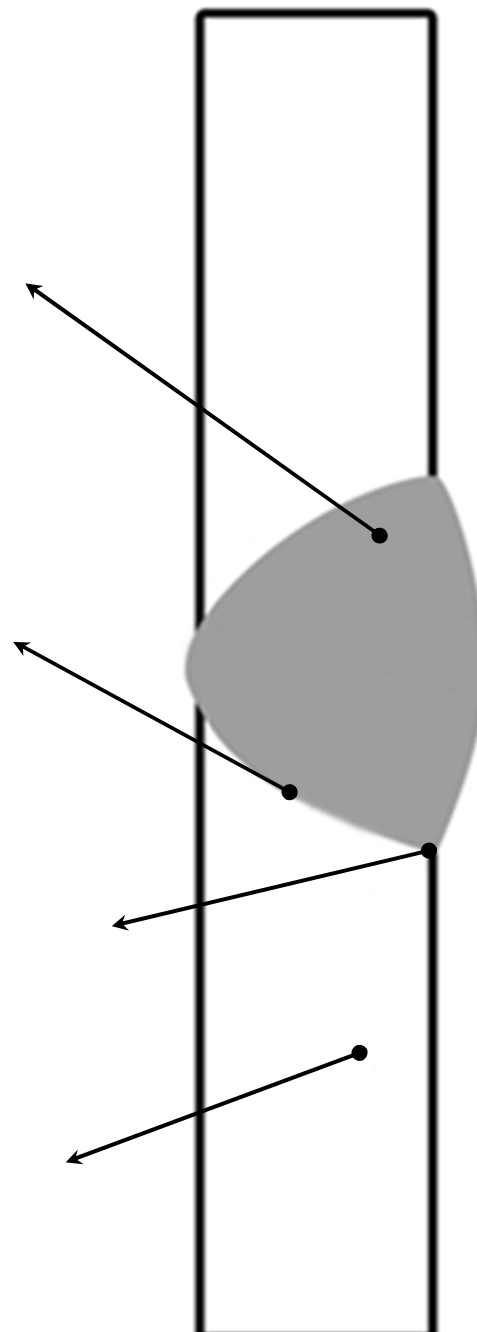
Geçiş Bölgesi (100X)



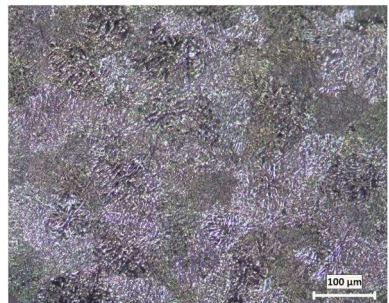
ITAB da Tane İrileşmesi (100X)



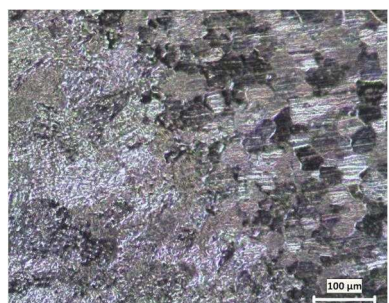
Ana Malzeme (100X)



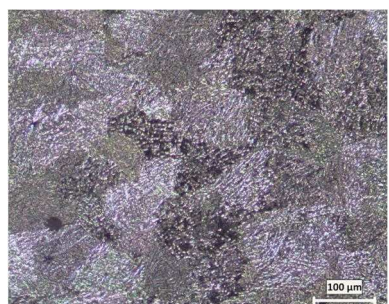
Şekil 5.32. 9 numaralı numunenin mikro yapı inceleme fotoğrafları



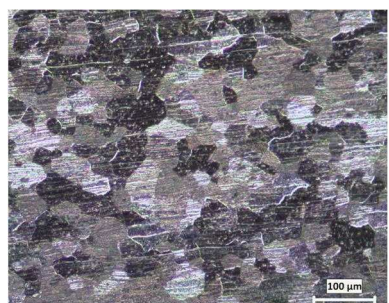
Kaynak Metali (100X)



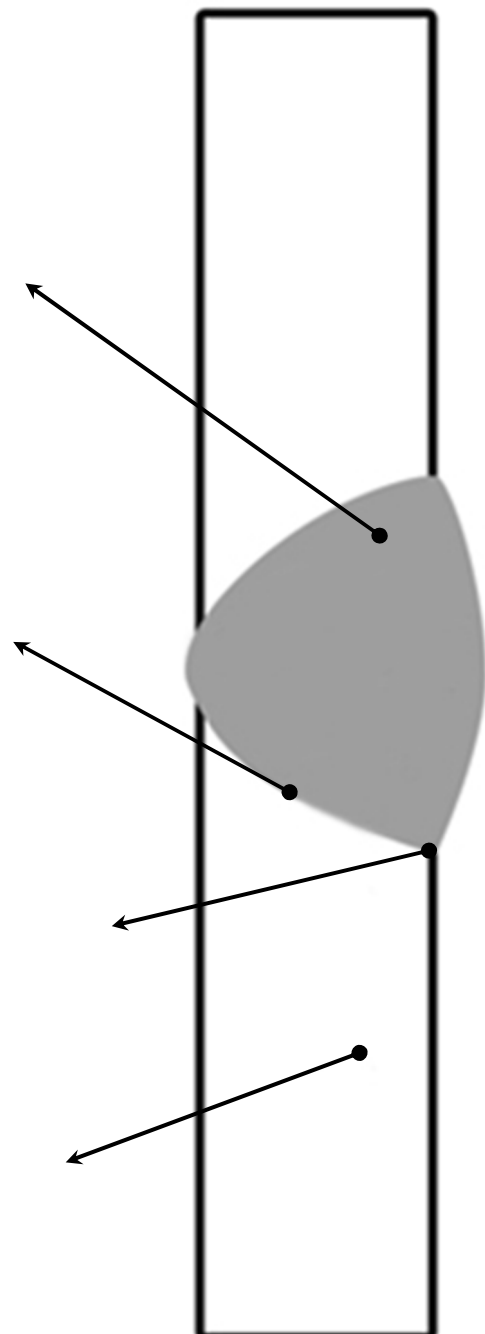
Geçiş Bölgesi (100X)



ITAB da Tane İrileşmesi (100X)



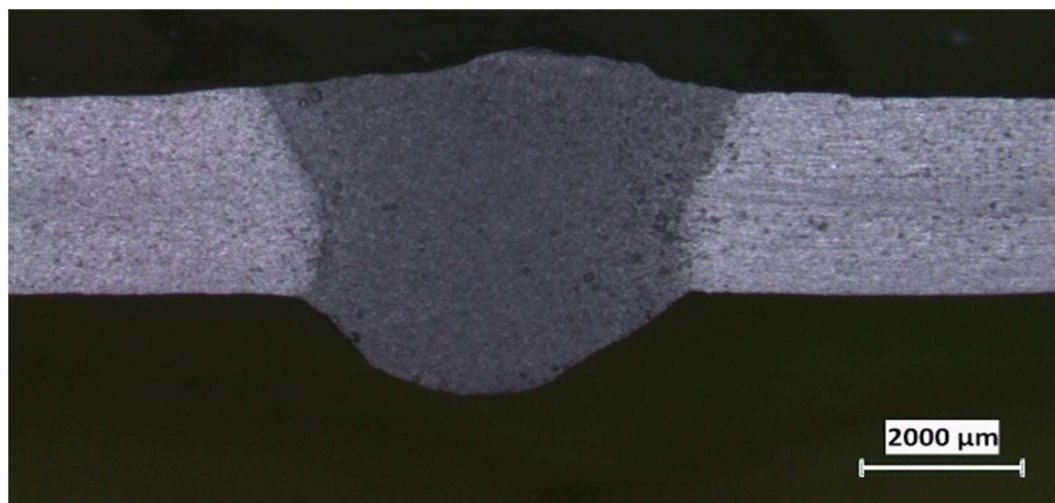
Ana Malzeme (100X)



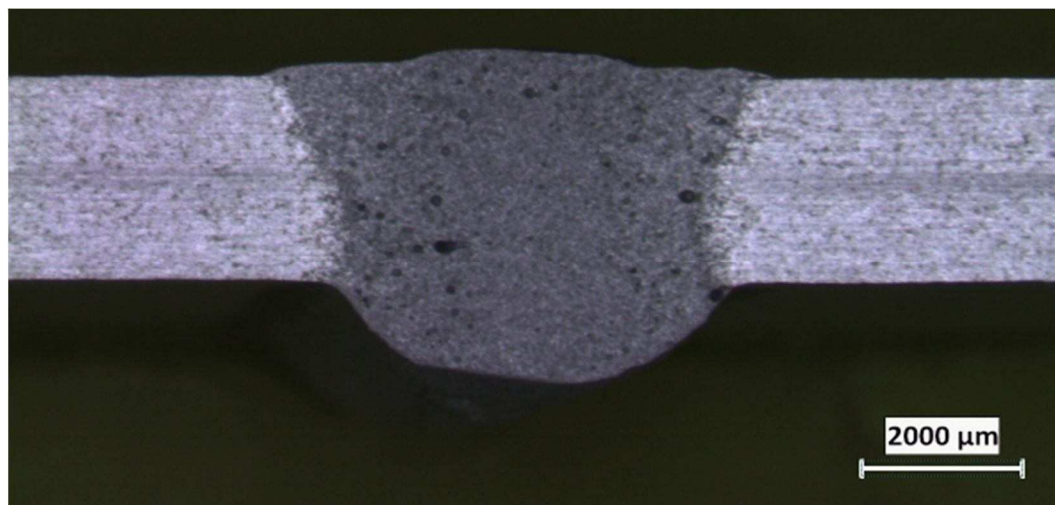
Şekil 5.33. 10 numaralı numunenin mikro yapı inceleme fotoğrafları

#### 5.4. Makro Yapı İncelemeleri ve Sonuçları

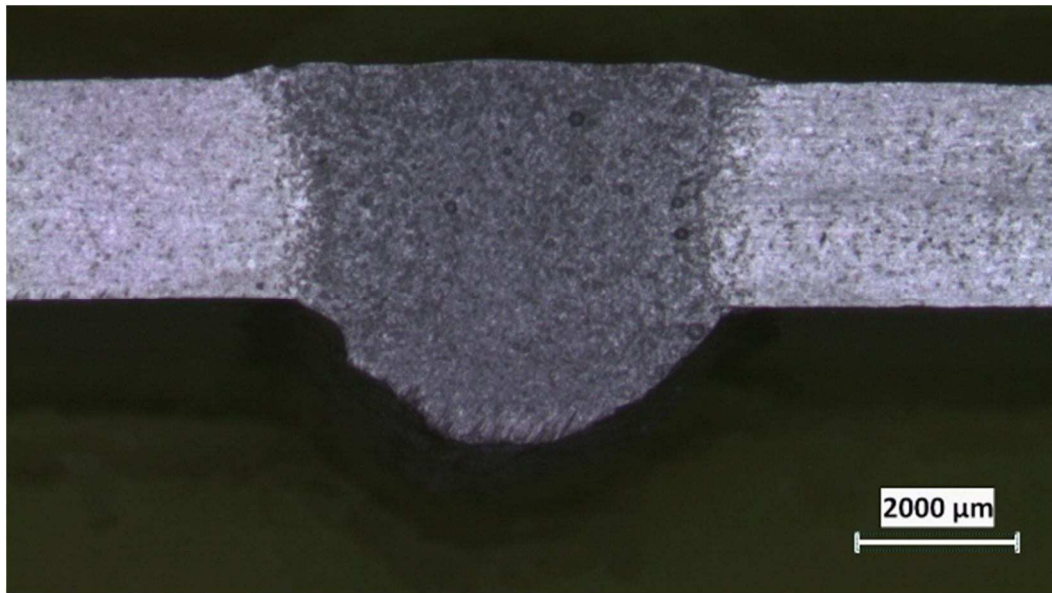
Makro incelemelerde çeşitli parametrelerdeki numunelerimizin nüfuz şekli kaynak damla geometrisi incelenmiş fotoğrafları aşağıda verilmiştir.



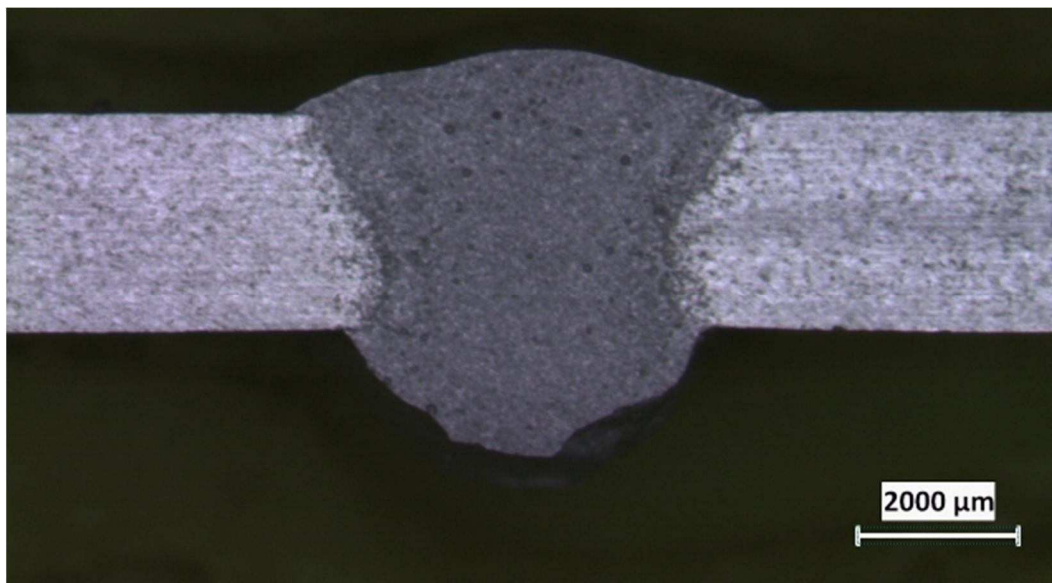
Şekil 5.34. Referans numunenin makro görüntüsü



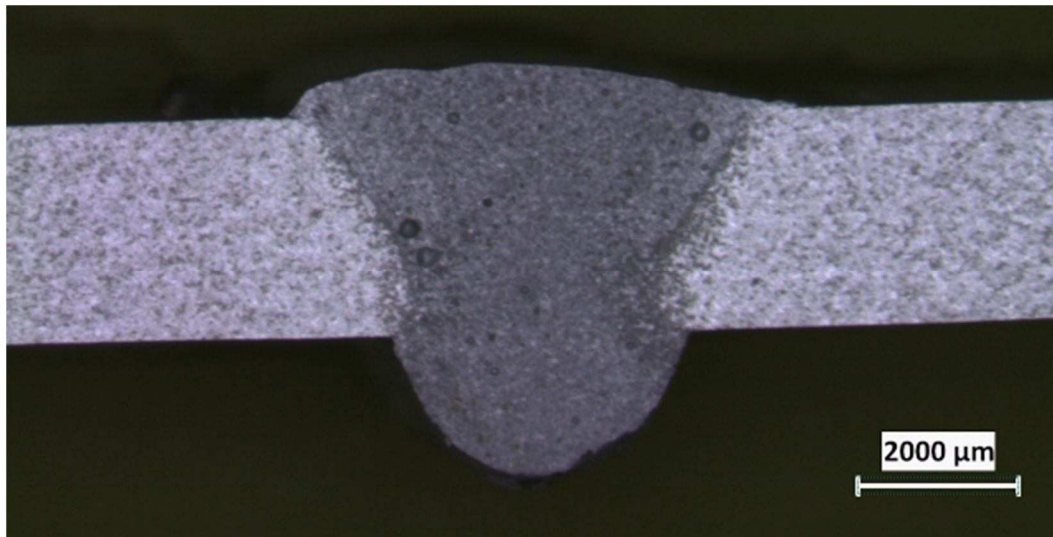
Şekil 5.35. 1 numaralı numunenin makro görüntüsü



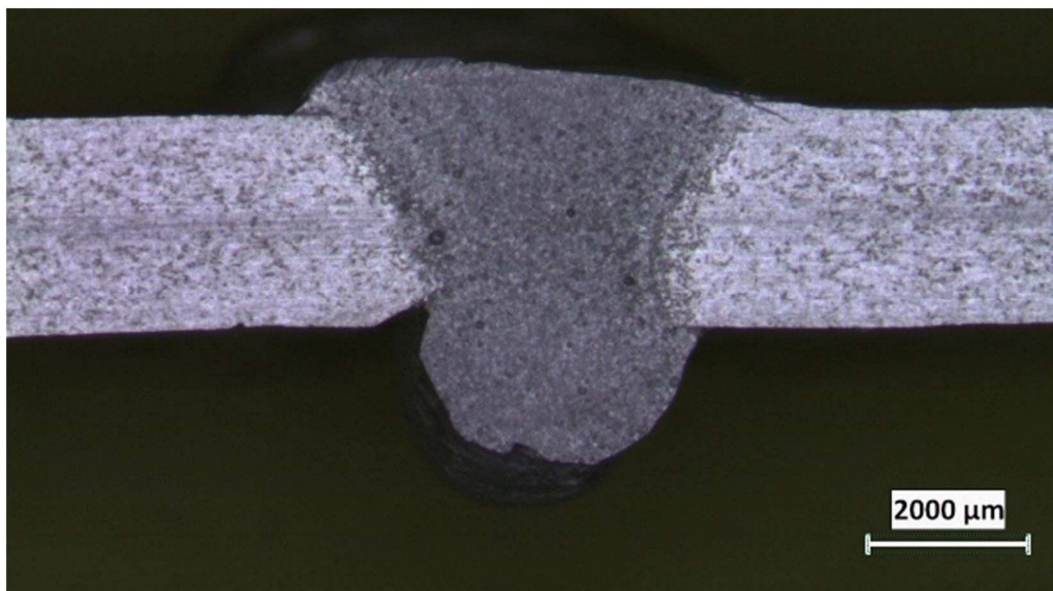
Şekil 5.36. 2 numaralı numunenin makro görüntüsü



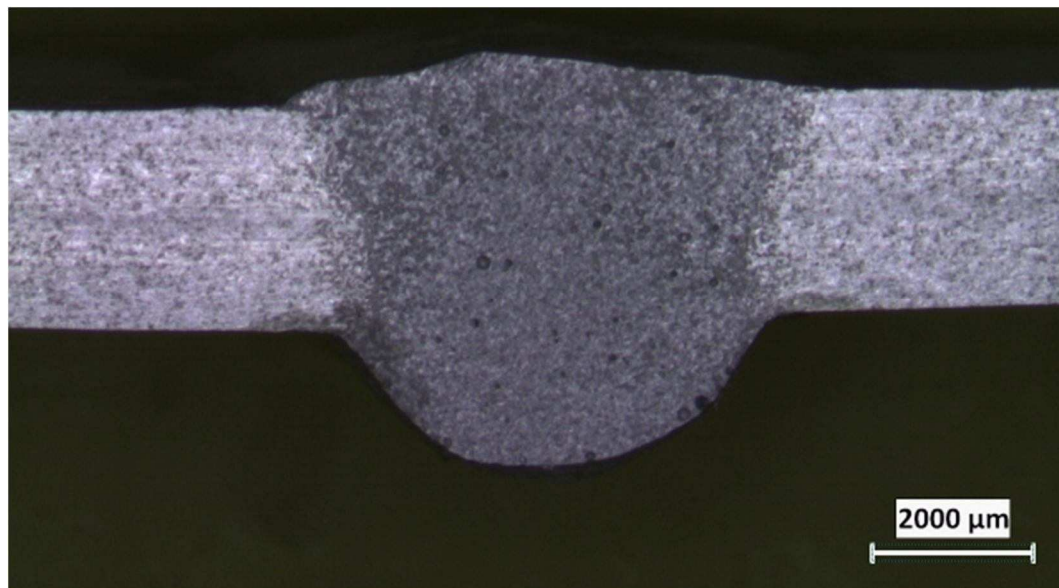
Şekil 5.37. 3 numaralı numunenin makro görüntüsü



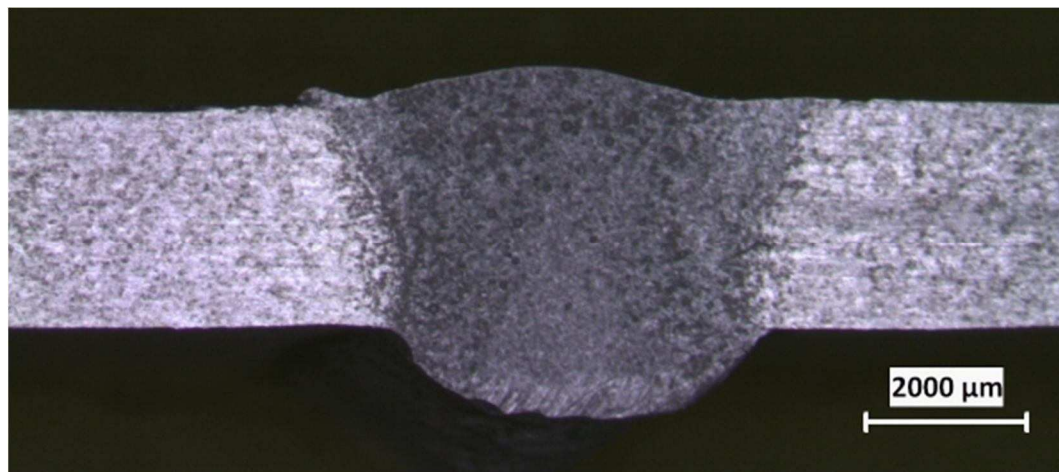
Şekil 5.38. 4 numaralı numunenin makro görüntüsü



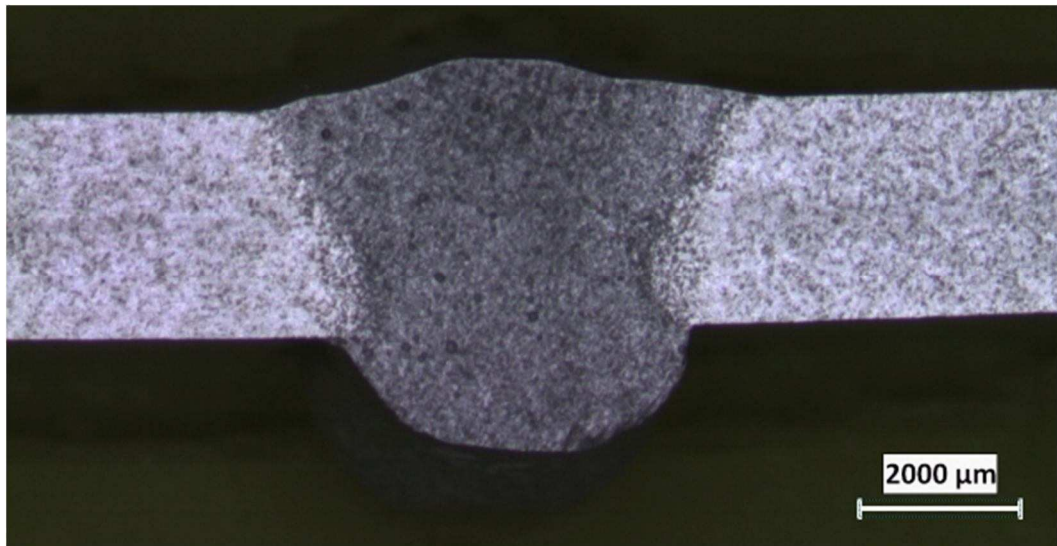
Şekil 5.39. 5 numaralı numunenin makro görüntüsü



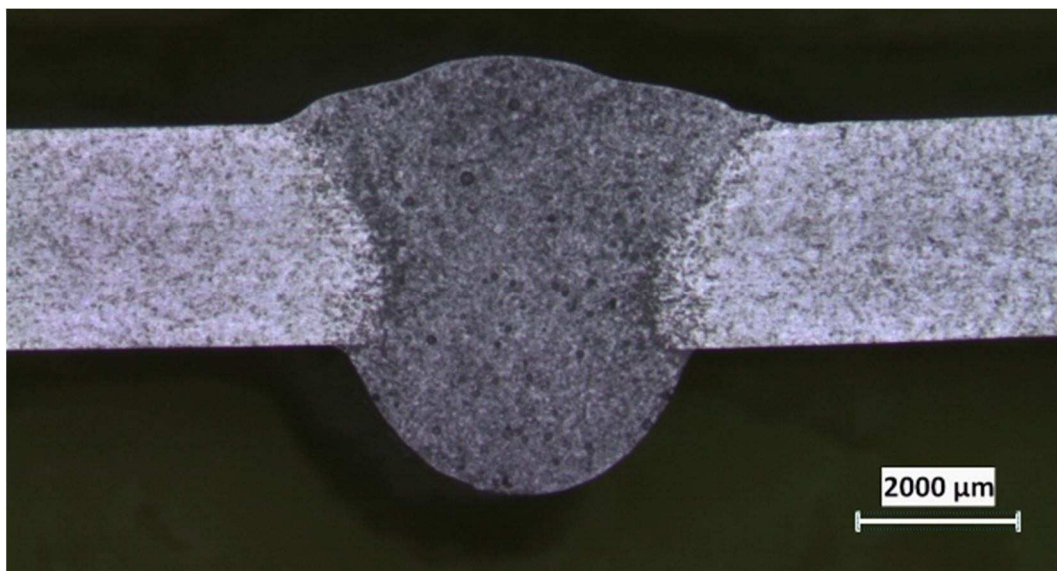
Şekil 5.40. 6 numaralı numunenin makro görüntüsü



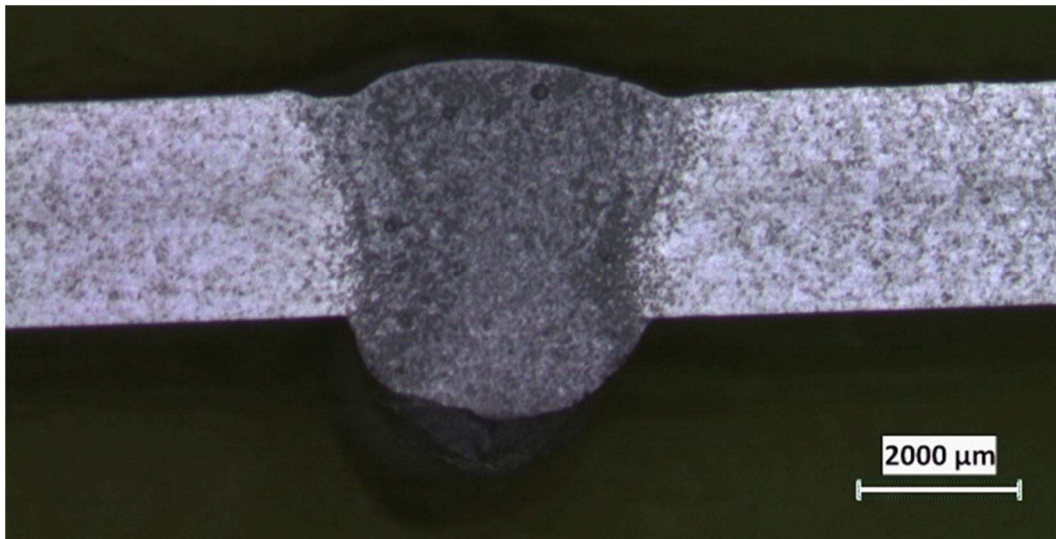
Şekil 5.41. numaralı numunenin makro görüntüsü



Şekil 5.42. 8 numaralı numunenin makro görüntüsü



Şekil 5.43. 9 numaralı numunenin makro görüntüsü

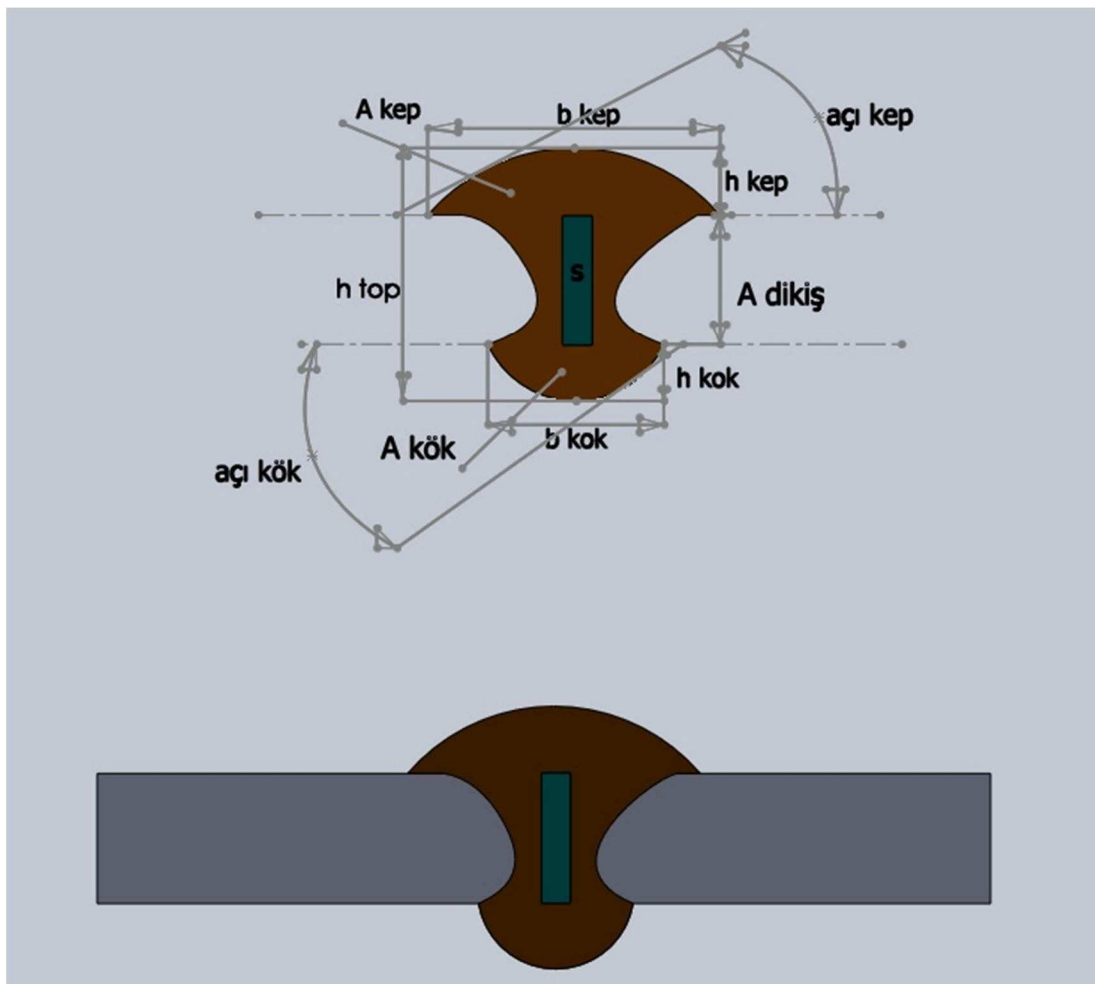


Şekil 5.44. 10 numaralı numunenin makro görüntüsü

Deney numunelerinden alınan makro fotoğraflar incelendiğinde voltaj değişiminin kaynak damla geçişine etkisini çok değiştirmediği görülmüştür. Asıl etkinin tel hızı ve amper değişiminde olduğu resimlerden anlaşılmıştır. Amper değişiminde numunelerin damla alanlarında değişiklikler görülmüştür. Şöyle ki, yüksek amperlerde nüfuziyet ve damla alanı geniş olurken düşük amper ve yüksek kaynak hızında bu oran düşmüştür. Yalnız aşırı yüksek akımlarda yapılan kaynaklarda ise alüminyumun düşük ergime sıcaklığından dolayı ideal kaynak elde edilemeyecektir.

Resimler incelendiğinde tel hızının arttırılması kaynak boşluğununda fazla kaynak metali birikmesini sağlamış dolayısıyla kök sarkmasını arttırmıştır. Kaynak hızının azaltılması ise ilave metal sarfiyatını engelleyecektir.

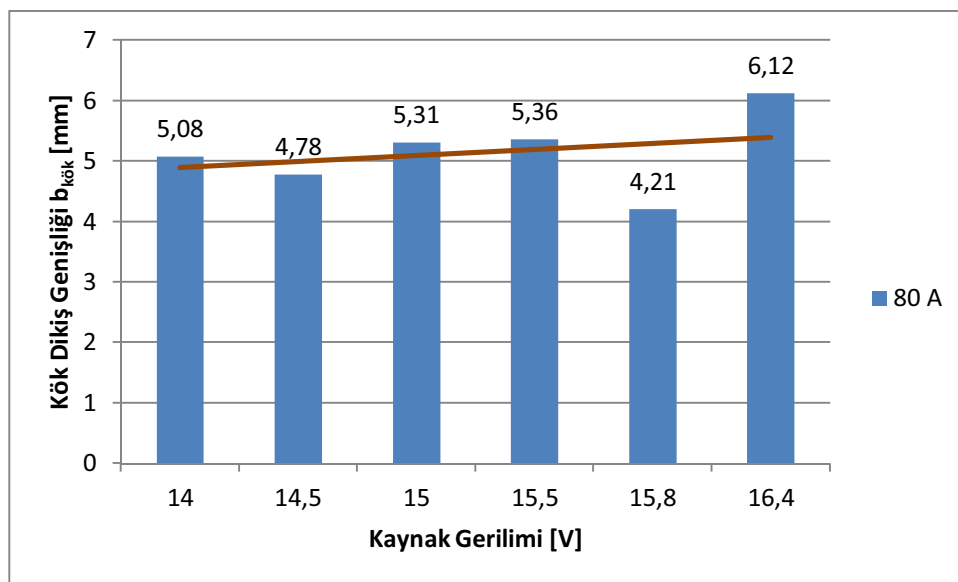
### 5.5. Numunelerin Damla Geometrileri ve Damla Alanları



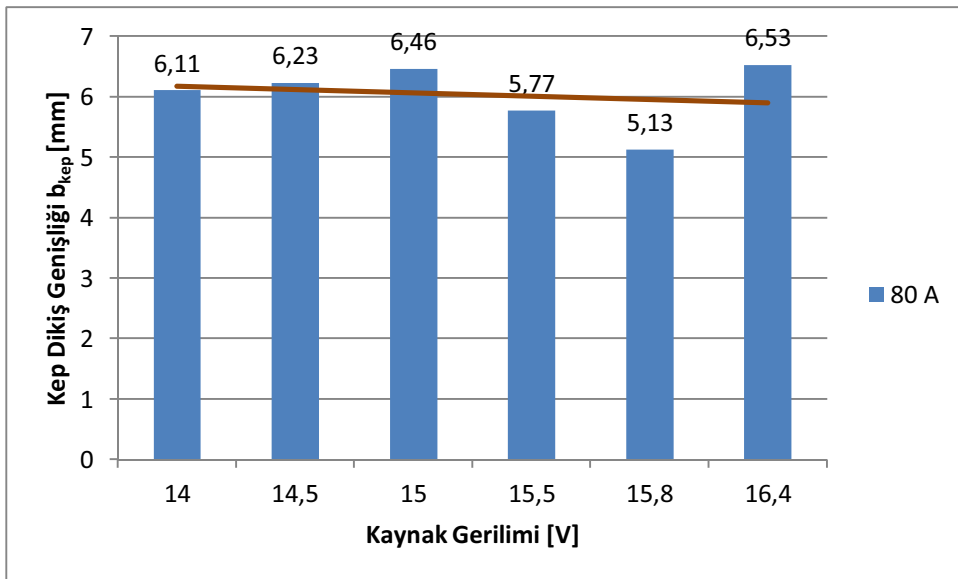
Şekil 5.45. Kaynak damla geometrisi

Tablo 5.4. Numunelerin kaynak geometrileri

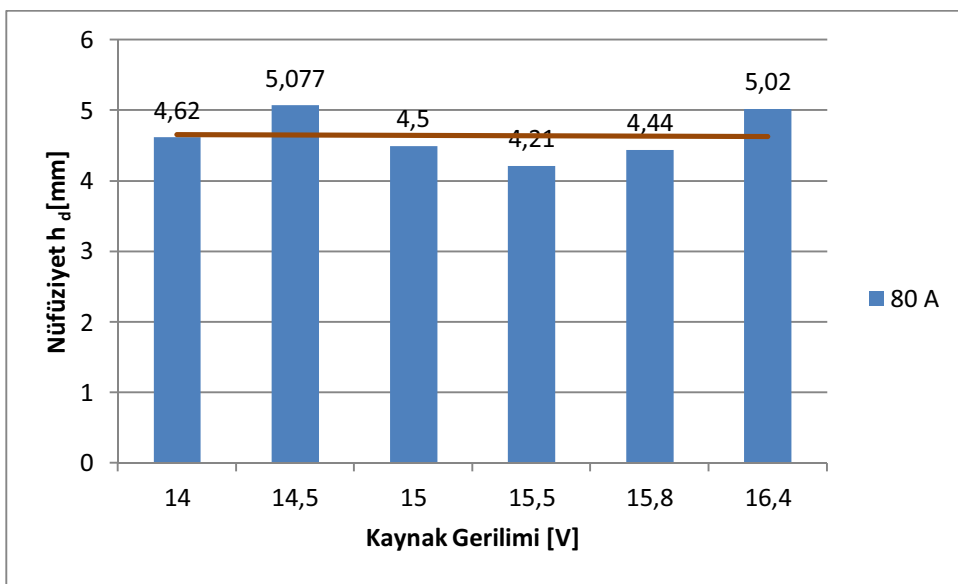
Num.	$b_{\text{kök}}$	$H_1$	$b_{\text{kep}}$	$h_{\text{dikiş}}$	$h_{\text{kep}}$	$h_{\text{kök}}$	$A_{\text{dikiş}}$	$A_{\text{kep}}$	$A_{\text{kök}}$	$A_{\text{top.}}$
Ref.	5,31	-	6,46	4,5	0,75	1,5	16,6	2,49	5,38	24,47
1	5,47	0,35	6,25	4,44	0,46	1,44	14,9	3	7,88	25,78
2	6,35	0,46	7,02	4,9	0,32	1,9	19,21	2,22	7,5	28,95
3	4,7	0,46	5,87	4,73	0,87	1,73	14,93	4,16	5,3	24,39
4	4,21	0,46	6,06	4,96	0,69	1,96	13,16	3,65	6,12	22,93
5	4,15	0,7	5,64	4,82	0,75	1,82	12,29	3,62	5,77	21,65
6	6,12	0,52	6,53	5,02	0,72	2,02	17,5	2,7	9,21	29,41
7	5,36	0,52	5,77	4,21	0,52	1,21	14,19	1,53	5,02	20,74
8	5,08	0,52	6,11	4,62	0,64	1,62	14,36	2,11	6,54	23,012
9	4,78	0,58	6,23	5,077	0,92	2,077	13,8	4,03	7,54	25,37
10	4,21	0,17	5,13	4,44	0,4	1,44	12,98	1,15	5,03	19,16



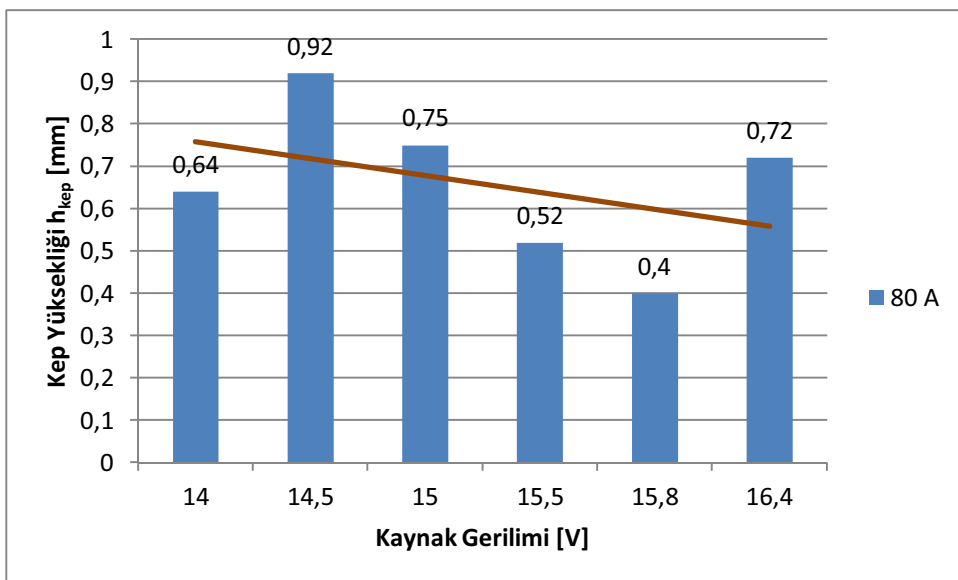
Şekil 5.46. 80A kaynak akımında kaynatılan numunelerin kök dikiş genişliği – kaynak gerilimi grafiği



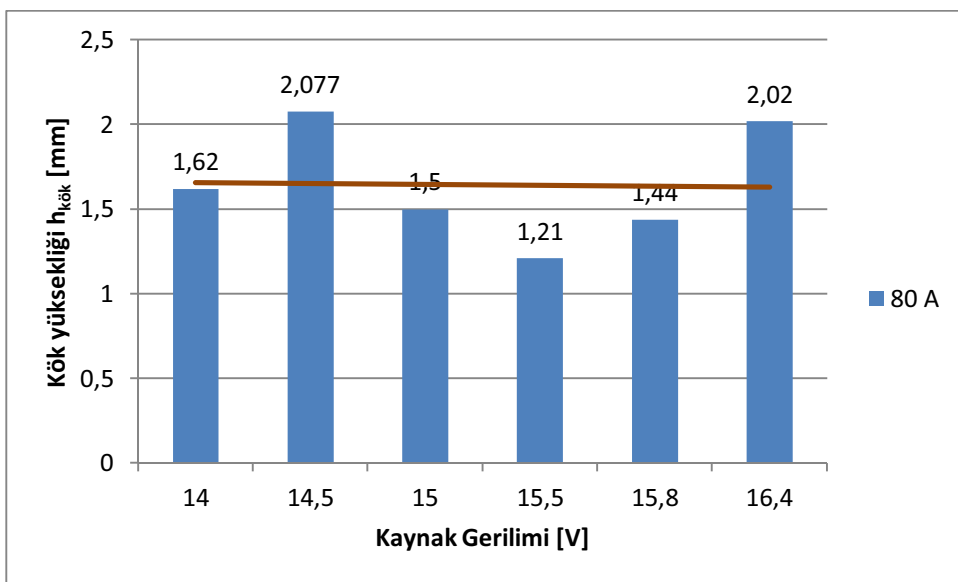
Şekil 5.47. 80A kaynak akımında kaynatılan numunelerin kep dikiş genişliği – kaynak gerilimi grafiği



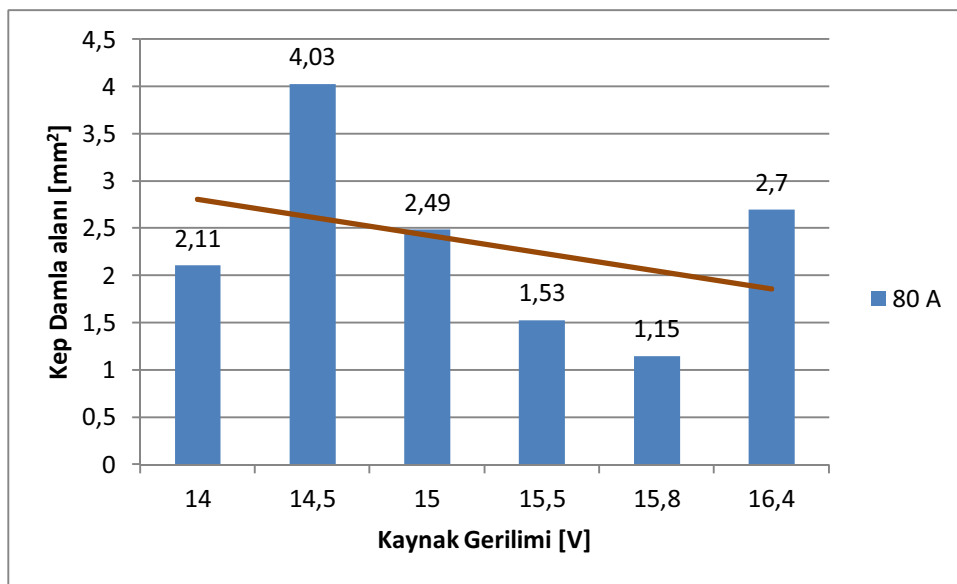
Şekil 5.48. 80A kaynak akımında kaynatılan numunelerin nüfüzyet – kaynak gerilimi grafiği



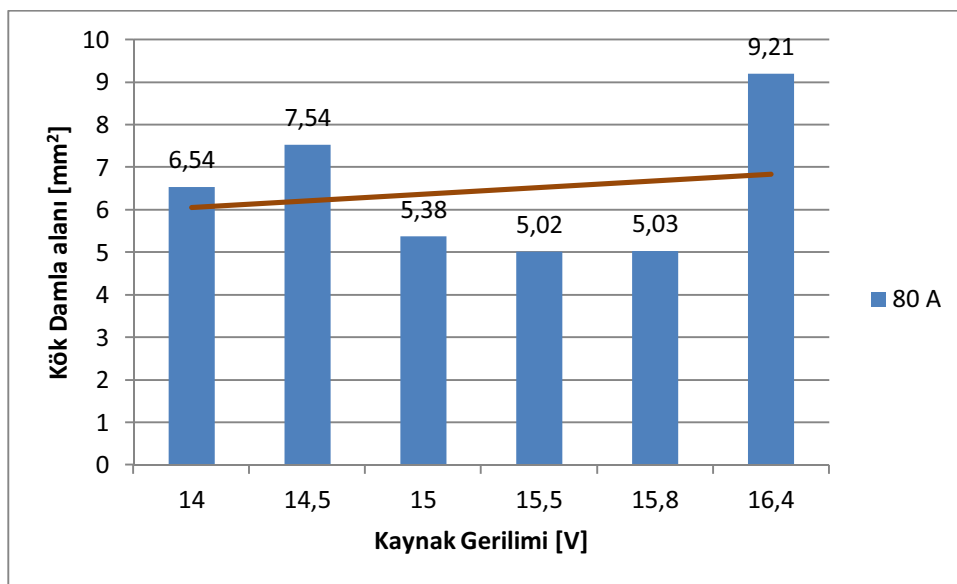
Şekil 5.49. 80A kaynak akımında kaynatılan numunelerin kep yüksekliği – kaynak gerilimi grafiği



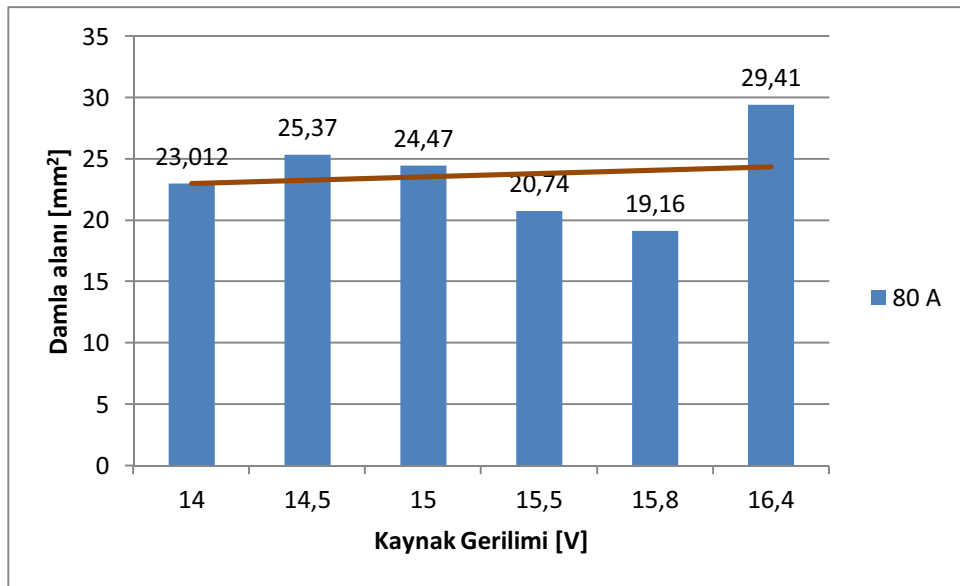
Şekil 5.50. 80A kaynak akımında kaynatılan numunelerin kök yüksekliği – kaynak gerilimi grafiği



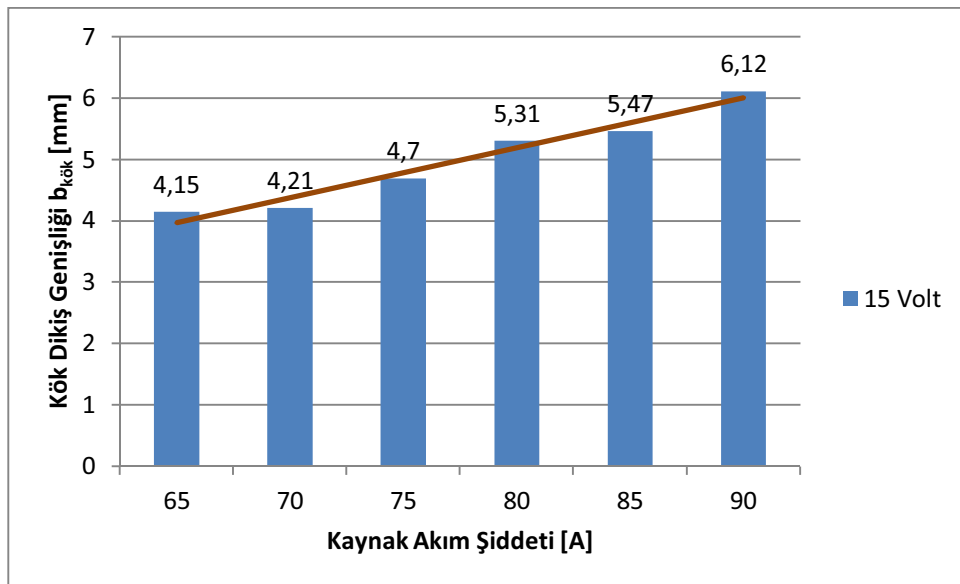
Şekil 5.51. 80A kaynak akımında kaynatılan numunelerin kep damla alanı – kaynak gerilimi grafiği



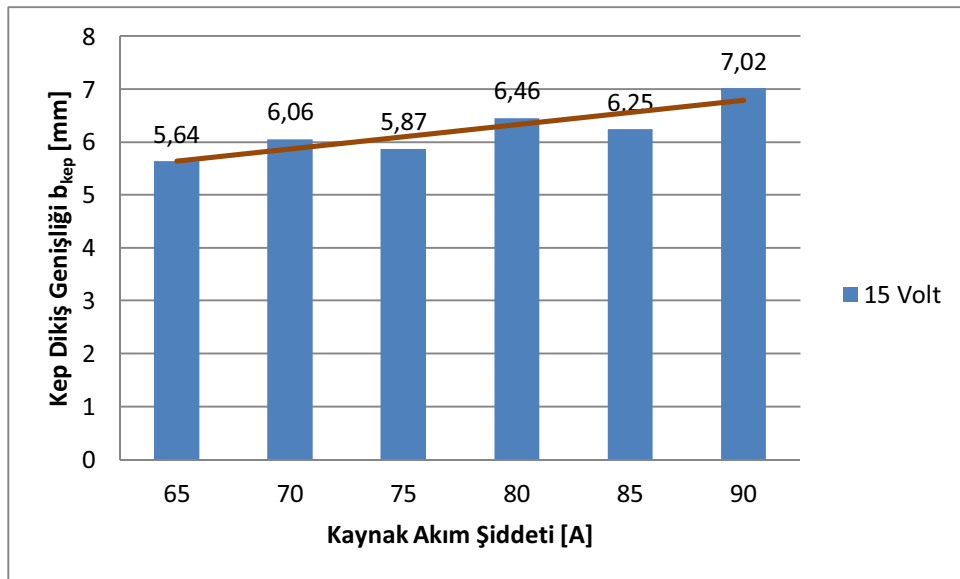
Şekil 5.52. 80A kaynak akımında kaynatılan numunelerin kök damla alanı – kaynak gerilimi grafiği



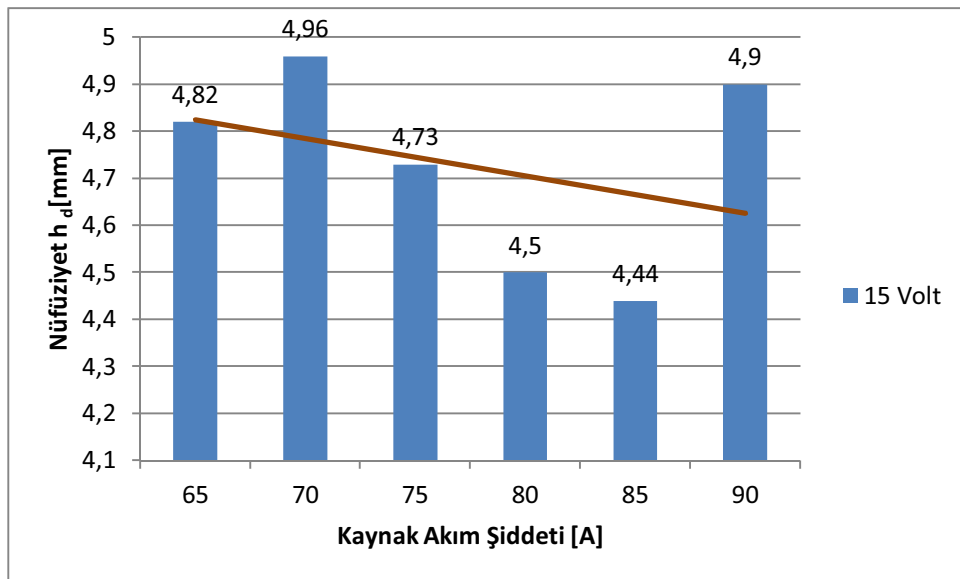
Şekil 5.53. 80A kaynak akımında kaynatılan numunelerin toplam damla alanı – kaynak gerilimi grafiği



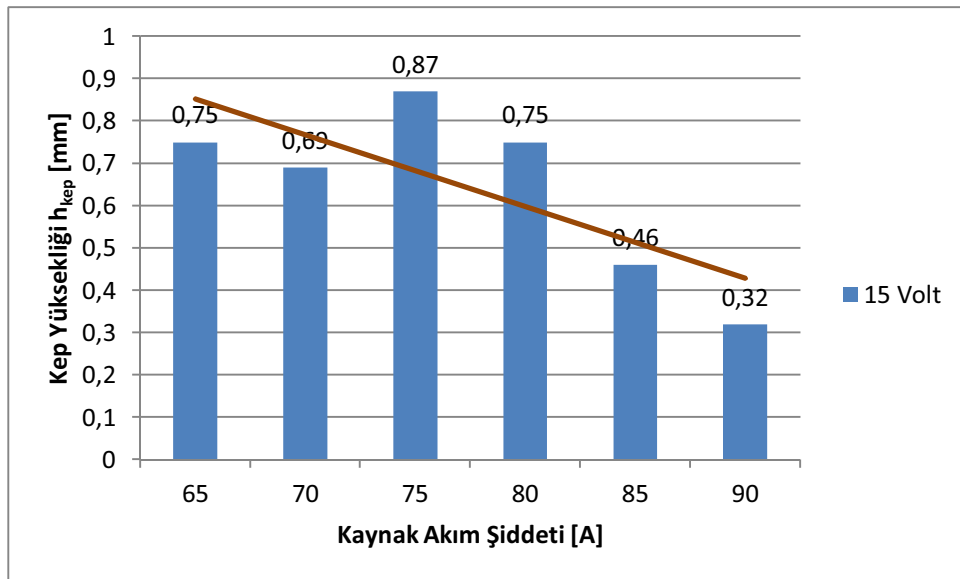
Şekil 5.54. 15V kaynak geriliminde kaynatılan numunelerin kök dikiş genişliği – kaynak akım şiddeti grafiği



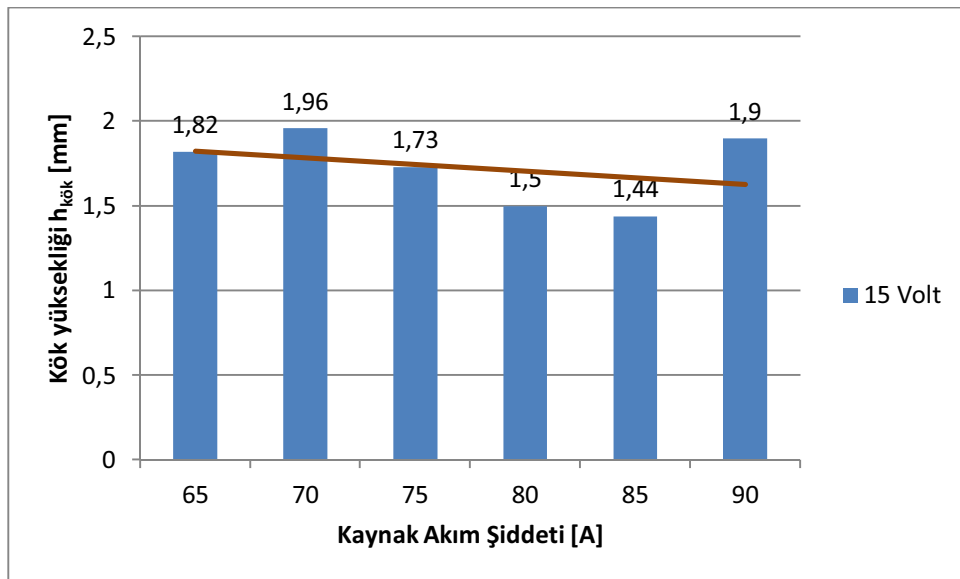
Şekil 5.55. 15V kaynak geriliminde kaynatılan numunelerin kep dikiş genişliği – kaynak akım şiddeti grafiği



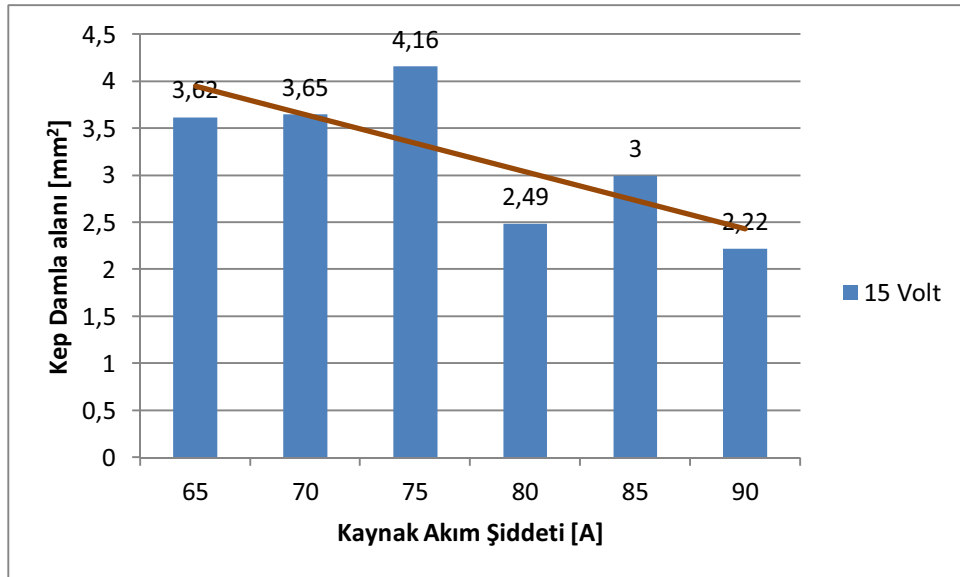
Şekil 5.56. 15V kaynak geriliminde kaynatılan numunelerin nüfuziyet – kaynak akım şiddeti grafiği



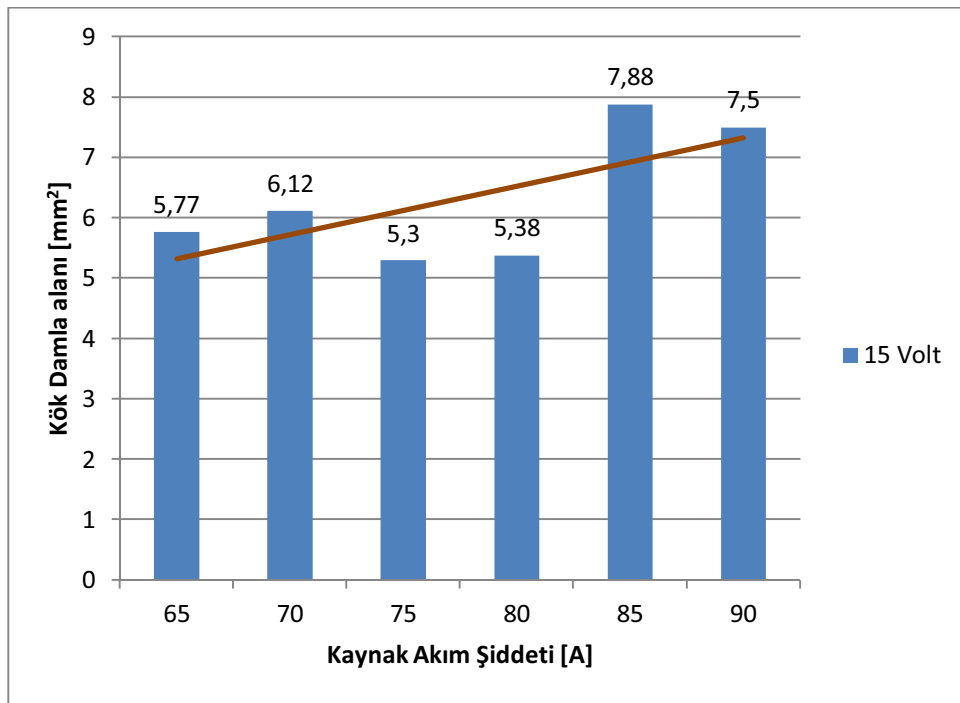
Şekil 5.57. 15V kaynak geriliminde kaynatılan numunelerin kep yüksekliği – kaynak akım şiddeti grafiği



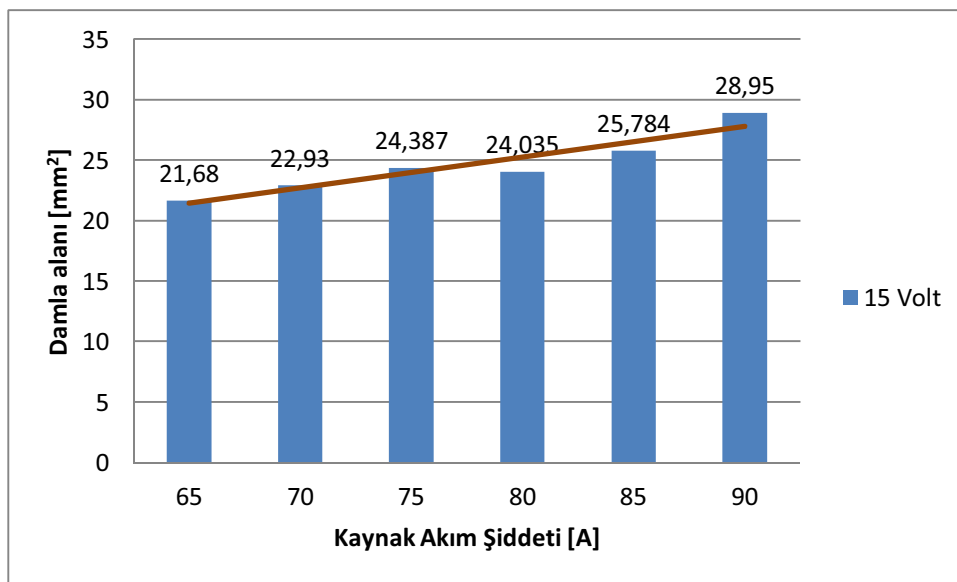
Şekil 5.58. 15V kaynak geriliminde kaynatılan numunelerin kök yüksekliği – kaynak akım şiddeti grafiği



Şekil 5.59. 15V kaynak geriliminde kaynatılan numunelerin kep damla alanı – kaynak akım şiddeti grafiği



Şekil 5.60. 15V kaynak geriliminde kaynatılan numunelerin kök damla alanı – kaynak akım şiddeti grafiği



Şekil 5.61. 15V kaynak geriliminde kaynatılan numunelerin toplam damla alanı – kaynak akım şiddeti grafiği

### 5.6. Dikiş Formları (Nüfüziyet) Hesaplamaları

$$\text{İç dikiş formu} = b_{\text{kep}} / h_{\text{dikiş}}$$

$$\text{Dış dikiş formu} = b_{\text{kep}} / h_{\text{kep}}$$

$$\text{Kök sarkması} = b_{\text{kök}} / h_{\text{kök}}$$

Tablo 5.5. Numunelerin damla alanları dikiş formları

N.	Akım	V	Süre	KS	DD	İD
Ref	80	15,0	22	3,54	8,610	1,43
1	85	15,6	21	3,80	13,59	1,40
2	90	15,8	19	3,34	21,95	1,43
3	75	15,2	27	2,73	6,790	1,24
4	70	14,0	30	2,15	8,780	1,22
5	65	14,4	28	2,28	7,520	1,17
6	80	16,4	23	3,03	9,070	1,30
7	80	15,5	21	4,43	11,10	1,37
8	80	14,0	20	3,14	9,540	1,32
9	80	14,5	21	2,30	6,770	1,22
10	80	15,8	17	2,92	12,83	1,15

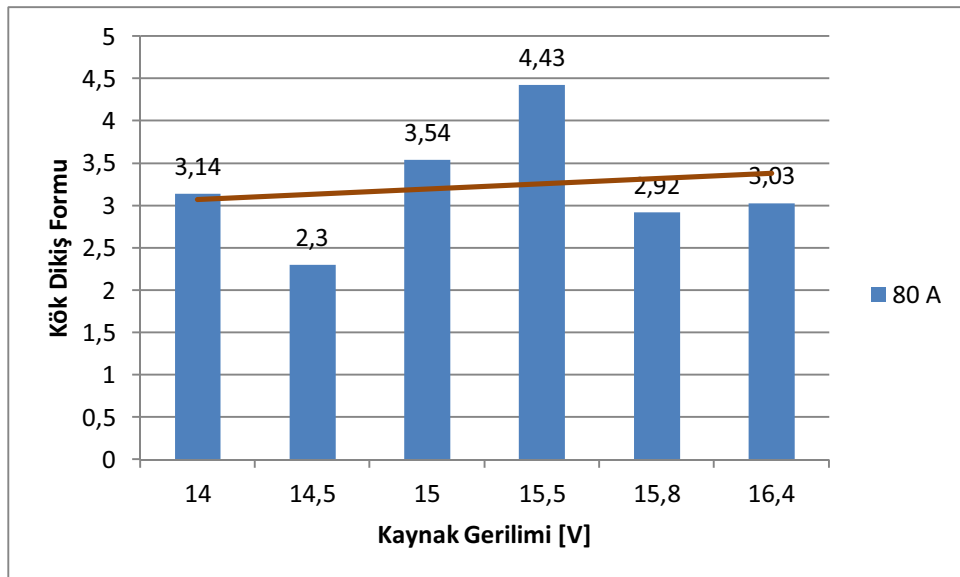
KS = Kök Sarkması

DD = Dış Dikiş

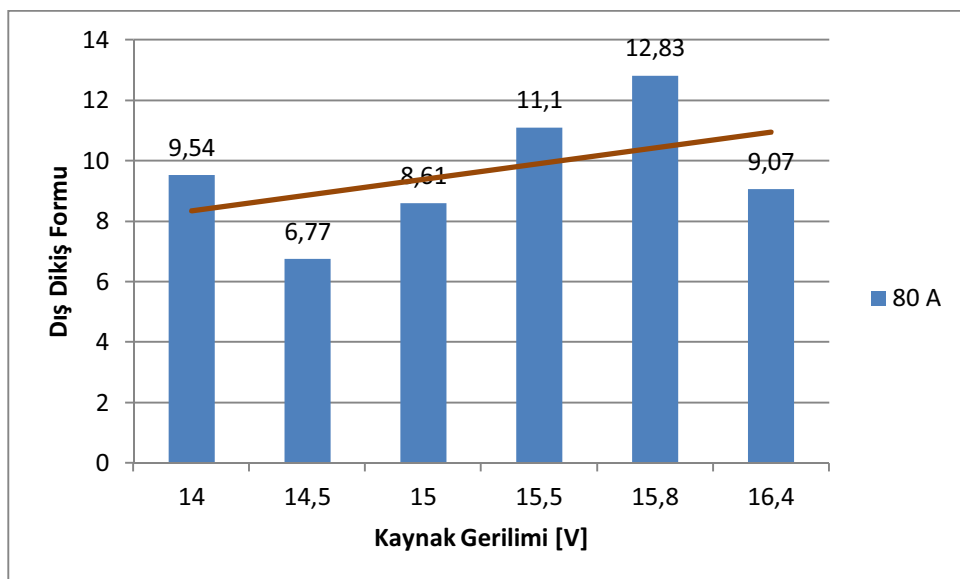
İD = İç Dikiş

Referans numune, 6, 7, 8, 9 ve 10. numunelerin dikiş formları 80A'da değişken kaynak gerilimlerinde Şekil 5.46., Şekil 5.47. ve Şekil 5.48.'de verilmiştir.

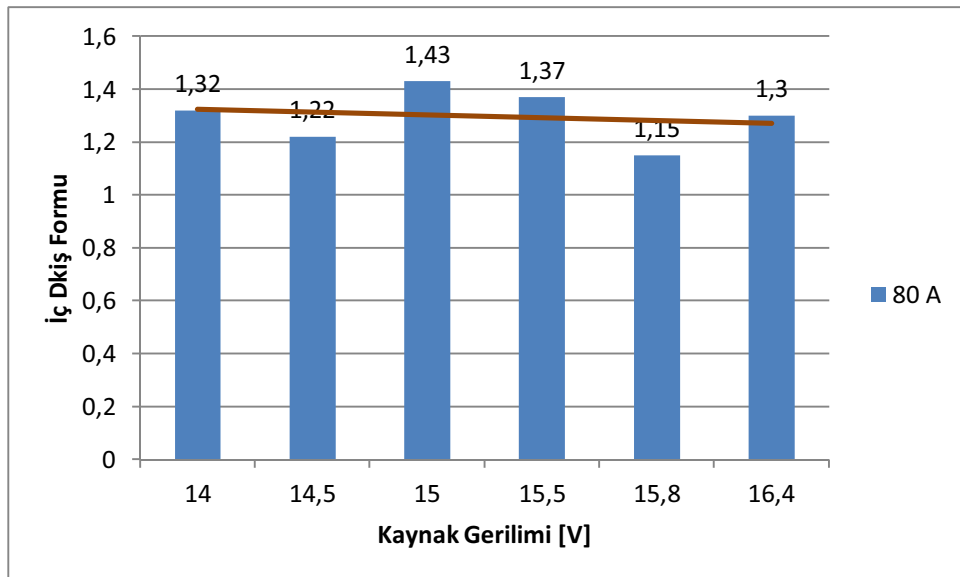
Referans numune, 1, 2, 3, 4, ve 5. Numunelerin dikiş formları 15V'de değişken kaynak akım şiddetlerine göre Şekil 5.49., Şekil 5.50., ve Şekil 5.51.'de verilmiştir.



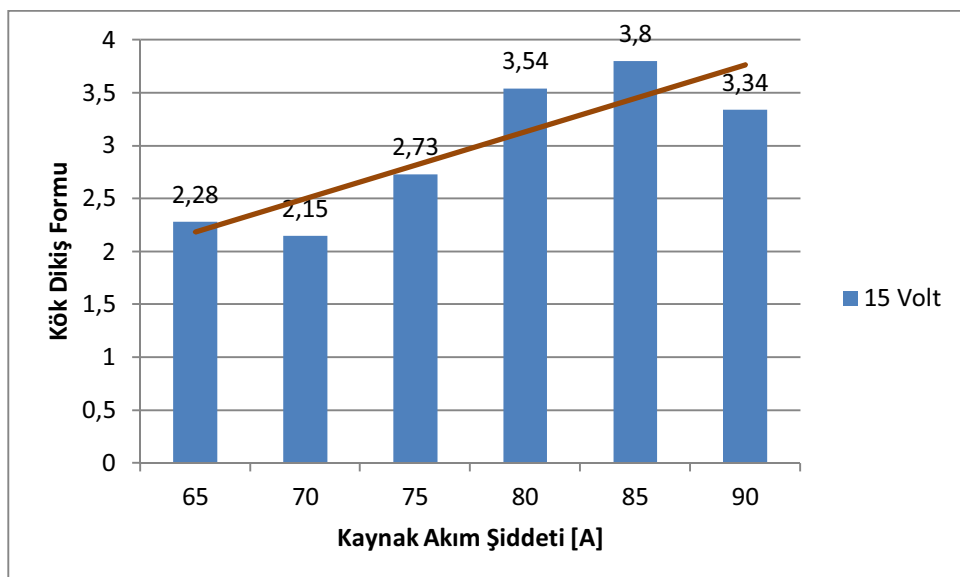
Şekil 5.62. 80A kaynak akım şiddetinde kaynatılan numunelerin kök dikiş – kaynak gerilimi grafiği



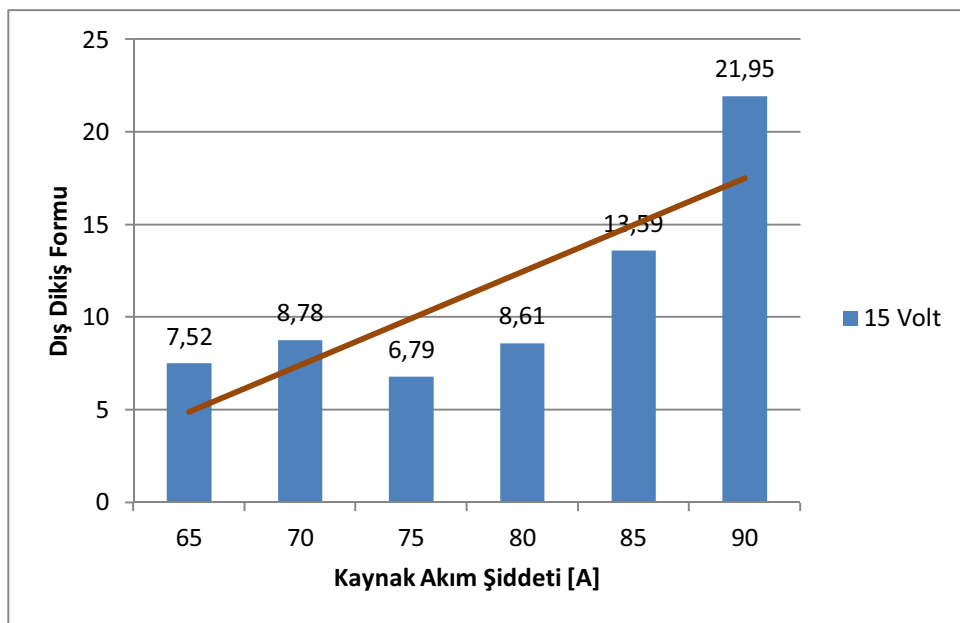
Şekil 5.63. 80A kaynak akım şiddetinde kaynatılan numunelerin dış dikiş – kaynak gerilimi grafiği



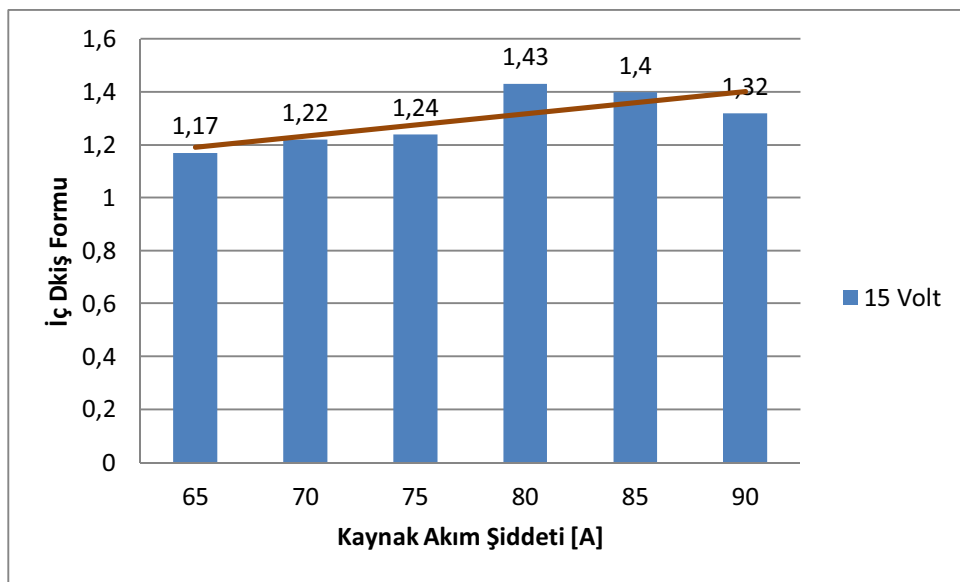
Şekil 5.64. 80A kaynak akım şiddetinde kaynatılan numunelerin iç dikiş – kaynak gerilimi grafiği



Şekil 5.65. 15V kaynak geriliminde kaynatılan numunelerin kök dikiş – kaynak akım şiddeti grafiği



Şekil 5.66. 15V kaynak geriliminde kaynatılan numunelerin dış dikiş – kaynak akım şiddeti grafiği



Şekil 5.67. 15V kaynak geriliminde kaynatılan numunelerin iç dikiş – kaynak akım şiddeti grafiği

### 5.7. Numunelerin Isı Girdisi Hesaplamaları

$$Q = \frac{\eta \cdot U \cdot I}{v \cdot 1000} \text{ kJ/mm} \quad (5.34)$$

$Q$  = Isı Girdisi

$\eta$  = Kaynak yöntemi ısıl katsayısı (MIG için 0,8)

$U$  = Voltaj

$I$  = Amper

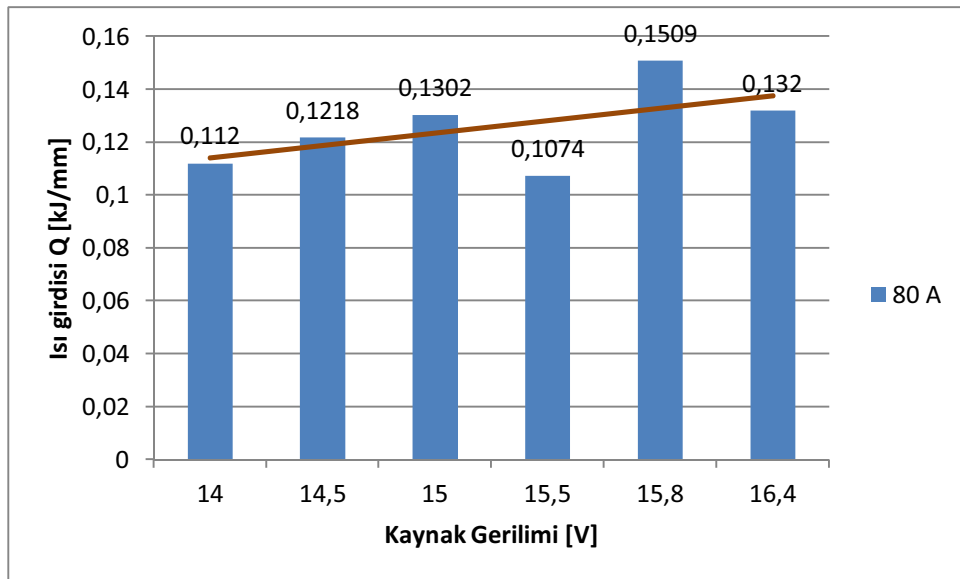
$v$  = Kaynak ilerleme hızı

Tablo 5.6. Numunelerin Isı Girdileri

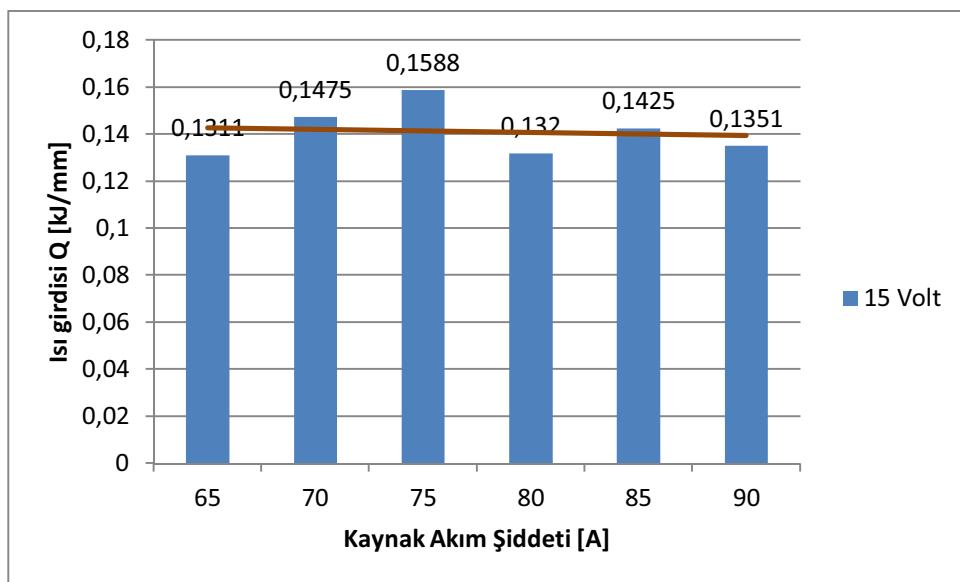
N.	Akım	V	Süre	E
R	80	15,0	22	0,1320
1	85	15,6	21	0,1392
2	90	15,8	19	0,1351
3	75	15,2	27	0,1587
4	70	14,0	30	0,1475
5	65	14,4	28	0,1311
6	80	16,4	23	0,1508
7	80	15,5	21	0,1302
8	80	14,0	20	0,1120
9	80	14,5	21	0,1218
10	80	15,8	17	0,1074

$E$  = Isı Girdisi

$V$  = Voltaj



Şekil 5.68. 80A kaynak akım şiddetinde kaynatılan numunelerin ısı girdileri – kaynak gerilimi grafiği

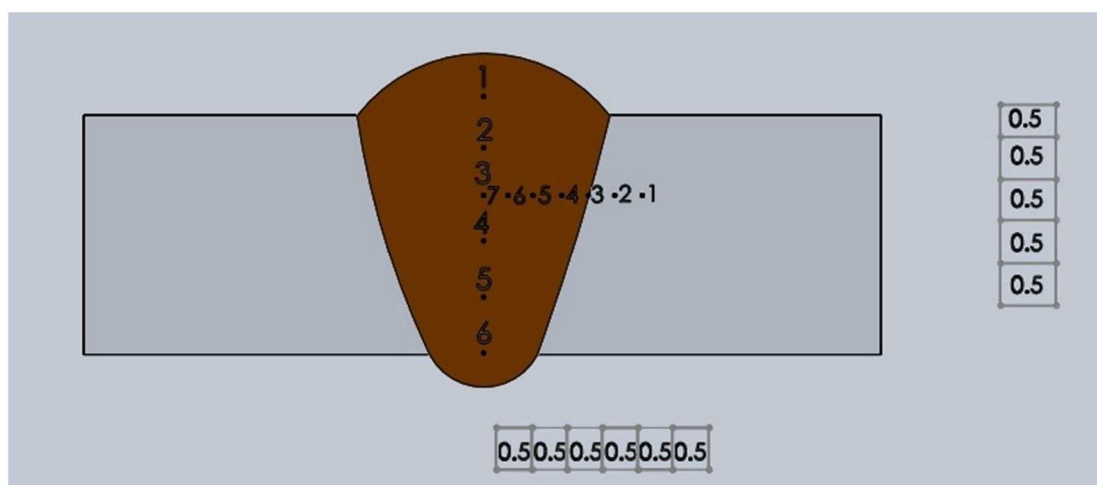


Şekil 5.69. 15V kaynak geriliminde kaynatılan numunelerin ısı girdileri – kaynak akım şiddeti grafiği

Numunelerin kaynak damla geometrileri incelendiğinde parametrelerden biri olan tel hızının damla geometrisine etkisi hızın artmasıyla damla alanının azalması şeklinde olmuştur. Aynı şekilde Kaynak akımının arttırılması da kaynak hızını arttırdığından kaynak damla geometrisi azalmıştır.

### 5.8. Mikro Sertlik Sonuçları ve Tartışma

Birleştirilen tüm numunelerin kesit yüzeylerinden sertlik ölçümleri alınmıştır.



Sekil 5.70. Mikro sertlik ölçülen yerler

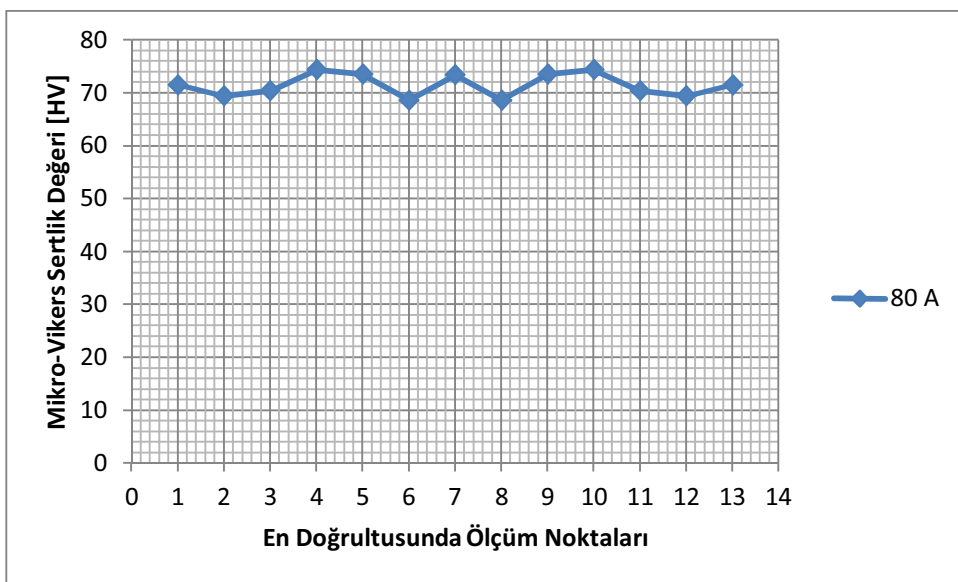
Tablo 5.7. Numunelerin Yatay Eksen Sertlik Değerleri

	<b>1</b>	<b>2</b>	<b>3</b>	<b>4</b>	<b>5</b>	<b>6</b>	<b>7</b>
Ref. Num	71,5	69,4	70,4	74,4	73,5	68,6	73,4
1. Num	56,1	55,5	54,8	66,2	56,6	61,2	63,5
2. Num	58,3	55,6	63,1	61,8	65,4	65,9	65,5
3. Num	60,0	53,7	71,5	70,8	66,5	68,5	71,4
4. Num	59,1	62,1	60,3	59,9	67,0	61,8	65,9
5. Num	51,5	53,1	48,1	63,8	66,8	56,4	61,9
6. Num	57,4	56,7	64,4	63,8	61,1	68,5	45,4
7. Num	59,7	58,3	57,6	67,9	67,2	61,6	66,3
8. Num	57,1	59,4	62,9	56,9	66,8	66,8	66,2
9. Num	61,8	61,4	56,0	61,5	65,2	55,7	58,0
10. Num	61,3	61,7	63,5	67,8	66,4	58,9	66,2

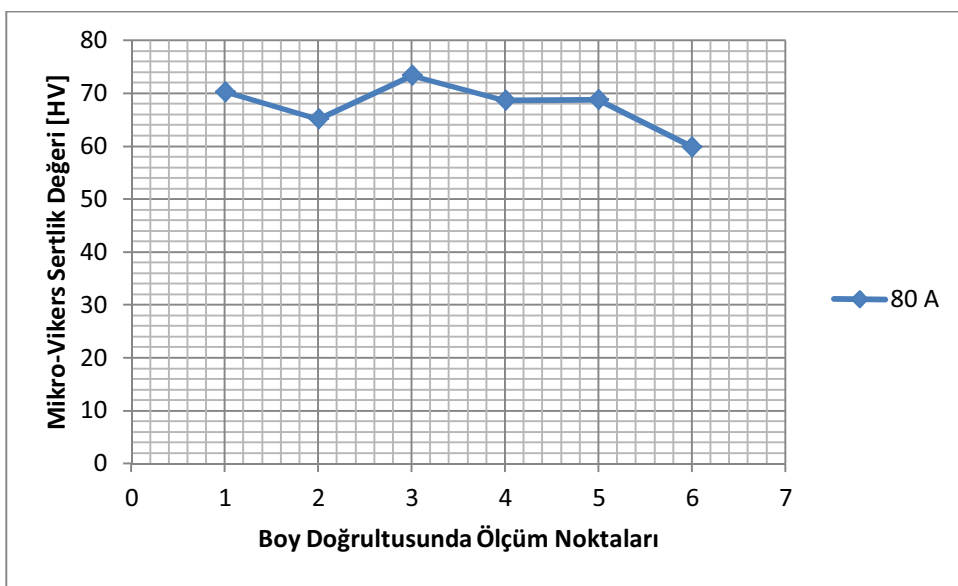
Tablo 5.8. Numunelerin Dikey Eksen Sertlik Değerleri

	<b>1</b>	<b>2</b>	<b>3</b>	<b>4</b>	<b>5</b>
Ref. Num	70,3	65,2	68,7	68,8	59,9
1. Num	68,2	63,8	63,0	71,7	64,0
2. Num	66,3	70,0	63,2	62,8	60,4
3. Num	70,6	66,5	68,5	66,1	67,9
4. Num	62,6	60,8	68,6	64,4	59,0
5. Num	62,4	64,4	63,1	64,1	63,2
6. Num	61,3	34,0	53,9	41,5	52,4
7. Num	65,4	65,3	66,5	66,2	41,4
8. Num	66,5	64,4	63,7	71,0	61,5
9. Num	67,2	64,9	53,5	53,3	54,5
10. Num	52,9	67,3	63,1	62,3	59,0

Referans numune için;

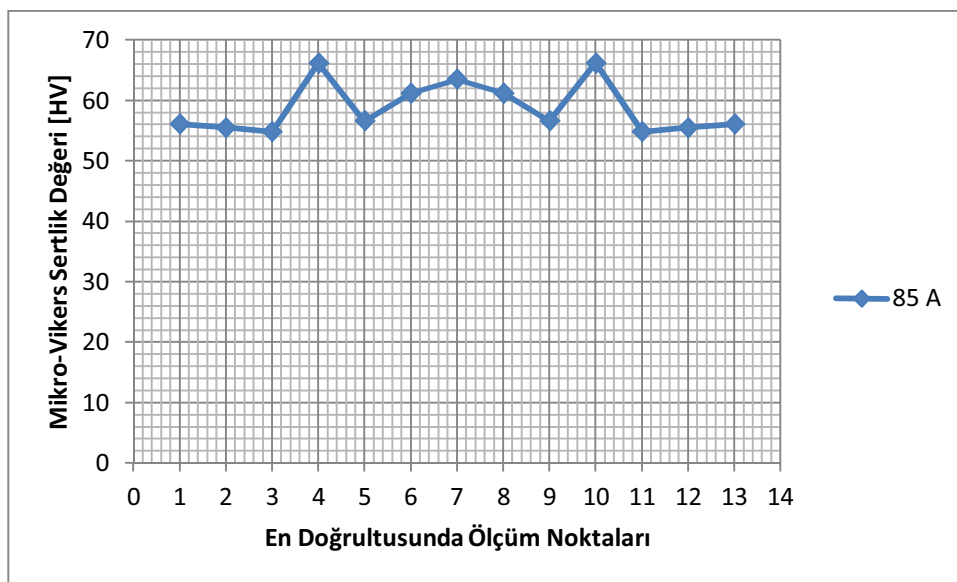


Şekil 5.71. Referans numunenin yatay eksen sertlik değeri grafiği

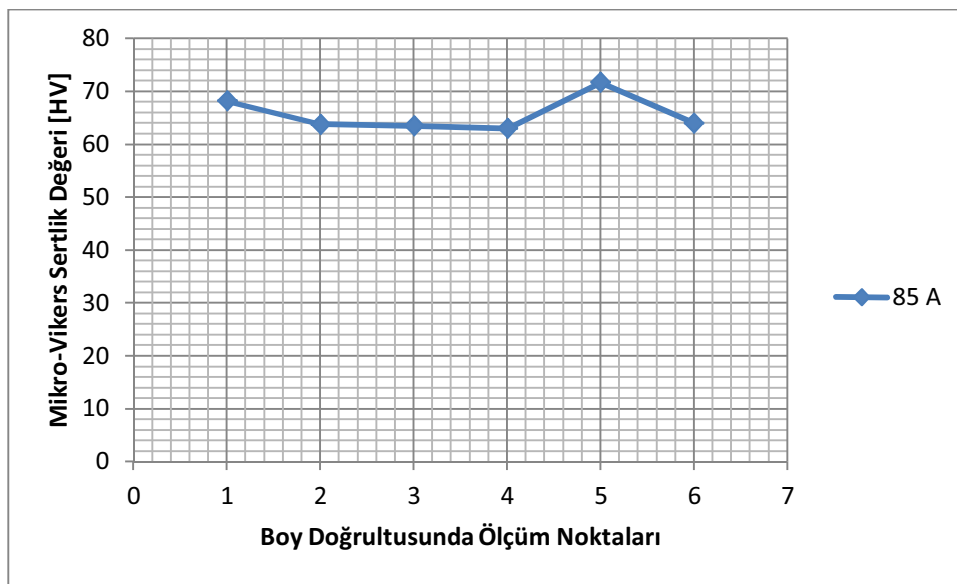


Şekil 5.72. Referans numunenin dikey eksen sertlik değeri grafiği

1 numaralı numune için;

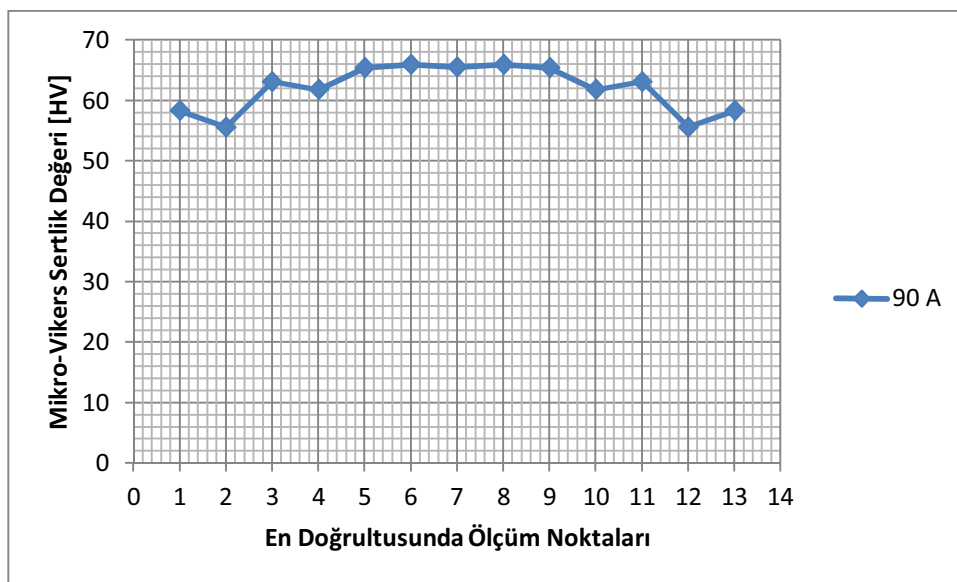


Şekil 5.73. 1 numaralı numunenin yatay eksen sertlik değeri grafiği

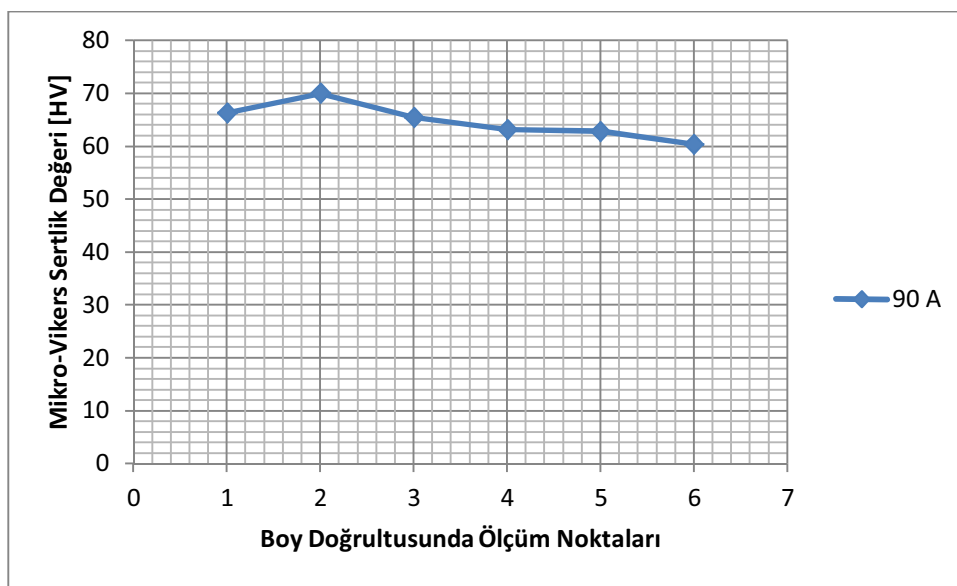


Şekil 5.74. 1 numaralı numunenin dikey eksen sertlik değeri grafiği

2 numaralı numune için;

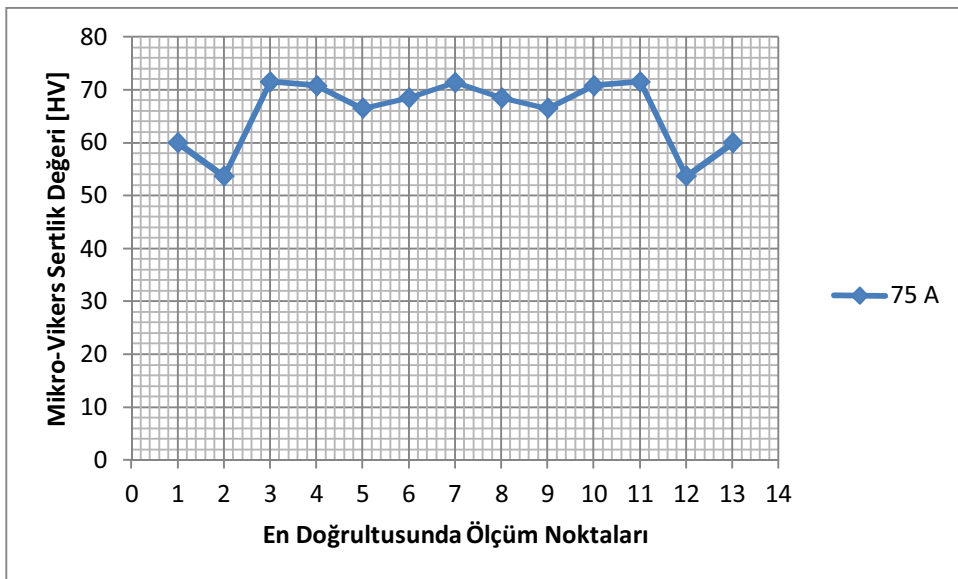


Şekil 5.75. 2 numaralı numunenin yatay eksen sertlik değeri grafiği

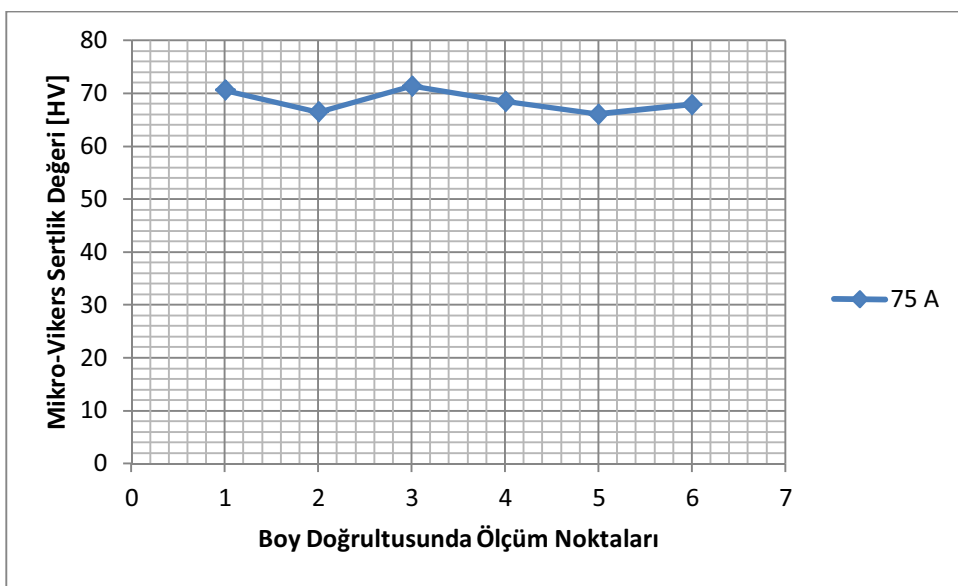


Şekil 5.76. 2 numaralı numunenin dikey eksen sertlik değeri grafiği

3 numaralı numune için;

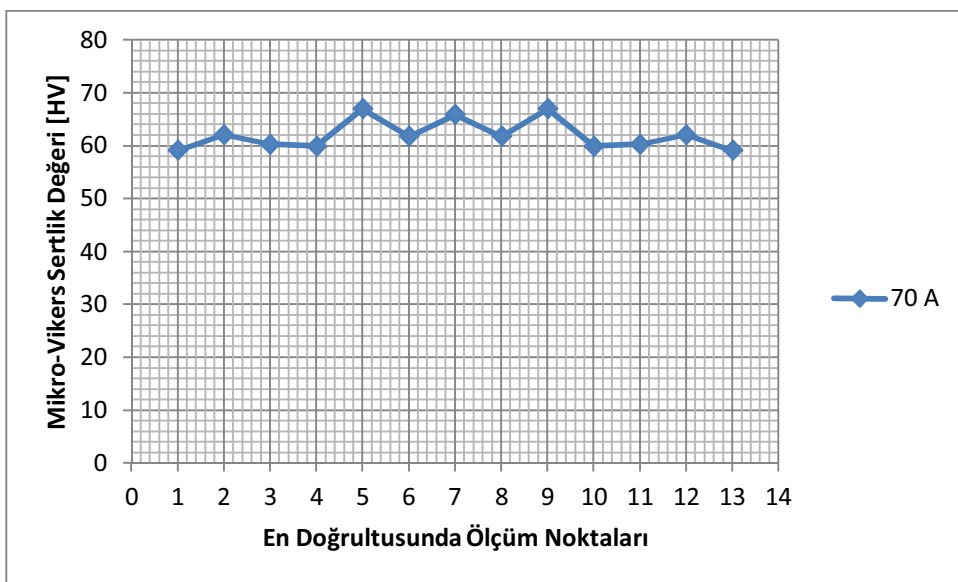


Şekil 5.77. 3 numaralı numunenin yatay eksen sertlik değeri grafiği

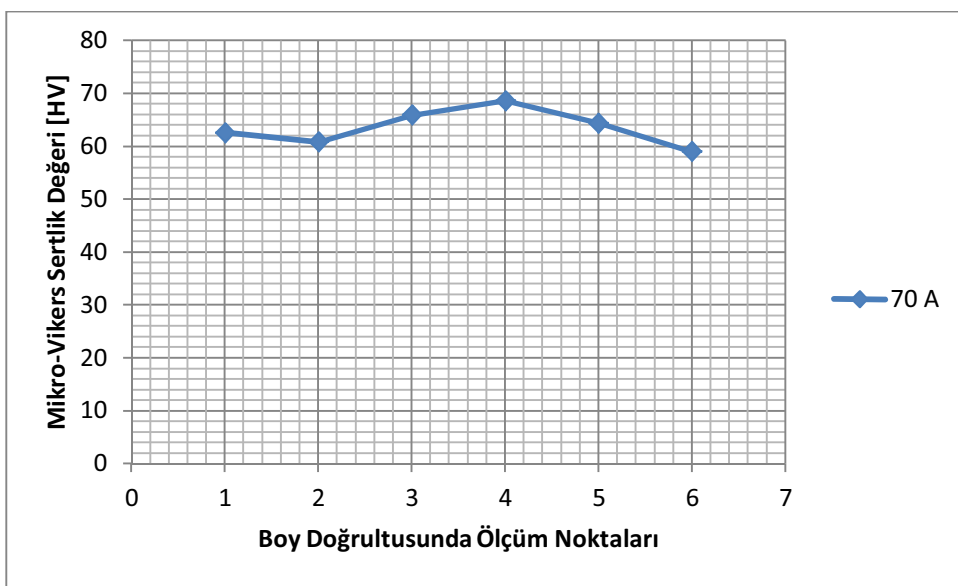


Şekil 5.78. 3 numaralı numunenin dikey eksen sertlik değeri grafiği

4 numaralı numune için;

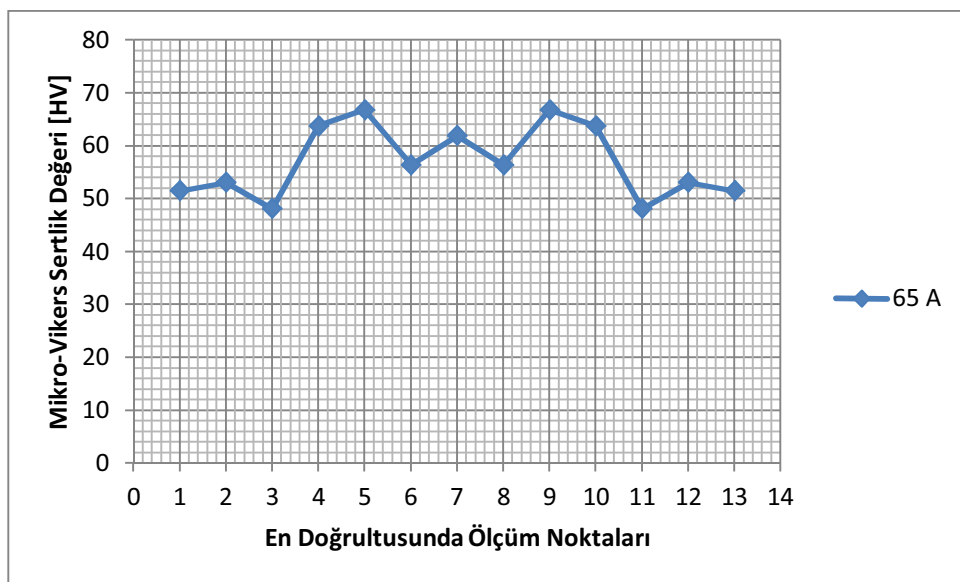


Şekil 5.79. 4 numaralı numunenin yatay eksen sertlik değeri grafiği

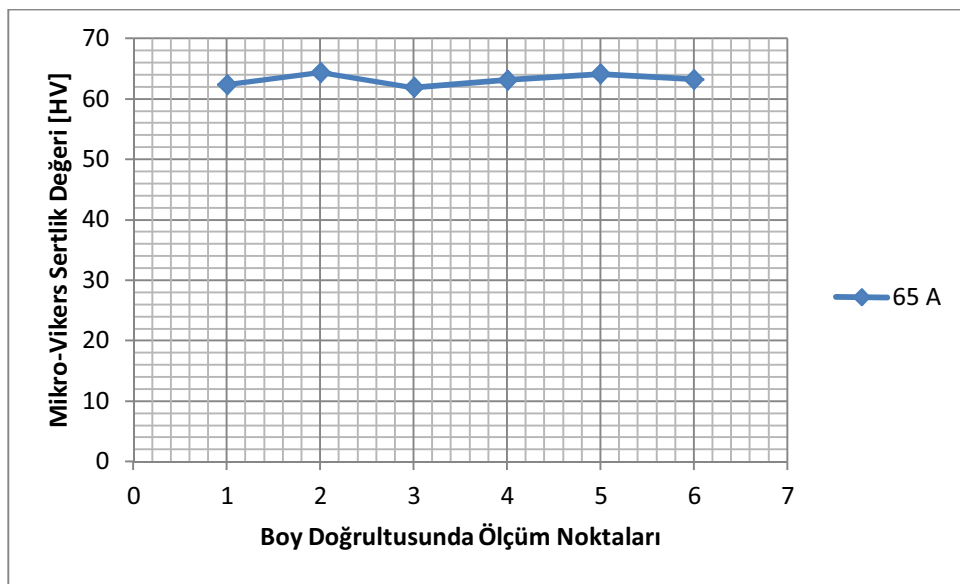


Şekil 5.80. 4 numaralı numunenin dikey eksen sertlik değeri grafiği

5 numaralı numune için;

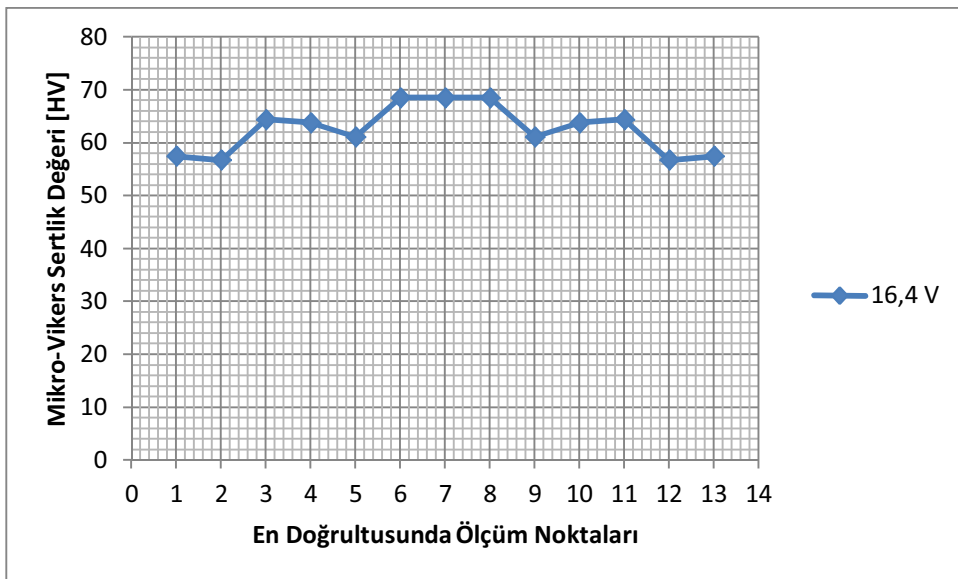


Şekil 5.81. 5 numaralı numunenin yatay eksen sertlik değeri grafiği

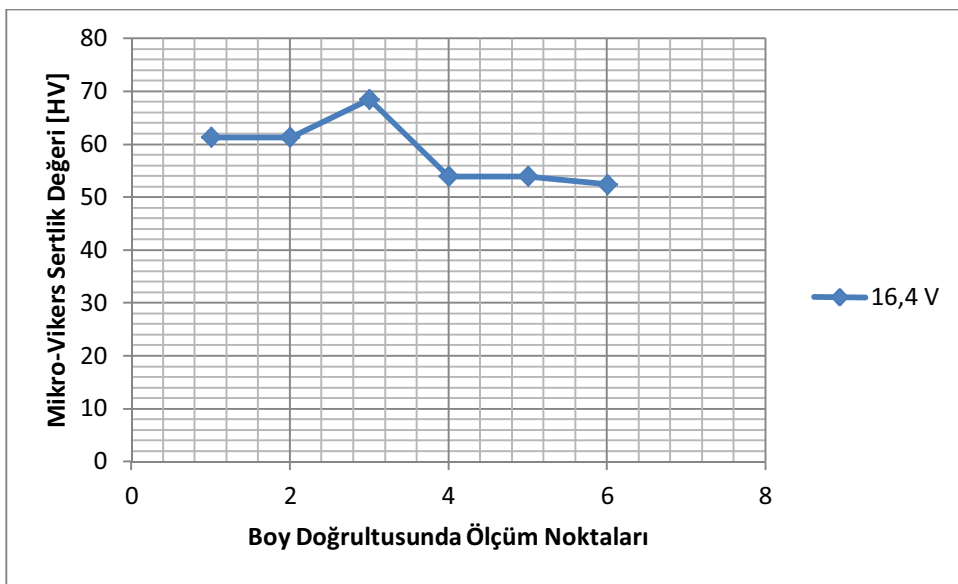


Şekil 5.82. 5 numaralı numunenin dikey eksen sertlik değeri grafiği

6 numaralı numune için;

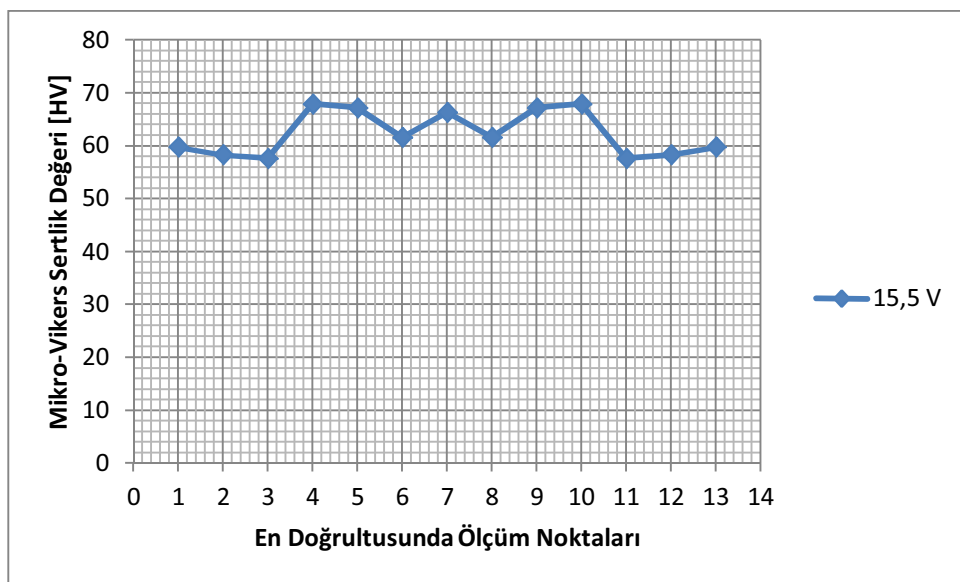


Şekil 5.83. 6 numaralı numunenin yatay eksen sertlik değeri grafiği

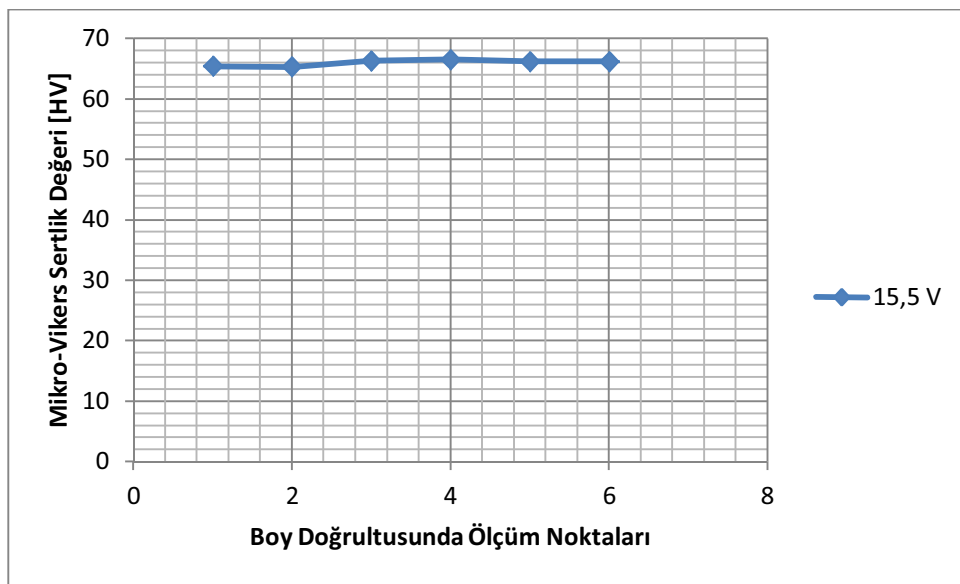


Şekil 5.84. 6 numaralı numunenin dikey eksen sertlik değeri grafiği

7 numaralı numune için;

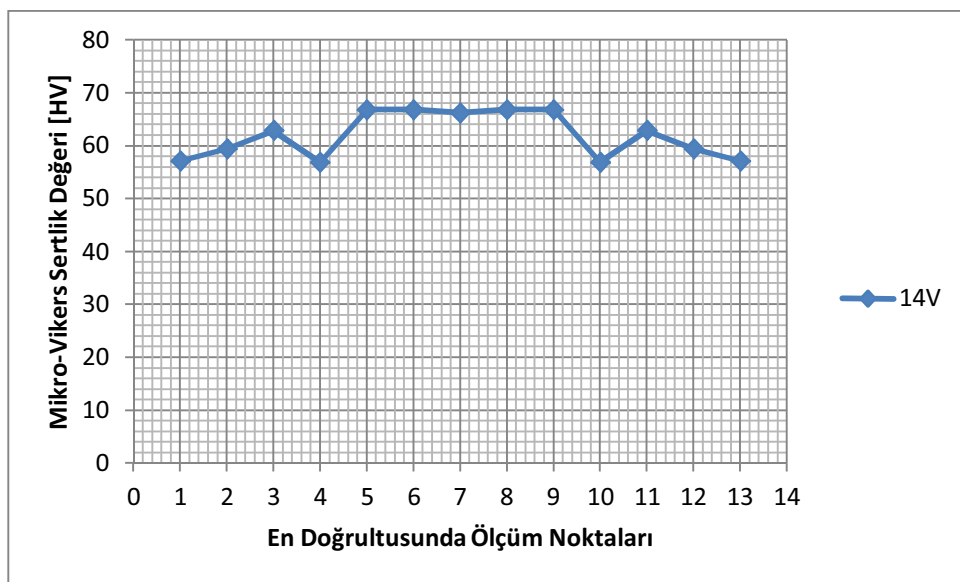


Şekil 5.85. 7 numaralı numunenin yatay eksen sertlik değeri grafiği

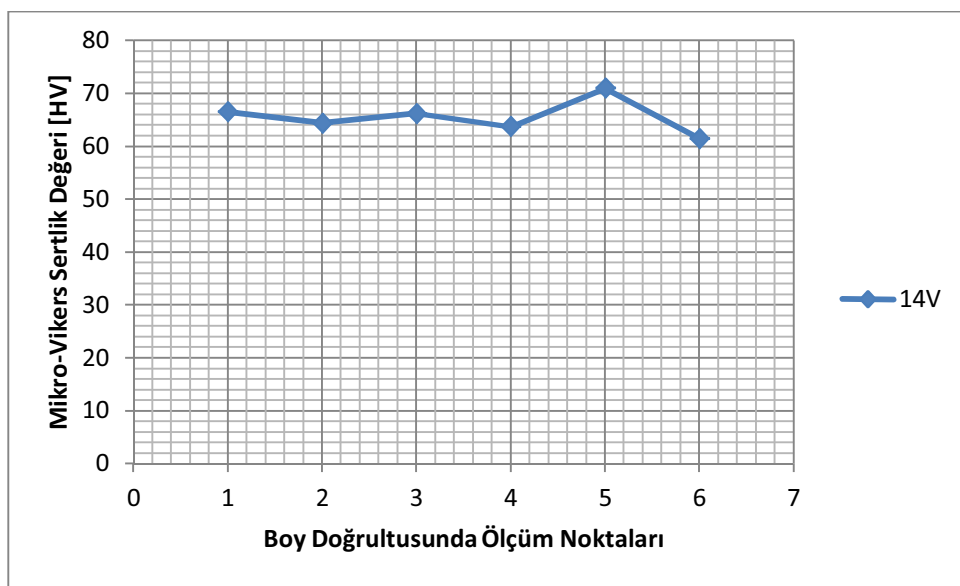


Şekil 5.86. 7 numaralı numunenin dikey eksen sertlik değeri grafiği

8 numaralı numune için;

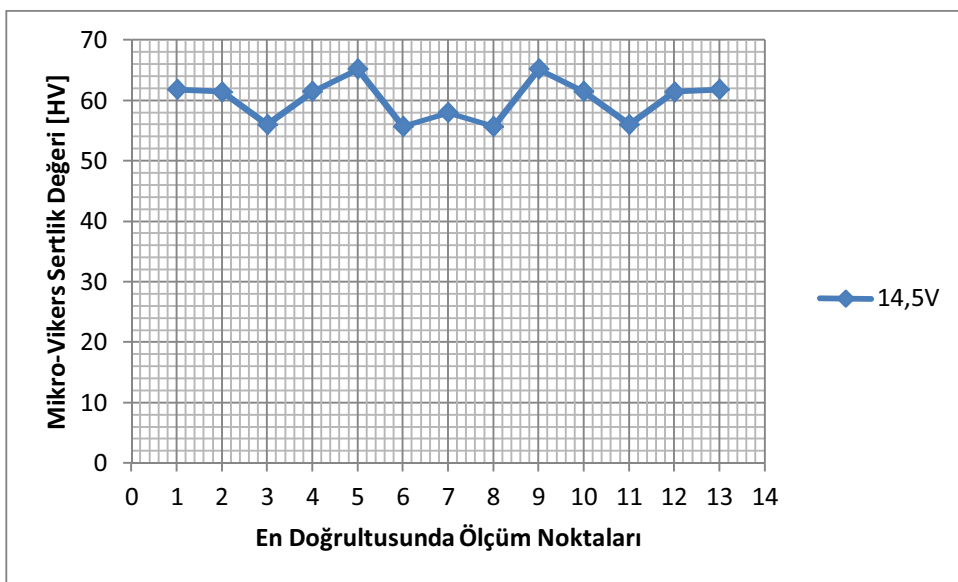


Şekil 5.87. 8 numaralı numunenin yatay eksen sertlik değeri grafiği

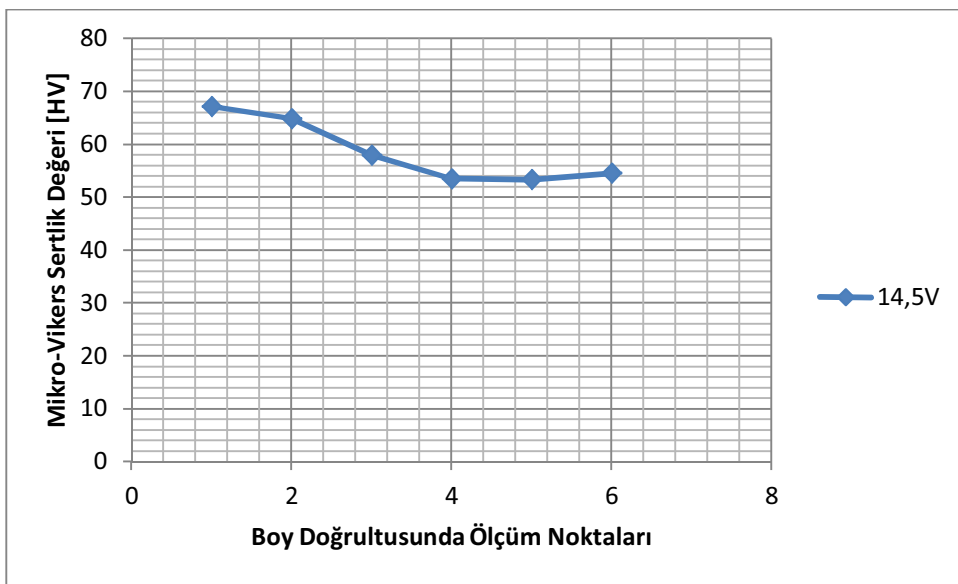


Şekil 5.88. 8 numaralı numunenin dikey eksen sertlik değeri grafiği

9 numaralı numune için;

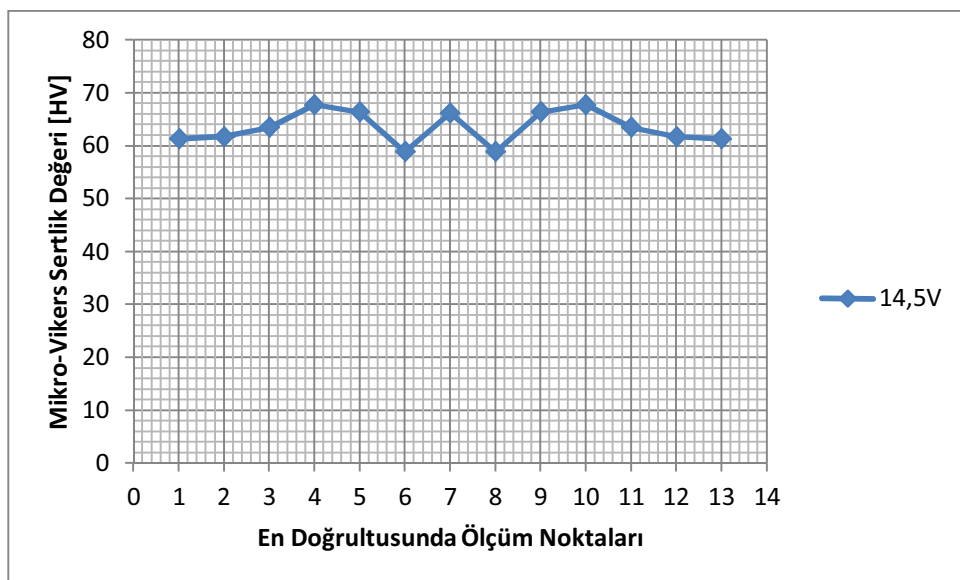


Şekil 5.89. 9 numaralı numunenin yatay eksen sertlik değeri grafiği

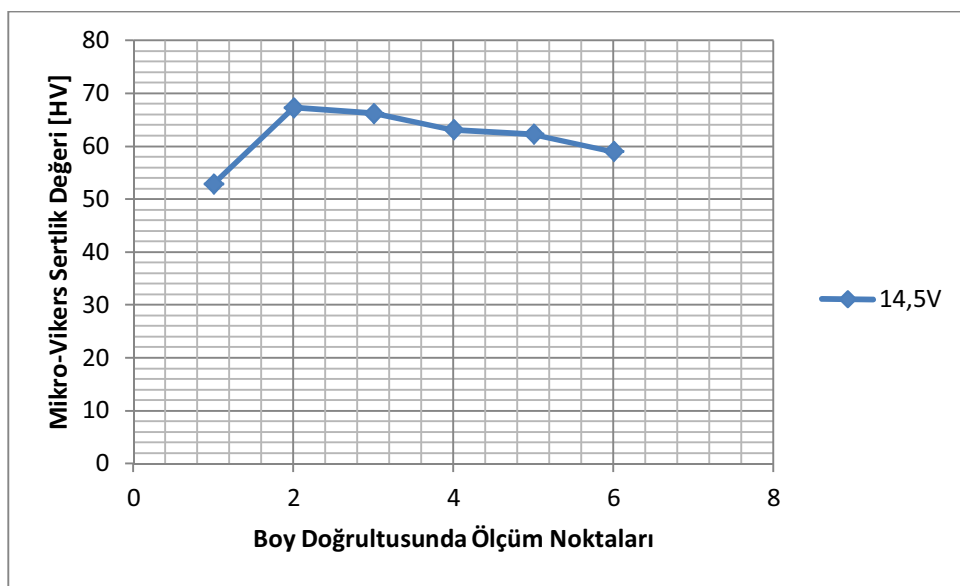


Şekil 5.90. 9 numaralı numunenin dikey eksen sertlik değeri grafiği

10 numaralı numune için;



Şekil 5.91. 10 numaralı numunenin yatay eksen sertlik değeri grafiği



Şekil 5.92. 10 numaralı numunenin dikey eksen sertlik değeri grafiği

Şekil 5.70'de mikro sertlik ölçüm yerleri verilmiştir. Sonuçlar incelemişinde düzensiz değerler elde edilmiştir. Geçiş bölgesi dediğimiz havanın sertlik değerleri diğer yerlerden alınan sertlik değerlerine göre biraz artmıştır. Tüm numunelerin ana metalinden alınan sertlik değerlerinin aynı olmaması değişken kaynak parametrelerinin meydana getirdiği ısı etkisinin farklı olması ve kaynak hızlarının farklı olmasındandır.

## **BÖLÜM 6. SONUÇLAR VE ÖNERİLER**

### **6.1. Sonuçlar**

Bu çalışmada alüminyum alaşımları ve alüminyum alaşımlarının MIG kaynağı konusunda literatür araştırması yapılarak teorik bilgiler kazanılmıştır. Deneysel çalışmalar kapsamında AlMn5 alaşımı alüminyum telle kaynaklı birleştirilmesi yapılmıştır. Yapılan birleştirmelerin çekme, eğme, mikro sertlik ve makro yapı incelemeleri yapılmıştır. Gerçekleştirilen deneysel çalışmalarдан aşağıdaki sonuçlar elde edilmiştir.

1. Yapılan çekme deneyleri sonucunda numunelerin akma, çekme ve % uzamaları bulundu. Elde edilen sonuçlardan kaynak akımının değiştirilmesi yapıda gözenek oluşumuna sebebiyet verdiğinden istenen birleşme sağlanamadı. Kaynak parametrelerinden tel hızının değiştirilmesi de nüfuziyetsiz birleşmelere neden olduğu görüldü. Bu parametreler ise çekme mukavemetini düşürücü yönde etki yaptığı yapılan deneylerde ve deneylerden elde edilen grafiklerde görüldü.
2. % uzama sonuçlarından çıkarılan sonuç tel hızını azalttığımızda % uzama artmış tel hızını artttığımızda ise % uzama da azalma görülmüştür. Bunun nedeni yüksek tel hızında fazla kaynak metali girdisinden dolayı kaynak bölgesinde yiğilmayla birlikte bir sertlik meydana gelir. Bu da uzamayı etkiler.
3. Gerçekleştirilen eğme deneyi sonuçlarında en yüksek dayanımın amper değişimlerinde olduğu görülmüştür. Kaynak akımının azaltılması veya arttırılması eğme deney sonuçlarının değerlerini arttırmıştır.

4. Makro incelemeleri parametrelerin kaynak yüzeyini etkilediğini göstermiştir. Malzeme yüzeyindeki kaynak damla geçiş yüksek akımda kaynak ağzında yiğilmaya neden olduğundan dar ve yüksek bir kaynak şekli meydana gelmiştir.
5. Amper şiddetinin artırılması kaynak hızını arttırdığından şiddetli arktan dolayı yine gözenekli ve nüfuziyetsiz bir birleşmeye sebep olduğu anlaşılmıştır.

## 6.2. Öneriler

1. Alüminyumun birleştirilmesi alüminyumun yüksek ısı iletiminden dolayı çeliklere nazaran zordur.
2. Bu yüzden alüminyum kaynağı en uygun parametreler belirlenip kaynak işlemi yapılmalıdır.
3. Ayrıca malzeme yüzeyi, Yağ, kir nemden mutlaka arındırılmış olmalıdır.
4. Oksit film yüzeyi kaynak işlemeye başlamadan önce frezeleme ya da tel fırça ile mutlaka temizlenmelidir. Bu çalışmayı tekrar daha sonra yapılacak olan öğrencilerin otomatik kaynak makinakları ile çalışmaları iyi olur. Çünkü kaynak hızı ve dolayısıyla kaynak dikişi elle yapılan kaynakta tam olarak ayarlanamadığı için değerlerde sapmalar olabileceği tahmin edilmektedir.
5. Değişik kaynak pozisyonlarında kaynak damla geometrisi incelenebilir.
6. Daha kalın alüminyum malzeme kullanılarak çentik darbe deneyi araştırılabilir.
7. Mikro yapı incelemesi için hazırlanan numunelerin SEM ve TEM de fotoğrafları çekilerek mikro yapı incelemesi yapılabilir.

## **KAYNAKLAR**

- [1] AKÇA, H., TIG Yöntemiyle Kaynak Edilen Alüminyum ve Alaşımlarının Mikroyapı ve Mekanik Özelliklerinin İncelenmesi, İstanbul, 2006
- [2] YÜKLER, İ., Alüminyum Alaşımları ve Isıl İşlemleri, İstanbul, 2000
- [3] ERDEN, A., İkiz Merdaneli Sürekli Döküm Yöntemiyle Üretilen AA6016 Alaşımının Mikro ve Makro Yapısal İncelemesi, İstanbul, 2006
- [4] KALUÇ, E., TABAN, E., Metal Dünyası, sayfa 144, 2005
- [5] TÜLBENTÇİ, K., MIG-MAG Eriyen Elektrot ile Gazaltı Kaynağı, 1990
- [6] [http://www.makinateknik.org/download/download/aluminyum\\_alasimlari.rar](http://www.makinateknik.org/download/download/aluminyum_alasimlari.rar), 17.04.2009
- [7] <http://www.turkcad.com/index.php/20080330244/Aluminyum-Malzemeler/Aluminyum-ve-Alaşımlarının-MIG-Kaynağı.htm>, 20.04.2009
- [8] TÜLBENTÇİ, K., Alüminyum ve Alaşımlarının Kaynağı, Y.Ü. Yazokulu, İstanbul, 1987
- [9] OĞUZ, B., Demirdışı Metallerin Kaynağı, OERLIKON Yayıni, 1990
- [10] KORG, H., Ostenitik Paslanmaz Çeliklerin Robot Kaynağı ve Mekanik Özelliklerinin İncelenmesi, Y. Lisans, Sakarya, 2007
- [11] HANLI, İ., Alüminyum Malzemelerin Kaynağında Kaynak Parametrelerinin Bağlantısının Mekanik Özelliklerine Etkisinin İncelenmesi, Y. Lisans, Sakarya, 2009

## **ÖZGEÇMİŞ**

Selim KIRLI, 13.02.1986 tarihinde Manisa'da doğdu. İlköğretimimini Kemal Pınar İlköğretim Okulu, orta öğrenimini Anadolu İmam-Hatip Lisesi, liseyi ise Özel Ege Ufuk Lisesi'nde tamamlamıştır. 2004 yılında Sakarya Üniversitesi Teknik Eğitim Fakültesinde Öğrenim hayatında başladı ve 2008 yılında mezun olarak yine aynı bölümde yüksek lisans öğrenimine başladı.